

# 二维系统的量子力学

吴金闪，裴寿镛

2015年6月12日



# 目录

第一部分 引论：为什么需要量子力学	7
第一章 量子系统的实验	11
1.1 经典粒子和经典波实验	11
1.2 单个电子或者单个光子的实验	15
第二章 物理世界的数学模型	23
2.1 经典世界的确定性的数学模型	24
2.2 经典世界的随机性的数学模型	26
2.3 量子系统的确定性经典理论的尝试	31
2.4 量子系统的随机性经典理论的尝试	33
2.5 本章小结	39
第二部分 数学物理学上的准备	41
第三章 二维空间的线性代数：Dirac 符号、抽象算符与表象	43
3.1 数学是现实世界的结构和思维的语言	43
3.2 从分量形式的矢量和矩阵到抽象矢量和算符，Dirac 记号	46
3.2.1 实数域上的分量形式的矩阵和矢量，复习	46
3.2.2 Dirac 符号	47
3.2.3 矩阵的谱展开，Dirac 记号与抽象矢量	49
3.3 复数域上的抽象矢量与抽象矩阵算符	53
3.3.1 复数域上的矩阵和矢量运算	54
3.3.2 复数域上的左矢量的分量形式的定义	54
3.3.3 复数域上抽象算符的谱展开	55

3.3.4	抽象算符的函数与算符的代数 . . . . .	58
3.4	共同本征向量, 表象理论与线性变换 . . . . .	60
3.4.1	表象之间的变换 . . . . .	61
3.4.2	举例 . . . . .	62
3.4.3	相似变换作为算符 * . . . . .	62
3.5	本章小结 . . . . .	63
<b>第四章</b>	<b>离散状态的概率论</b>	<b>65</b>
4.1	古典概型概率论的 Dirac 符号形式 . . . . .	66
4.2	现代概率三元体 . . . . .	71
4.3	Dirac 符号作为概率论的语言 . . . . .	73
4.4	本章小结 . . . . .	76
<b>第五章</b>	<b>经典力学精要</b>	<b>77</b>
5.1	力学思想 . . . . .	77
5.2	Newton 力学的基本概念 . . . . .	79
5.3	势函数、保守力与能量守恒 . . . . .	82
5.4	从 Newtonian 力学到 Hamiltonian 力学 . . . . .	83
5.4.1	单个质点的分析力学形式 . . . . .	83
5.4.2	从单体到多体的分析力学形式 . . . . .	85
5.5	本章小结 . . . . .	86
<b>第三部分</b>	<b>单粒子系统的量子力学</b>	<b>89</b>
<b>第六章</b>	<b>量子系统的静态描述</b>	<b>91</b>
6.1	有关量子状态和测量的公理 . . . . .	91
6.2	经典概率论的相应形式 . . . . .	93
6.3	量子静态理论用于描述测量实验 . . . . .	94
6.3.1	自旋的测量和再测量 . . . . .	94
6.3.2	光子的 which-way 实验 . . . . .	99
6.4	粒子走哪一条路径和概率叠加原理 . . . . .	102
6.5	完整地测量自旋的状态 . . . . .	106
6.6	量子与经典密度矩阵的区别 . . . . .	107

目录	5
<b>第七章 量子系统的演化</b>	<b>111</b>
7.1 Schrödinger 方程	112
7.2 Schrödinger 绘景与 Heisenberg 绘景	115
<b>第八章 单个谐振子的量子力学</b>	<b>119</b>
8.1 位置表象	119
8.2 代数解法与能量表象	123
8.3 代数解法的更多细节：一切都是对易关系 *	127
8.4 本章小结	128
<b>第四部分 耦合量子系统：相互作用与纠缠</b>	<b>129</b>
<b>第九章 耦合量子系统的状态与测量</b>	<b>131</b>
9.1 直积空间	131
9.2 经典关联态的测量	133
9.3 量子纠缠态的测量	134
9.3.1 计算视角一：一组对易算符的测量	135
9.3.2 计算视角二：“先后”测量	137
9.3.3 计算视角三：可分辨性	140
9.4 本章小结	141
<b>第十章 耦合量子系统的演化与纠缠</b>	<b>143</b>
10.1 演化以及演化导致的纠缠	143
10.2 测量导致的纠缠	145
10.3 本章小结	148
<b>第十一章 量子力学的确定性经典理论的再一次讨论</b>	<b>151</b>
11.1 纠缠态上的量子测量的结果	151
11.2 经典关联态上的测量的 Bell 不等式	152
11.3 Bell 定理的实验检验以及 Diehard 的吹毛求疵	153
11.4 本章小结	153
<b>第十二章 测量的量子力学？</b>	<b>155</b>
12.1 经典硬币的测量：克隆	155
12.2 波函数塌缩：非对角项的消失	155

12.3 本章小结 . . . . .	155
<b>第五部分 量子信息</b>	<b>157</b>
第十三章 量子计算	159
第十四章 量子远程传态	161
第十五章 量子博弈	163
15.1 经典客体上的操作和博弈 . . . . .	164
15.2 量子客体上的操作和博弈 . . . . .	169
15.3 经典和量子博弈的异同 . . . . .	172

## 第一部分

### 引论：为什么需要量子力学





科学家，尤其是物理学家，其主要目的就是给实际的世界提供一个理想模型，通过这个理想模型以及这个模型的理论假设下导出的计算，人们能够得到实际世界的行为。为什么我们要学习量子力学呢？除了量子力学很有用——它是所有的半导体材料和物性背后的理论，它也是所有的化学反应背后的理论，现在它已经被广泛地应用于药物设计等等等等，对一个追求智力上深刻的愉悦或者是真正企图理解自然界的行为的人来说，根本的是因为量子客体的行为超过了我们的大脑所熟悉的直观的经典力学的世界能够解释的范畴。相对论对日常经验的突破是同时的相对性，量子力学对于日常经验的突破更大。这门课程的任务就是呈现给你这个突破是什么。

在这个第一部分里，我们主要通过介绍几个量子力学的实验及其可能的经典力学的解释来展示：量子力学的实验经典理论不能解释。然后，我们还会稍微探索一下能够解释的理论的数学结构，这个数学结构的特殊之处。

本书第一部分推荐参考书：R. Feynman《物理学讲义第三卷》，喀兴林《高等量子力学》，吴兆颜《高等量子力学》，L. Ballentine《Modern Quantum Mechanics》。其它各个章节有它们自己的推荐阅读材料。



# 第一章 量子系统的实验

介绍量子系统的实验之前，我们来讨论三个经典对象——水槽中的水波、进入相机镜头的光波和一把不太可靠的枪射出来的子弹——的理想实验。

## 1.1 经典粒子和经典波实验

**实验 1.1 水波的双缝实验：**一个较大的水槽，表面上有一个振动的小球。小球的振动形成的水波被一个固定的木板挡住，只能通过木板上的两个小孔传到木板的另一侧。观察另一侧的水波的行为，我们可以看到有的地方振动的幅度很小，有的地方比较大。这个与单独打开一个小孔的时候不一样：如果不是看的范围很远的话，各个距离相同的点的振动幅度差不多，也就是成圆形散发的波动。

打开两个小孔以后看到的有的地方振动幅度加强（与单个小孔的情形相比）有的地方减弱的现象就叫做干涉。经典波动力学是这样解释的。现在木板另一侧的任何一个点受两个振动源驱动。由于波的传播不是粒子真的沿着波的传播方向上传播，而是每个粒子在做来回往复的振动，因此，**当同时受多个驱动源驱动的时候，自然其运动就是把多个源传过来的振动方式相叠加**（如图1.2所示）：加入在  $t$  时刻第一个小孔传过来的振动希望  $x$  这个点的位置在  $z_1(x, t)$  第一个小孔传过来的振动希望  $x$  这个点的位置在  $z_2(x, t)$ ，那么合起来自然就是

$$z(x, t) = z_1(x, t) + z_2(x, t). \quad (1.1)$$

注意到  $z_i(x, t)$  是类似于  $A \cos\left(\frac{x}{\lambda} + \omega t + \phi_0\right)$  余弦函数，所以上式经过三角函数和差化积  $(\cos(\alpha) + \cos(\beta) = 2 \cos\left(\frac{\alpha-\beta}{2}\right) \cos\left(\frac{\alpha+\beta}{2}\right))$  实际上就会成为一

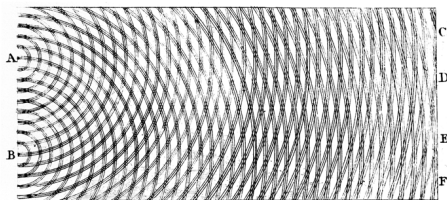


图 1.1: 来自于不同驱动源 (A 点, B 点) 的波在水槽里面的任意一点的效果都需要把来自于 AB 两点的矢量叠加。这个叠加产生了我们见到的相对稳定的不是完全成圆形散发出取的波纹效果。转引自 wikipedia [http://en.wikipedia.org/wiki/Young's\\_interference\\_experiment](http://en.wikipedia.org/wiki/Young's_interference_experiment)

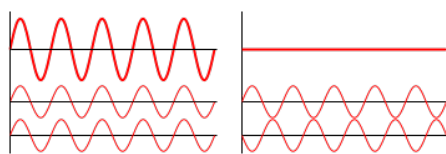


图 1.2: 来自于不同驱动源的波在同一个点的效果是两个波的效果的矢量叠加。通过这个叠加我们看到了相长相消的现象。自己画，改成  $\cos$  函数

个不依赖于时间只依赖于位置的慢变部分和一个依赖于时间和位置的快变部分。其中这个慢变部分可以看成是快变部分的振幅，而这个振幅依赖于位置。观察到的振动幅度的大小就是这个慢变部分的体现。在这个解释中，黑体字的部分是非常重要的，也是自然的。但是，如果我们的运动实际上就是粒子本身在沿着波传播的方向传播，情况就不一样了，黑体字部分就不对了。现在，我们来看看光波的干涉是如何解释的。注意，光波可以看作是空间某个东西的振动在变化（注意仅仅是数学上可以这样看，实际上光波不需要任何其它粒子来承担这个振动的介质），也可以看成是某种物质真正地沿着光波传播的方向在传播。

**实验 1.2** 相机镜头上的贴膜形成的光的干涉现象：镜头上的贴膜本质上是让光通过一块透明的玻璃，然后尽可能多地让光被吸收而不是反射出去。现在，我们来考虑这个——光过一块玻璃的两个界面——的过程。

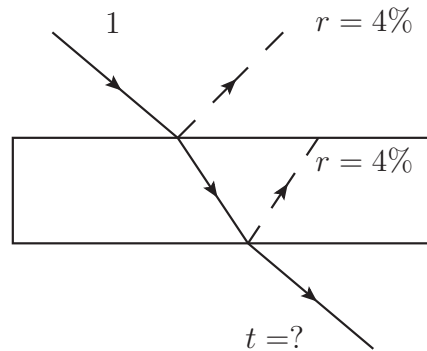


图 1.3: 光子经过一块玻璃, 可以在玻璃的两个界面上发生反射和透射。那么反射光就可能是一次反射形成的, 也可能是多次反射以后透射形成的。这样不同的可能形成的反射光能够相互抵消吗? 如果不能, 我们给相机镜头镀膜干什么?

为什么通过这样一个两个界面的反射就会增加光的透射呢? 我们知道在每一个界面上都有一部分光背反射出去, 那么也就是说, 不增加这样一层额外的镀膜应该有更多的光进入到镜头。是这样吗? 如果不是这样的话, 从第一个界面反射的光肯定是以某种方式与从第二个界面反射的光相互抵消从而降低了反射出去的部分。那么这个相消的过程是如何发生的呢? 经典光学给出了如下的解释。

考虑两列从太阳或者某个远处的单一光源 (于是近似看成平行入射光) 过来的光波, 一列经过一次反射, 另一列经过多次反射以后遇到一起。既然遇到一起, 那么就相当于两列光波在同时驱动相遇的这个点的振动, 于是也需要把两者叠加起来。于是, 我们就得到了与水波的干涉数学上完全相同的表达式, 于是结果也相同。在这个解释中, **把光波看成是两个部分分开传播然后相遇——也就是同时到达某点——是非常重要的。**

小结一下, 经典波动力学对于干涉的解释要么依赖于一个点的粒子的振动状态同时受多个驱动力驱动, 要么依赖于一个波可以分成多个波然后让这个多个波相遇, 从而相当于一个点的振动同时受多个驱动力驱动。同时受驱动导致了状态的叠加关系, 而状态的叠加关系形成了干涉。现在, 我们再来看另一个经典力学的例子。

**实验 1.3 子弹的双缝实验:** 一把准确度有问题的固定好的机枪在点射同一

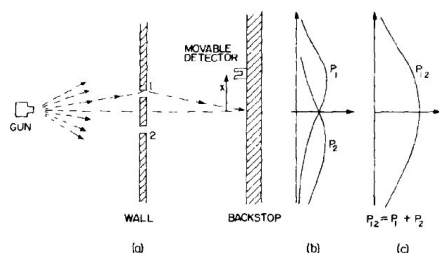


图 1.4: 子弹经过两个小孔。重新画一个，用豌豆射手

个地方，但是由于准确度有问题，射出的子弹以一定的概率  $p$  ( $(1-p)$ ) 到达目标上（下）方  $\frac{d}{2}$  的地方。然后，在  $\pm\frac{d}{2}$  的地方各有一个奇怪的小缝，这个小缝会把这个子弹在比较小的仰角  $\theta_0$  的范围内以均匀的概率弹射到距离  $L$  之外的屏幕上。每一个打在屏幕上的子弹会在屏幕上留下一个荧光的斑点。实验中，我们观察屏幕上子弹留下的痕迹。

我们通过分析单个小缝的结果然后组合两个小缝的行为来分析这个实验。对于过第一个（第二个）缝然后出来的子弹，其在屏幕上形成的痕迹以  $\frac{d}{2}$  ( $-\frac{d}{2}$ ) 处为中心宽度为  $2L \tan \theta_0$ 。当  $2L \tan \theta_0 < d$  的时候，两个斑点没有重叠的部分。就是分散的两个独立的斑点。可以想见，当  $2L \tan \theta_0 > d$  的时候，在中间重叠的部分，由于能够获得来自于任意一条缝的子弹，其概率是两者之和，

$$P(z) = P\left(z \left| \frac{d}{2} \right.\right) P\left(\frac{d}{2}\right) + P\left(z \left| -\frac{d}{2} \right.\right) P\left(-\frac{d}{2}\right). \quad (1.2)$$

我们不知道这个实验是不是真的做过，如果做过小缝的行为是不是接近实验中的实际情况。但是，通过经典概率论的概率叠加（有的地方两个缝过来的子弹都能到，有的地方只能接收到一个缝过来的子弹）我们可以得到如下的大致结果，而且这个结果有一个重要的特征：在任意一个小缝的子弹辐射范围内，在两个小缝的情况下都有子弹的痕迹。如果小缝的行为比我们假设的简单情况复杂，实际的轨迹就会不完全一样，但是这个特征是不变的。一个随机变量的平均值只能够取值于其所有的可能取值之间，不能比其中最小的还要小。

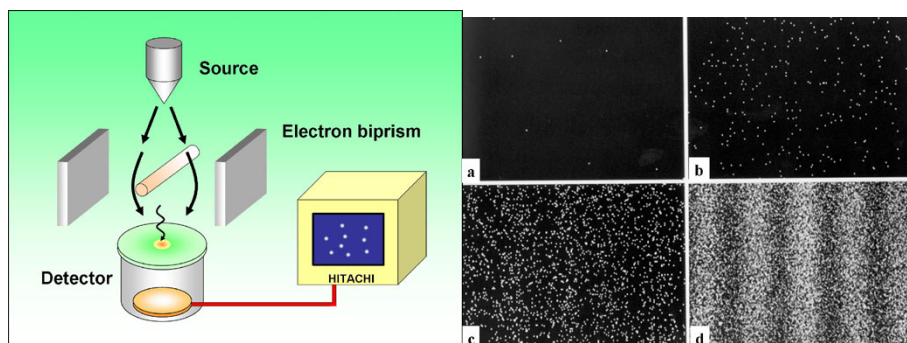


图 1.5: 来自于一个电子枪——绝大部分时间里面, 这个电子枪每次发射一个电子——的电子经过一个障碍物隔开的两个小缝, 到达屏幕上。电子在屏幕上的落点被记录下来, 形成右侧的图样。注意和子弹的理想实验的区别, 并思考其原因。

## 1.2 单个电子或者单个光子的实验

现在, 我们来看一下量子系统的真实实验的结果。

**实验 1.4 电子的双缝干涉实验:** 一个电子射线枪, 射出与上面的情况完全相同的子弹——电子 (其中, 小缝的行为可能不是子弹的理想实验中的情况), 我们观察电子在屏幕上留下的痕迹。我们发现, 在某些地方——某些在一个小缝辐射范围内的地方, 当两个小缝都打开的时候——电子几乎没有留下痕迹。

我们发现了一个新的特征: 两个小缝都打开以后, 电子打到某些地方的几率比任何一个小缝独自打开的时候都小。看起来, 过两个小缝的电子之间存在着某种相互作用。但是, 我们可以让电子枪点射, 每次只能够射出一个电子。这样的话, 相互作用的解释都非常不可能了。在整个我们关心的空间, 每时每刻只有一个电子存在, 它跟谁相互作用? 还有一种可能: 一个电子也能够象经典波 (例如前面的光波或者水波) 一样以某种方式劈开两半, 然后同时过双缝, 从而实现自己跟自己相互作用。我们不能否认这个可能性。一个简单的检验方法就是在两个小缝的地方各自放置一个探测器, 然后看一下是否在某一个时刻可以在两个探测器上同时都探测到半个电子。实际上, 这个实验是做过的, 我们从来没有探测到过半个电子。将来我们会知道, 这个额外的探测器有可能带来一个额外的问题: 经过先经过小缝然后再探测

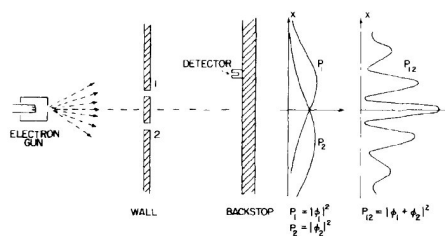


图 1.6: 来自于一个单电子电子枪的电子经过一个障碍物隔开的两个小缝, 到达屏幕上。考虑通过其中一个小缝的结果。重新画一个, 标注 (a) 上缝的结果, (b) 下缝的结果。

器以后的电子的状态有可能就不再是原来仅仅经过小缝而不经探测器的状态了。因此真的靠这个额外的探测器来回答电子如何过两个小缝是有问题的。不过, 在这里, 我们关心的事情不是电子如何过双缝, 而是是否电子在有的时候会分开两半。或者说, 在整个空间, 我们有很多很多个小缝, 难道说电子都需要分成这么多个部分? 电子又如何知道需要分成几个部分呢? 所以分成几个部分一起过去的假说是不太合理的。当然, 我们面对的对象是有独特行为的量子客体, 我们不清楚哪些不合理是可以接受的。如果我们没有任何其它方式可以建立电子行为的数学模型和物理图景, 那么不合理之处也是必须接受的。

幸好, 我们还有别的选择。我们沿着这个想法继续走下去: 电子在这个过程中没有与任何其他的东西发生未知的相互作用, 除了电子从电子枪里面发射出来, 然后在小缝处发生有可能是复杂的——但是行为是完全已知的——相互作用之外。也就是说, 在仅有上(下)方小缝打开的时候, 电子的痕迹如图 a (b) 所示——实际的图样可以和这个图样不一样, 跟小缝的细节有关——但是, 在两个小缝都打开的时候, 成了图 c 的样子。关键就是: 这个图 c 绝对不是 a 和 b 的概率叠加  $pa + (1-p)b$  能够得到的, 包含任意的  $p$ ——概率性叠加永远也不会出叠加以后的值比叠加之前的值都小的情况。经典粒子的力学, 甚至允许概率意义上的经典力学, 不能解释电子的双缝干涉现象。经典的波的力学, 当考虑电子每次都是完整的一个而且是仅有一个的时候, 也不能解释电子的干涉行为。如何理解这个现象?

其实, 我们也可以控制前面那个光过玻璃的实验, 让光的强度足够小, 以至于任何时刻, 如果测量的话, 整个光路中不会有一个以上的光的能量单



位（将来我们会知道这个能量单位就叫做光子，现在我们就先在最小能量单位的意义上用这个名词）。这个时候，我们同样发现，基于把光波分成几分再合起来的经典波动力学的解释也不能用了。如何在单光子的情形下解释光子过玻璃然后相消的现象？任何时刻，唯一的一个光子过第一个界面的时候可能反射也可能折射，第一种情况发生了反射，反射光就开始跑路了，注意光子跑得很快的，故事暂时结束。第二种情况，发生了折射，然后遇到第二个界面，假设这次发生了反射，光子又回到第一个界面，接着发生了折射。这些过程是需要时间的。这个时候，第一种情况下的光子，可能都已经跑到月球了。经典波动力学的数学表达式——注意——是能够解释干涉现象的，就是理解上需要把光波分成多个部分然后同时到达，而这一点，考虑单个光子的时候我们做不到。

现在，我们再按照经典粒子的图景来描述一下这个光子过玻璃的实验。我们总共只有一个光子，按照子弹的力学过程，第一个界面发生反射的可能性如果实现了，这个光子就跑掉了。然后在第二个界面可能再发生反射，于是透射的光波应该是两次反射之后剩下的那部分。也就是说光子发生透射的概率是在两个界面上都发生了折射，于是透射率是  $0.96 \times 0.96 \approx 0.92$ 。然而，我们的透射率大于 0.92 的实验结果告诉我们，这两种可能一定要通过某种方式相互影响。经典的粒子的力学和波的力学都不能解释这个光子过玻璃的实验。如何理解这个现象？

下面，我们再用两个类似的实验，来展示量子客体的行为的独特性。光子偏振分束器（也称作极化分束器、偏振分束镜等）是一个能够根据光的偏振状态来决定让光透射还是反射的仪器。这个仪器有一个内部的方向，这个方向是由制作该仪器的材料决定的。我们知道光波是横波，有两个可能的与传播方向垂直的振动方向。一般地，一个光波的电场分量可以写做，指定传播方向为  $\hat{z}$  方向，

$$\vec{A} = A_0 \cos(kz - \omega t + \phi_0)\hat{x} + A_1 \cos(kz - \omega t + \phi_1)\hat{y}. \quad (1.3)$$

其中  $\hat{x}, \hat{y}$  就是与  $\hat{z}$  方向垂直的平面内的两个正交的方向矢量。不妨，我们这里就把  $\hat{x}$  指定成偏振分束器的内部方向。这个时候我们让上面的一般的沿着  $\hat{z}$  方向传播的光经过这个分束镜，我们就会发现  $\hat{x}$  方向的光透射过了这个分束镜，而  $\hat{y}$  方向的光被这个分束镜反射了：偏振分束器透射与其内部方向相同的光，反射与其内部方向垂直的光。当然，如果让经过  $\hat{x}$  方向分束镜透射的光在经过一个  $\hat{x}$  方向分束镜，那么这个光会完全透射过去。注意，如果让一个透射过  $\hat{x}$  分束镜的光当遇到另一面  $\hat{y}$  方向分束镜的时候，它会

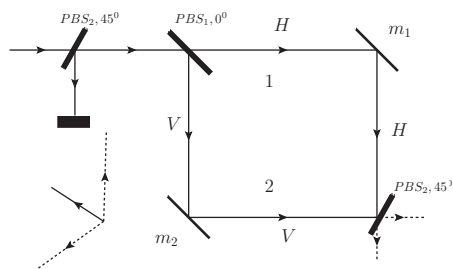


图 1.7: 光子 which-way 实验装置示意图

被完全反射，因为这个时候振动方向为  $\hat{x}$  的光在后者看来正好是它的内部方向的垂直方向。下面，我们要用这样的偏振分束器来做一个有趣的实验。

**实验 1.5 光子 which-way 实验：**一个光子经过第一面内部方向为  $45^\circ$ （如图所示的坐标系）偏振分束器之后，只允许透射光过去，反射光被完全挡住。然后这个光子继续经过一个  $0^\circ$  的偏振分束器。经过这个分束器的光子可能走两条路径。不管走哪一条，它都会被反射会到同一个位置（右下角），进入第三个部方向为  $45^\circ$ （如图所示的坐标系）偏振分束器。问：分束器之后的屏幕上有一个还是两个斑点？

每次只打出一个光子，因此把光子分成很多份的经典波动力学的解释是不能用的。我们来看看经典粒子的力学加上概率论的解释。一方面，经过  $45^\circ$  方向的分束镜以后的光子经过  $0^\circ$  方向的分束镜分开可能的两条路径然后每一条路径又被反射合起来，所以看起来这个  $0^\circ$  方向的分束镜的效果完全被两个反射镜消掉了，于是在到达最后一个  $45^\circ$  方向分束镜的时候，光子的状态与刚刚出第一个  $45^\circ$  方向分束镜的时候一样。于是，完全通过没有反射，只有一个斑点。另一方面，如果要问经过  $0^\circ$  的偏振分束器之后，光子是从哪一条路径过去的。这个时候，如果我们假设光子是从上面的路径过去的，代表  $0^\circ$  方向的偏振态，于是，这个偏振态遇到最后一个  $45^\circ$  方向的偏振分束器会产生两个可能的斑点。同样的，如果我们假设光子是从下面的路经过过去的，也就是  $90^\circ$  的状态，也是两个斑点。于是，按照概率叠加原理，这个事情的发生有两种可能——从上面或者是从下面的路径过去的，于是整个事件的结果就是这两个可能的概率平均。既然两者都给出两个斑点，那么，必然，其概率平均也给出两个斑点。可是，我们的实验结果是只有一个斑

点，而且前面第一个逻辑也给出一个斑点的解释。这个现象怎么解释？我们的后一种解释哪里错了？我们区分光子可能走的两条路径，这件事情错了？

尽管我们已经强调经典波动力学的图景，由于需要把光波分成几个部分然后让这几个部分同时到达，在这里是不能用的，我们仍然把经典波动力学的解释写在下面，提供一个更清楚的说明。这个说明是针对学习过光学的读者来写的。我们直接利用数学表达式来更好地说明白。经过一个偏振分束器以后光子的偏振状态是  $\vec{A}_1 = A_0 \cos(45^\circ)\hat{V} + A_0 \sin(45^\circ)\hat{H}$ ，然后在经过第二个偏振分束器之后，路径 1 上的光子的状态是  $\vec{A}_2^{(1)} = A_0 \cos(45^\circ)\hat{V}$ ，同时路径 2 上的光子的状态是  $\vec{A}_2^{(2)} = A_0 \sin(45^\circ)\hat{H}$ 。经过两面反射镜到达第三面分束镜之前的状态是  $\vec{A}_3 = A_0 \cos(45^\circ)\hat{V} + A_0 \sin(45^\circ)\hat{H} = \vec{A}_1$ ，也就是  $45^\circ$  的偏振态。于是，最后完全通过第三个分束器。注意，这里在做把分开以后的光又合其来的运算的时候，我们默认的思考是：每一条路径上都走了一部分的光，于是把两个部分的光合起来自然就是两个代表其状态的矢量加起来；或者是每一条路径代表了对同时到达的那个点的振动的一种驱动驱动方式，于是两种驱动方式的效果就是把两者的代表矢量叠加起来。这里，我们非常清楚地看见了分开两部分又同时到达的一个默认的物理图景。换句话说，对于矢量  $\vec{A}_1$  的解释，我们默认是多个光子的整体矢量形式，其中的一部分遇到分束器以后可以走路径 1 于是成了状态为  $\hat{V}$  的光子，另外的走路径 2 于是成了状态为  $\hat{H}$  的光子。也就是说我们假设这些个光状态的矢量描述是多光子的状态，或者说一团光的状态，而这个一大团的光可以看作是一部分由路径 1 驱动，一部分由路径 2 驱动，于是整体的状态是两个驱动的效果的叠加。这个基于经典多源驱动的波的多光子图景是很容易接受的，可以不加思考地接受的。

在我们前面所展示的实验中，利用单光子来做实验就是挑战的这个多光子图景。也就是说，上面的基于经典波动力学的解释结果与实验符合，但是不能用于描述我们的单光子实验。下面，来看一个电子的类似的实验。

有一种叫做 Stern-Gelarch 装置的仪器（主要是某个方向的一个磁场，不过现在我们不关心这个仪器的细节）有一个内部方向（其实由其内部的磁场决定，这个方向就好像是偏振片的内部方向一样），会按照电子的状态来改变经过这个仪器的电子的运动方向。这一点就好像是光子偏振分束器一样。例如，通常一束电子过这个仪器之后会在屏幕上产生两个斑点。我们把上（下）方的斑点对应的路径称为向上（下）态的路径（以后我们会知道，实际上这个“上下”的命名不太准确，是倒过来的，应该是“下上”。不过，

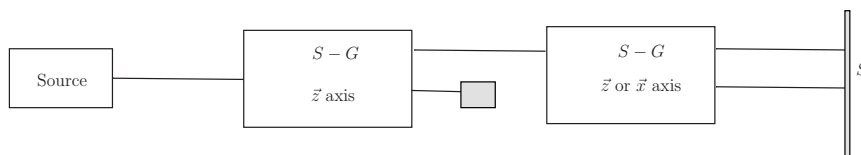


图 1.8: 自旋经过一个 Stern-Gerlach 装置——其内部就是一个磁场——之后挡住向下的输出，这样从装置出来的状态就是第一个装置的向上方向。接着让这个输出的自旋再一次经过同样方向的装置——得到仅有一个向上的输出结果，或者不同方向的装置——得到两个可能的输出结果。

在这里无所谓)。如果我们把其中的一个方向的路径盖住，自然我们就得到一个斑点——对应着没有盖住的那条路径。现在，我们把两个内部方向相同的这样的仪器连起来，我们发现，向上态的路径经过第二个仪器之后还是向上态的。也就是说，这个向上态，看起来好像是经过这个仪器之后不变的状态——我们称其为这个仪器的本征态。向下态也是本征态。这个仪器以及这个电子在这个实验中的现象基本上可以通过一个随机硬币来解释。一个一般的硬币可能向上也可能向下，所以把这样的实验重复很多次以后，我们可以得到两个斑点。如果我们通过把向下的路径挡住来把向上的硬币挑出来，然后再让它进入仪器，自然只能得到向上的路径的斑点。这个不奇怪。

现在，我们来做一些稍微更有趣的实验。我们让从内部方向为  $\hat{z}$  方向的仪器出来的向上态的电子经过一个内部方向为  $\hat{x}$  方向的仪器，我们发现我们还是会得到两个斑点，而且单次实验只能得到一个斑点。甚至把  $x$  方向换成是一个一般的方向  $\hat{r}(\theta, \phi)$  也行，结果也一样：一般来说多次实验的结果是两个斑点，但是每次单次实验只能得到两个斑点中的一个。注意，是两个分开的斑点，不是整个区域弥散开来的。这个特征很重要。这个就不太容易被经典硬币解释了。不过，在这里，我们暂时不关心这个问题。我们要用这个  $\hat{z}$  方向向上的电子过  $\hat{x}$  方向的仪器还会得到两个斑点的事实来做下面的实验。

**实验 1.6 电子自旋 which-way 实验:** 我们让  $\hat{z}$  方向的仪器出来的向上态的电子经过一个内部方向为  $\hat{x}$  方向的仪器，然后不打到屏幕上，而是通过另外一个神奇的仪器（就像光的反射镜）把可能已经分开成  $\hat{x}$  两个方向的电子重新又合在一起，然后再经过一个  $\hat{z}$  方向的仪器打在屏上。问：屏上有一个还是两个斑点？

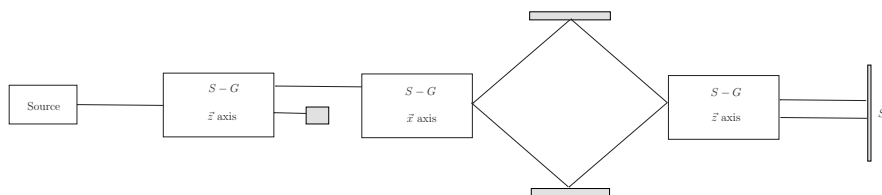


图 1.9: 电子 which-way 实验装置示意图

每次只打出一个电子，因此把电子分成很多份的经典波动力学的解释是不能用的。我们来看看经典粒子的力学加上概率论的解释。一方面，经过  $\hat{z}$  方向仪器以后的电子经过  $\hat{x}$  方向的仪器分开可能的两条路径然后每一条路径又被反射合起来，所以看起来这个  $\hat{x}$  方向的仪器的效果完全被两个反射镜消掉了，于是在到达最后一个  $\hat{z}$  方向仪器的时候，电子的状态与刚刚出第一个  $\hat{z}$  方向仪器的时候一样，也就是向上态。于是，只有一个斑点。另一方面，如果要问经过  $\hat{x}$  方向的仪器之后，电子是从哪一条路径过去的。这个时候，如果我们假设电子是从上面的路径过去的，代表  $\hat{x}$  方向的向上状态，于是，这个状态遇到最后一个  $\hat{z}$  方向的仪器会产生两个斑点。同样的，如果我们假设电子是从下面的路径过去的，也是两个斑点。于是，按照概率叠加原理，这个事情的发生有两种可能——从上面或者是从下面的路径过去的，于是整个事件的结果就是这两个可能的概率平均。既然两者都给出两个斑点，那么，必然，其概率平均也给出两个斑点。可是，我们的实验结果是只有一个斑点，而且前面第一个逻辑也给出一个斑点的解释。这个现象怎么解释？我们的后一种解释哪里错了？

单光子过玻璃的实验，单电子的双缝干涉实验，单光子 which-way 实验，单电子自旋 which-way 实验，都告诉我们：第一、经典波动力学把波看成是分成多份经过不同路径又同时到达某处的解释有问题；第二、经典粒子的力学，其中我们假定粒子选择了哪一条路径来走，然后加上概率论的互斥事件概率可加性，的预期与实验不符合。第一个可能的出路，我们可以修改概率论的互斥事件概率可加性。这个可能性我们学习过，是概率论的核心。我们需要尽可能的保留它：它在经典的时候确实是正确的，而且很容易理解——一件事情有不同的发生方式，那么其结果可以看成是所有方式的结果的某种叠加。第二个可能是我们需要放弃粒子选择了某一条路径这个概念。那么，是否可以替换成光子同时走了所有的路径呢？我们做的是单个粒子的实验，粒子也总是一个一个地被测到，没有测到过半个光子或者半个电

子。粒子需要分开好多份一起走这个图景和测量的结果不符合。另外，如果我们假设粒子在测量之前分成许多份，那么测量的时候，在探测到的位置就要求发生某种奇怪的事情，导致其他部分的粒子瞬间到被测量的位置集合。这一点也是很难理解的：被测量到这件事情瞬间传给粒子的已经分开的所有的部分。

也就是说，第一、粒子确实选择了某一条路径，尽管我们在观测之前不知道走了那一条路径，或者换一个表达方式：在任何时刻任何地方测量粒子，得到的结果都是这个地方测到了或者没有测到一个完整的粒子；第二、粒子的状态是粒子在所有可能路径——而不是某一个路径——上的某种平均或者某种取和，而且这种取和不能是概率性叠加。这个时时刻刻走一条路径和所有路径的非概率性叠加的矛盾并不在“一条”和“所有”上面，而是在“一条”和“所有的非概率性叠加”上面。我们已经看到，对于经典的随机子弹，注意是随机的子弹，其在任何时刻走的是“一条”路径，并且观测结果与“所有”的路径的结果的概率性叠加不矛盾。现在，我们需要提供一种数学模型，能够解决上面的这个“一条”和“所有的非概率性叠加”之间的矛盾，从而解决对量子粒子被测量的时候的行为的理解。这个答案就是下面，在本书的第三部分，我们要学习和讨论的目前主流量子力学的主要假设。

**作业 1.1** 搜索“Sidney Coleman 量子力学讲座”，听完，写一个报告。听不懂没关系，以后我们还要听很多遍，本课程的任务就是让你听懂这个讲座。

**作业 1.2** 搜索“Stanford 量子力学公开课”，听完第一次，写一个报告。听不懂没关系，以后我们还要听很多遍，本课程的任务就是让你听懂这个讲座。

**作业 1.3** 阅读 R. Feynman 的《Feynman 物理学讲义》第三卷，前三章，写一个报告。这个应该看得懂了。和本书的讲法类似。实际上本书的整体逻辑结构很大程度上受《Feynman 物理学讲义》启发。尽管本书对于密度矩阵、矢量空间、概率论的处理比较有新意。通过阅读和比较能够体会得更深刻。希望学完本书的读者能够明白本书内容，内容之间的逻辑关系，同时还明白为什么选择这些内容和这样来呈现它们之间的逻辑关系。我称之为“知其然，知其所以然，知其所以所以然”。另外，本书的习题不多，大部分习题都是为了进一步学习设计的，有比较深远的意义的。请做题的时候多思考。

## 第二章 物理世界的数学模型

物理学，甚至整个科学的目标就是让我们的理念中的世界，心智中的世界符合物理的真实的世界。所谓符合物理的真实的世界就是构造一套简单的规则通过这些规则的操作给出与现实世界相符的结果。这一套规则是否能够得到验证，也就是说这套规则就是世界运行的规则，不是科学关心的问题。这一套规则是否能够被我们的心智认可、理解、欣赏，也不是科学关心的问题。如果一定要在结果相符的前提下再提出一个更高的标准，可以认为是简单性和可证伪性。简单性就是如果有两个理论，一个简单（可以指的是规则本身更少，操作更简单）一个复杂，我们优先选择简单的理论；简单性也可以指如果有两套规则，在一套规则下，很多事情都能够通过一套理论来解释，而在另一套规则下，需要更多的理论来解释更多事情，那么我们选择更加普适的理论。可证伪性就是指，我们的规则原则上允许不成立，而且一旦这个规则不成立，则相应的操作可以导出与这套规则成立的情况下不同的结果。如果这些规则不成立的情况下导出的结果被发现了，就称一个规则被证伪了。称为“科学”的规则就是原则上可以被证伪但是目前为止还没有被证伪的简单的一套能够给出与现实世界相符的结果的规则。

这样的一套规则往往是用数学的语言和结构描述的一套规则，称为数学模型。有的时候可能一套规则看起来用的不是数学的语言，但是实际上仍然是数学的结构，例如 Faraday 的电磁场后来就被 Maxwell 做了等价的数学化。我们已经看到，量子世界的现象，尽管有的表现很像经典硬币（过  $\hat{z}$  方向的 Stern-Gerlach 装置的电子），有的表现很象经典的波（过玻璃的光的经典波动力学解释），但是却不能够通过这些经典的对象来理解。实际上，我们在这里表达的意思是：这些量子的现象不能通过经典粒子背后的数学模型与经典波背后的数学模型来解释。那么，首先，我们来看一下什么是经典粒子和经典波后面的数学模型。

由于在下面的几节中我们会使用第二部分的数学符号和物理概念，请

在继续阅读之前学习或者浏览本书的第二部分“数学物理学上的准备”。对于已经熟悉概率论、经典力学和 Dirac 符号的读者，可以直接阅读本章剩下的部分。或者，请读者先相信我们的这一章结论——量子系统的行为非常难以用经典理论来描述，然后跳过本章剩下的部分，将来等学习完了第二部分甚至第三部分以后，再回来挑战这一部分。

警告：初次思考本章剩余部分的读者一般情况下会觉得这些问题比较难比较抽象。

## 2.1 经典世界的确定性的数学模型

经典粒子的状态以及状态变化的数学模型非常简单，就是一个平直的连续的欧几里德空间中的一个点  $(x_1, x_2, x_3)$ ，以及这个点随着时间——时间  $t$  是独立于一切之外的均匀流逝的——的变化。为了描述这个空间中的点，我们可以利用坐标系。原则上坐标系和距离有可能是不统一的，但是欧氏空间的直角坐标系就是利用距离来定义的，或者说坐标值之间的差的绝对值正好就是距离，

$$d_{PQ} = \sqrt{\sum_i (x_i^P - x_i^Q)^2}. \quad (2.1)$$

时间也是，

$$t_{PQ} = \sqrt{\sum_i (t_i^P - t_i^Q)^2}. \quad (2.2)$$

于是，一个经典粒子的状态的完整的描述就成了  $\vec{r}(t) = \sum_i x_i(t) \hat{e}^i$ ——一条轨迹。

实际上，还存在着另外一种完整描述经典粒子状态的方式，就是同时确定一个时间点的位置和速度  $(\vec{r}(t_*), \dot{\vec{r}}(t_*))$ 。有的时候这个组合也被替换成为确定一个时间点的位置和动量  $(\vec{r}(t_*), \vec{p}(t_*))$ ，其中  $\vec{p} = m\vec{v} = m\dot{\vec{r}}$ 。这种描述相对于前者—— $\vec{r}(t)$ ——有很大的好处：前者需要确定整个轨道，后者只需要确定一个时间点的状态。之所以我们能够这样做是因为经典粒子的运动方程——Newton 方程是一个二阶微分方程，于是由位置和动量构成的相空间内轨道不相交。

如果我们对这样的一个经典粒子做测量的话，测量的图景非常简单。首先，我们需要确定一个测量的量  $O$ ，例如位置坐标、速度、能量等等。这些



可以测量的量都是前面的位置和动量这两个基本量的函数。因此，这里我们就以位置坐标的某一个分量的测量为例  $O = x$ 。接着，我们需要有一个测量仪器  $A$ ，这个仪器能够根据位置的不同而得到不同的读数。也就是说，这个仪器与所测量的状态之间可以建立某种关联  $A_x = A(x^1)$ 。这个关联的建立本质上也应该是一个物理过程，但是我们在这里不再关心这个物理过程，仅仅当作抽象的一个关联。最后，我们通过观察仪器上的读数  $A_x$  来确定所测量的量的值  $O = x$ 。

于是，我们发现，在测量之前，系统的被观测量的值是  $x$ ，在测量之后是  $x$ ，测量得到的值也是  $x$ 。我们对这个“测量”过程的“理解”感到满意，因为看起来这真的就是一个测量：不改变系统的被观测量的状态，仅仅是得到这个被观测量的值，测量的之前之后都一样。在实际实验中，这样的完全不改变被测量值的测量也是做得到的，尽管有的时候也会引起被测量值的一个小小的改变。后者不是原理上要求这样，仅仅是受到技术上的可能性的制约。通常通过把被测量耦合到另外一个可以改变和破坏的自由度上去，通过观察代表那个自由度的变量的取值，我们是可以做到完全不影响被测量量的。

现在我们已经讨论了经典粒子的状态和状态的测量的数学模型。为了完整地建立经典粒子的数学模型，其实我们还需要讨论经典粒子是如何演化的。不过，如何理解演化相对来说是一个平庸的问题。这里就不详细展开了。简单来说，就是粒子收到外界对它的影响或者作用，在这个影响下，粒子的状态  $(\vec{r}, \vec{p})$  会发生变化。在影响因素和如何变化之间应该存在着一个关系，这个关系通常就叫做运动方程，例如 Newton 方程。

波动力学的图景是建立在上面这个经典粒子的状态和测量的图景的基础上的。经典波实际上是一系列粒子的运动的整体表现。每一个粒子仅仅在它自己的平衡位置附近运动，不会沿着波的方向传播。波传播的不是粒子而是振动的状态，称为相位——把一个周期的振动看作一个  $2\pi$  的弧度，把其中任何一个点的振动状态对应于一个  $\theta \in [0, 2\pi]$ 。然后就是这个  $\theta$  角的状态在沿着波传播——一般情况下写成  $\vec{r}(x, t) = \vec{A} \cos(\theta(x, t))$ 。有的时候  $\theta(x, t) = kx + \omega t$ 。例如，波谷的时候就相当于  $\theta = \pi$ ，波峰的时候就相当于  $\theta = 0$ ，然后这些波峰和波谷就可以沿着波传播。对于波上的任何一个单个的粒子来说，状态以及状态测量的问题自然就完全回到了上面的已经建立的单个粒子的状态和状态测量的物理图景。演化问题稍微复杂一点，因为这个时候，周围的粒子对这个“单个”粒子是有相互作用的。于是，演化方

程，尽管实际上还是 Newton 方程，会出现与 Newton 方程不一样的自己的独特的形式。

对于这样的一个波来说，如果存在两个波源一起来驱动某个点——例如一条绳子的两端同时被两个人拿着然后上下振动——那么自然这个点的运动模式是两个源独立传播过来那个振动状态的叠加。具体来说，就是在特定的时刻  $t^*$  在这个特定的点  $x^*$  上的粒子的状态满足

$$\vec{r}(x^*, t^*) = \vec{A}_1 \cos(\theta_1(x, t)) + \vec{A}_2 \cos(\theta_2(x, t)). \quad (2.3)$$

这个称为波的叠加原理——实际上是不同的源驱动的波引起的同一个粒子的振动状态的位置矢量的叠加。这个叠加就好像是你的妈妈给你  $A_1$  的零花钱，你的爸爸再给你  $A_2$  的零花钱，合起来你得到的零花钱是  $A_1 + A_2$ 。这个加法不代表，这两件事情——妈妈给你钱和爸爸给你钱——可以加起来，仅仅是钱的数值可以加起来。

有了这个基于位置矢量的数值的叠加原理的波的叠加原理，这个叠加之后的状态的点的测量就回到了单个粒子的测量的问题。所以，确定性的经典粒子和经典波的状态、状态的测量、状态的演化的数学模型就都归结到这一节一开始的时候我们介绍的图景：状态是欧氏空间的点，测量是状态，被测量量，仪器和仪器读数的这个测量前后不改变状态仅仅读出被测量量的值的过程，演化就是状态的变化与外界影响的联系。

## 2.2 经典世界的随机性的数学模型

上一节，我们讨论了确定性经典粒子和经典波的状态、测量和状态演化的数学模型。这一节，我们来讨论随机性的经典粒子的数学模型。

让我们从一个简单的事件的数学模型开始：什么是一个色子的数学模型？对于一个色子，我们通常只关心其向上的面的状态，也就是那个向上的数字。我们知道这个数字必然是  $\{1, 2, 3, 4, 5, 6\} \triangleq \Omega$  之一。于是，我们知道了这个状态构成一个集合。然后，对于这个色子，在现实中，我们可以问各种各样的问题，例如状态是 1 的几率是多少。这个时候几率的含义往往是指，统计上，如果扔很多很多次，合起来看出现的频率。我们还可以问状态是奇数的几率是多少。其实，我们可以问任何一个  $\Omega$  的子集所代表的事件出现的几率是多少这样的问题。于是，我们发现，我们感兴趣的有关色子的“事件”实际上就是  $\Omega$  的所有子集的集合  $\{A | A \subseteq \Omega\} \triangleq \mathcal{T}$ 。进一步，我们关心

的问题则是这样的事件  $A$  的几率是多少，也就是一个从  $\mathcal{T}$  到  $[0, 1]$  的映射，其把任何一个  $A$  对应到一个  $0, 1$  之间的数字  $P(A)$ 。

在这里，我们首先把有关色子的状态所有的问题数学化了。接着，我们要寻找这个数学问题的数学答案。然后，我们还可以接着问这个色子的进一步的问题，例如，如果这个色子的状态发生变化，如何用数学模型描述这个变化，以及如何找到这个变化发生的物理原因。后面的这个问题，我们暂时不讨论。在此，我们仅回答这个数学问题的答案，也就是说，我们要给定一套规则，这套规则能够计算任意事件  $A$  的几率  $P(A)$ 。我们说这个答案非常简单，就是对于  $\Omega$  中的任意元素  $\omega$ ，先给定所有的  $P(\{\omega\})$ ，然后对于任意的集合  $A$ ，我们按照如下规则计算： $P(A) = \sum_{\omega \in A} P(\{\omega\})$ 。对于我们的理想的色子，我们取  $P(\{\omega\}) = \frac{1}{6}, \forall \omega \in \Omega$ 。

总结一下，对于理想的色子——这个色子可能与真实世界的色子略有区别，但是这个区别可以通过修正下面的具体的数字来反映，我们的数学模型非常简单，

$$P(A) = \sum_{\omega \in A} P(\{\omega\}), \forall A \subseteq \Omega; P(\{\omega\}) = \frac{1}{6}, \forall \omega \in \Omega. \quad (2.4)$$

或者运用我们将要在第四章中学习到的密度矩阵的语言，

$$P(A) = \text{tr}(\hat{A}\rho^c), \hat{A} = \sum_{\omega \in A} |\omega\rangle\langle\omega|, \rho^c = \frac{1}{6} \sum_{\omega=1}^6 |\omega\rangle\langle\omega|. \quad (2.5)$$

例如，当  $A = |1\rangle\langle 1|$  的时候，我们问的是事件“色子状态是面 1 向上”的几率是多少。于是，按照一般概率论的语言，

$$P(1) = \sum_{\omega \in \{1\}} P(\{\omega\}) = \frac{1}{6}, \quad (2.6)$$

或者按找密度矩阵的语言

$$P(|1\rangle\langle 1|) = \text{tr}(|1\rangle\langle 1|\rho^c) = \langle 1|\rho^c|1\rangle = \frac{1}{6}. \quad (2.7)$$

更一般地，如果你需要测量一个可观测量  $O$ ，它是核心是一个  $\omega$  的函数  $O(\omega)$ （例如根据色子的每一面的值你可以赢得不同数量的钱），那么，按照通常概率论的语言

$$\langle O \rangle = \sum_{\omega} O(\omega) P(\{\omega\}), \quad (2.8)$$

或者相应地按照密度矩阵的语言,

$$\langle O \rangle = \text{tr}(\hat{O}\rho^c), \hat{O} = \sum_{\omega} O(\omega) |\omega\rangle\langle\omega|. \quad (2.9)$$

一句话, 色子的状态就是

$$\rho^c = \frac{1}{6} \sum_{\omega=1}^6 |\omega\rangle\langle\omega|, \quad (2.10)$$

可观测量是算符 (例如  $\hat{A}$  和  $\hat{O}$ ), 然后, 观测以后得到的结果就按照

$$\langle O \rangle = \text{tr}(\hat{O}\rho^c) \quad (2.11)$$

来计算。

如果你问我你怎么知道公式 (2.4) 或者等价的公式 (2.10) 这个数学描述就是色子的本质, 我拒绝回答。我仅仅能够告诉你, 利用这个数学结构计算出来的任何结果, 都可以通过实验的检验。如果你问我我是否喜欢这个色子的数学模型, 我也拒绝回答, 我还是仅仅能够告诉你, 利用这个数学结构计算出来的任何结果, 都可以通过实验的检验。

当然, 我们的数学模型在几个层次都允许这个描述不成立的规则, 例如, 我们可以破坏公式 (2.4) 的后半部分, 允许  $P(\{\omega\}) \neq \frac{1}{6}$ 。这个时候, 我们需要实验证据来证明这个色子的行为其实更符合在这些新的不等于  $\frac{1}{6}$  的数字下面得到的结果。如果成立, 那么, 我们放弃  $P(\{\omega\}) = \frac{1}{6}$ 。这样的话, 我们的模型的细节被证伪了, 我们修改, 但是整个把概率结构作为色子的行为的描述的数学框架还是对的。破坏  $P(\{\omega\}) = \frac{1}{6}$  还有别的方法, 就是  $P(\{\omega\})$  不再是一个简单的数了, 整个就不能用实数来表达了。实际上, 一种这样的修改就是考虑  $\Omega$  是一个连续集合而不是离散元素的集合。这个修改, 如果我们色子的行为确实需要也是可以的。注意, 到此为止, 我们一直保留了公式 (2.4) 的前半部分, 有关取和的部分, 当然必要的时候可以成为积分。

我们也可以破坏公式 (2.4) 的前半部分, 允许  $P(A) \neq \sum_{\omega \in A} P(\{\omega\})$ 。这个修改的含义是, 在我们保持  $P(\{\omega\})$  是一个简单的实数的前提下, 我们的事件集合的概率不再是集合中每一种可能的事件的概率的和了。这样的修改在色子这个现实世界的物体上, 是不可理解的。这个修改实际上就破换了整个概率论的核心——互斥事件的加法是概率论这个数学结构的基本公理之一。当然, 如果我们的“色子”的行为确实不能够由前面的公式 (2.4) 数学模型描述, 也不能在更一般的允许  $P(\{\omega\})$  取值的数学模型描述, 也不能

由仅保留公式 (2.4) 的前半部分, 把后半部分整个抛弃然后用连续变量来代替的更一般的理论来描述, 那么, 我们也可以突破整个概率论的描述框架。

讨论了状态和状态的测量之后, 我们再来讨论一下测量后状态和状态的演化。首先, 测量后状态, 当测量值为  $O^*$  的时候, 根据  $\omega^* = O^{-1}(O^*)$ , 为

$$\rho_{af}^c = |\omega^*\rangle\langle\omega^*| = |O^*\rangle\langle O^*|. \quad (2.12)$$

其次演化的过程肯定是从一个密度矩阵到另一个密度矩阵的映射,

$$\rho^c(t) = L(t, t_0)\rho^c(t_0). \quad (2.13)$$

其中  $L(t, t_0)$  由外界对这个系统的相互作用以及这个系统的内部结构来决定。例如, 在概率论和随机过程的课程里面, 我们可能学到过概率转移矩阵,

$$P(t) = M(t, t_0)P(t_0). \quad (2.14)$$

这里, 运用密度矩阵的语言, 有可能我们可以把演化过程表达成为

$$\rho^c(t) = U(t, t_0)\rho^c(t_0)U^\dagger(t, t_0). \quad (2.15)$$

下面举一个硬币翻转的例子来展示状态、状态的演化, 测量和测量后状态。

**例 2.1** 硬币翻转的动力学过程的密度矩阵描述: 一个硬币每一个单位时间以后都会被翻转。写下这个动力学过程的普通概率论形式和密度矩阵形式的表达式。假设我们测量硬币的正面还是反面, 然后当是硬币正面的时候赋值为 1 (得到一个单位的钱), 反之为 -1。写下这个测量的算符, 测量值和测量后状态。

硬币的状态可以采用两种表示方法, 概率矢量

$$P = \begin{bmatrix} p \\ 1-p \end{bmatrix}, \quad (2.16)$$

或者概率矩阵,

$$\rho^c = \begin{bmatrix} p & 0 \\ 0 & 1-p \end{bmatrix}. \quad (2.17)$$

翻转操作是算符

$$X = \begin{bmatrix} 0 & 1 \\ 1 & 0 \end{bmatrix}. \quad (2.18)$$

翻转过程可以表示为

$$P(t+1) = XP(t), \quad (2.19)$$

或者

$$\rho^c(t+1) = X\rho^c(t)X^\dagger. \quad (2.20)$$

测量的可观测量是算符

$$Z = \begin{bmatrix} 1 & 0 \\ 0 & -1 \end{bmatrix}, \quad (2.21)$$

相当于

$$\hat{Z} = 1 \cdot |\uparrow\rangle\langle\uparrow| + (-1) \cdot |\downarrow\rangle\langle\downarrow|. \quad (2.22)$$

$|\uparrow\rangle\langle\uparrow|$  和  $|\downarrow\rangle\langle\downarrow|$  分别代表正面和反面。对于这个可观测量，有两个可能的观测值 1 和 -1，其概率分别为

$$P_\uparrow = \text{tr}(\rho^c |\uparrow\rangle\langle\uparrow|) = p, P_\downarrow = \text{tr}(\rho^c |\downarrow\rangle\langle\downarrow|) = 1 - p. \quad (2.23)$$

所以测量的平均值是，

$$z = 1p + (-1)(1-p) = 2p - 1 = \text{tr}(\hat{Z}\rho^c). \quad (2.24)$$

当我们观测到测量值的状态——例如 -1——的时候，测量后状态是

$$\rho_{af}^c = |\downarrow\rangle\langle\downarrow|. \quad (2.25)$$

这个就是作为经典随机对象的硬币的数学模型的所有内涵。讨论完了色子和硬币这两个具体的模型，我们顺便指出，确定性的经典系统也可以采用概率模型来描述——只不过，这个时候，任何时候的分布函数就是一个  $\delta$  分布：只在一个状态上取值，其它地方的概率取值都是 0。这个就好像是 Dirac  $\delta$  函数或者 Kronecker  $\delta$  一样。因此，通常认为，经典世界的数学模型的底线就是概率模型：有一个基本事件集合，这个集合的部分子集构成一

个事件集合，然后从事件集合到  $[0, 1]$  有一个映射，这个映射遵循互斥事件的加法规则。其实，还有几个其它的要求，请参阅概率论的公理体系，也可以参考本书的概率论部分。

或者用密度矩阵的语言，经典世界的数学模型就是：状态是一个对角的密度矩阵  $\rho^c$ ，可观测量是对角的算符  $\hat{O}$ ，测量得到的平均值就是按照公式 (2.11) 计算的到的  $\text{tr}(\rho^c \hat{O})$ ，观测到可观测量某一个值  $o^*$  的几率是  $\text{tr}(\rho^c |o^*\rangle\langle o^*|)$ ，当观测到这个具体的值之后，系统的观测后状态是  $|o^*\rangle\langle o^*|$ 。

有了这个确定性的和随机性的经典世界的数学模型，我们来看一看能不能构建一个量子世界的数学模型，让我们的数学结构能够描述量子系统的行为，包含典型的上一章介绍过的所有的量子实验的结果。

## 2.3 量子系统的确定性经典理论的尝试

在第一章，我们已经展示了通常的经典粒子和经典波都不能解释量子系统的行为。现在我们来尝试构造各种更加一般的经典理论，只要满足经典理论的底线——还是一个概率论理论——的经典理论，看看能不能有这样的理论可以解释量子行为。

首先，我们来看一下概率理论的特殊情况——确定性的经典理论——是否能够描述量子力学。所谓确定性在这里就是每时每刻系统的密度矩阵，或者说密度分布函数，都是一个  $\delta$  函数：仅在某一个状态上取值，几率为 1，其它可能的状态的取值几率都为 0。我们以 Stern-Galarch 装置的一系列实验为例。我们来看看一个未知状态的自旋通过  $z$  方向的磁场之后向上的那个状态的数学模型是什么？首先，我们认为这个时候自旋的状态是明确的（不表示是确定性的，仅仅表示不管什么形式，这个形式是已经给定的），客观的，记为状态  $\uparrow_z$ 。数学形式到底怎样，我们暂时不知道。这个状态就在那里不管是否被侧量，被侧量的可观测量是什么。这个客观性要求是可以被挑战的。但是，我们暂时不打算放弃这个客观性要求。

为什么  $\uparrow_z$  是明确的呢？因为如果我们对这个状态做一个  $z$  方向自旋的测量（让这个自旋再一次进入一个  $z$  方向的 Stern-Galarch 装置），我们得到的结果是确定的，还是得到而且仅得到一个向上方向上的斑点。这个结果是可重复的，而且你可以尝试改变很多很多的其他条件来测试是否这个状态还依赖于其它未知变量。只要你保证自旋先从第一个  $z$  方向的 Stern-Galarch 装置的向上方向出来（挡住向下的），那么当这个自旋再一次进入第二个  $z$

方向的 Stern-Galarch 装置的时候，它还是从向上方向出来。按照我们经典世界的物理模型，这个自旋的  $\uparrow_z$ ，就应该是

$$\rho = |\uparrow_z\rangle\langle\uparrow_z|. \quad (2.26)$$

如果量子系统的行为就是这样的话，那么我们用确定性的经典力学就可以描述量子系统了，也就没有量子力学了。如果我们让这个  $\uparrow_z$  的自旋进入一个  $x$  方向的 Stern-Galarch 装置，我们发现这个时候会出现两个可能性，而且每一次单次的实验只能得到一个斑点，多次合起来以后得到两个斑点。得到这两个斑点中的任意一个的平均频率是一样的。这个就好像是一个完全随机的硬币一样，而硬币的状态的数学模型是

$$\rho^c = p|\uparrow\rangle\langle\uparrow| + (1-p)|\downarrow\rangle\langle\downarrow|. \quad (2.27)$$

于是，从测量的结果来看，就算是对于一个明确的状态， $\uparrow_z$ ，我们需要放弃确定性的理论，而转投随机性的理论。例如，

$$\rho = p|\uparrow_x\rangle\langle\uparrow_x| + (1-p)|\downarrow_x\rangle\langle\downarrow_x|. \quad (2.28)$$

等等，实际上抛在空中以后落下来的硬币的状态，如果我们知道所有的信息——初始状态、空气阻力等等等等，其状态是可以通过经典力学计算出来的。因此，硬币的随机性实际上是一个本质上确定性的系统在信息不完全的条件下的有效形式，而不是最终形式。那么，是否上面这个形式上的随机性理论的要求，实际上也是由于信息不完全导致的呢？Einstein 相信是这样的——“上帝不掷色子”。我们实验者看到了“色子”那是因为我们掌握的信息还不够充分。

也就是说，一个形式上的经典随机性理论，完全可能是一个经典确定性理论的信息不完全的时候的表现。实际上我们确实可以接受（或者不接受）这个“信念”。如果我们接受这个信念，那么关于量子系统的确定性的经典理论的寻求直接就成了“寻找一个形式上随机性的经典理论”。这个量子系统的随机性的经典理论的可能性就是我们下一节的主题。

关于量子力学是否能够由确定性理论描述的问题，除了企图构造出这样的理论之外，我们还可以从另一个角度来讨论：确定性的理论必须满足什么特征，这些特征是否被量子系统的行为所遵循。这个等到在第十一章讨论 Bell 不等式的时候再来讨论。



## 2.4 量子系统的随机性经典理论的尝试

这一节我们来尝试构造量子系统的形式上的随机性的经典理论。我们已经看到：形式上，量子系统的行为，如果要用经典理论来描述，是要求随机性的经典理论的，确定性理论是不够的。当然，另外一方面，形式上的随机性的经典理论可以是本质上确定性的经典理论在信息不完全的条件下的表现。所以，在这个“信念”下，这一节的主题就是上一节的主题。

我们还是以 Stern-Galarch 装置的一系列实验为例。首先，我们来看看一个未知状态的自旋通过  $z$  方向的磁场之后向上的那个状态的数学模型是什么。对于这个状态，我们知道如果让它通过另一个  $z$  方向的磁场，则它还是向上。于是，按照我们对于硬币的经验，这个状态应该是，

$$\rho_0^{c,z} = |\uparrow_z\rangle\langle\uparrow_z|. \quad (2.29)$$

这里，我们把通过这个仪器以后向上的就称为向上态  $|\uparrow_z\rangle\langle\uparrow_z|$ 。上一节我们已经提到，对于这个再一次通过  $z$  方向磁场的实验，这个数学模型就够了。测量的结果、测量后状态都能够很好的描述。

现在，我们让这个自旋通过  $x$  方向的磁场，而不是  $z$  方向的磁场。结果是我们已经了解的：有且仅有向上和向下两个可能。于是，我们自然想到实际上  $\rho_0^c$  应该是

$$\rho_0^{c,x} = \frac{1}{2} (|\uparrow_x\rangle\langle\uparrow_x| + |\downarrow_x\rangle\langle\downarrow_x|). \quad (2.30)$$

如何让一个密度矩阵既满足公式 (2.29) 又满足公式 (2.30) 呢？一种可能是

$$\rho_0^c = [|\uparrow_z\rangle\langle\uparrow_z| + \left[ \frac{1}{2} (|\uparrow_x\rangle\langle\uparrow_x| + |\downarrow_x\rangle\langle\downarrow_x|) \right]]. \quad (2.31)$$

另一种可能是

$$\rho_0^c = [|\uparrow_z\rangle\langle\uparrow_z|] \cdot \left[ \frac{1}{2} (|\uparrow_x\rangle\langle\uparrow_x| + |\downarrow_x\rangle\langle\downarrow_x|) \right], \quad (2.32)$$

前者假设两个不同的方向的状态是互斥事件，于是整体的概率分布函数等于各自的概率分布函数之和；后者假设两个不同的方向的状态是两个相互独立的变量，于是联合分布函数等于独立分布函数的乘积。对于第一种，实际上我们需要重新归一化。不过这个技术问题，这里，我们就假设总是可以简单处理的。

### 互斥构造

现在，我们来看看基于互斥事件的公式 (2.31) 是否能够解释实验结果。按照经典概率论，对于形如公式 (2.31) 的概率分布函数的测量可以得到所有的可能结果：这里包含  $|\uparrow_z\rangle\langle\uparrow_z|$ 、 $|\uparrow_x\rangle\langle\uparrow_x|$ ，以及  $|\downarrow_x\rangle\langle\downarrow_x|$ 。也就是说，我们不能够再确定测量自旋的某一个方向——“我想测量自旋的  $x$  方向”，而是只能够做这样的测量：“我想测量一个自旋”。这一点与我们的实验是不相符的。在实验中，我们可以选择哪一个方向来测量。

做一个类比。这个问题就好像是一个硬币本来有正反面、颜色、形状等等的各种属于不同的空间的属性。现在，有一个硬币它的正反面、颜色、形状都是同地位的在同一个空间中的属性，那么你自然就不能够在提出这样的问题：“我想测量这个硬币的颜色到底是绿的还是红的”，而仅仅能够题这样的问题：“我想测量这个硬币”。可是这个神奇的硬币竟然能够知道你的真实的企图，在你想测量颜色的时候给你颜色，形状的时候形状。

当然，你可以说，正是由于你选择了哪一个方向来测量，你选择了某种类型的仪器，而这个自旋通过跟这个被选择了的仪器相互作用，了解了“你的真实的想测量的方向”。于是，通过某种方式，“你的意识”跟实验结果建立了关联。对于这样的辩护，一个实用主义的物理学家是能够继续问你，所选择的仪器如何与自旋的状态建立起来的关联，从而实现了这个试验结果呢？尽管我们非常反对把实验者的意识和物理对象关联起来（因为我们希望物理对象的状态还是一个客观量），但是我们不能直接否定这个基本上不可证伪的理论。

这样的—一个仪器在经典随机理论的框架之内是可以实现的，而且非常简单：把真正希望测量的那部分信息识别出来，把识别不出来的其它的信息扔掉。在硬币的例子，你可以设计一个仪器，这个仪器只能够识别颜色，如果其它的可能状态过来了，这个仪器就显示一个探测不到的状态。也就是说，这个仪器只对颜色——这个反映真实测量意图的变量——敏感。这个仪器的缺陷是有的时候我们会得到得不到信号的结果。而且这个得不到信号的结果出现的概率由原始的公式 (2.31) 的概率分布函数决定。

现在，我们来看一看这个测不到信号的结果出现的几率。到现在为止，我们仅仅讨论了  $z$  方向和  $x$  方向的测量，现在我们来讨论  $y$  方向和任意  $\hat{r}(\theta, \phi)$  方向的测量。为了满足  $y$  方向测量的结果（可能是两个结果，等几

率，每一次单次的测量仅得到一个结果），我们需要修改公式 (2.31) 为，

$$\rho_0^c = [|\uparrow_z\rangle\langle\uparrow_z|] + \left[ \frac{1}{2} (|\uparrow_x\rangle\langle\uparrow_x| + |\downarrow_x\rangle\langle\downarrow_x|) \right] + \left[ \frac{1}{2} (|\uparrow_y\rangle\langle\uparrow_x| + |\downarrow_y\rangle\langle\downarrow_x|) \right]. \quad (2.33)$$

现在，我们来归一化这个分布函数，

$$\rho_0^c = \frac{1}{3} [|\uparrow_z\rangle\langle\uparrow_z|] + \left[ \frac{1}{6} (|\uparrow_x\rangle\langle\uparrow_x| + |\downarrow_x\rangle\langle\downarrow_x|) \right] + \left[ \frac{1}{6} (|\uparrow_y\rangle\langle\uparrow_x| + |\downarrow_y\rangle\langle\downarrow_x|) \right]. \quad (2.34)$$

于是当我们用测量  $z$  方向的仪器做侧量的时候，我们有  $\frac{2}{3}$  的几率得不到任何信号。可是，在我们的实验当中，这样的事情从来没有出现过。 $\frac{2}{3}$  是一个很大的几率，不可能和实验误差混在一起区分不开。

这个问题还会成为一个更大的问题。为了满足  $\hat{r}(\theta, \phi) = \sin\theta\cos\phi\hat{i} + \sin\theta\sin\phi\hat{j} + \cos\theta\hat{k}$  方向的测量（可能是两个结果，向上的几率是  $\frac{1+\cos\theta}{2}$  向下的几率是  $\frac{1-\cos\theta}{2}$ ，每一次单次的测量仅得到一个结果），我们是否需要再把这个  $\hat{r}$  方向的分布函数添加到公式 (2.31) 里面呢？

是否可以把  $\hat{r}(\theta, \phi)$  方向的测量看作是三个独立方向  $x$ 、 $y$ 、 $z$  的测量的结合呢？从平均值上来说，可以，

$$\langle\sigma_{\hat{r}}\rangle = \sin\theta\cos\phi\langle\sigma_x\rangle + \sin\theta\sin\phi\langle\sigma_y\rangle + \cos\theta\langle\sigma_z\rangle = \cos\theta. \quad (2.35)$$

但是，这样的话，单次测量的结果可能是

$$\pm \sin\theta\cos\phi \pm \sin\theta\sin\phi + \cos\theta \neq \pm 1. \quad (2.36)$$

所以，必须把所有的  $\hat{r}$  方向的分布函数添加到公式 (2.31) 里面，也就是说，

$$\rho_0^c = \sum_{\hat{r}(\theta, \phi)} \rho^c(\theta, \phi), \quad (2.37)$$

其中

$$\rho^c(\theta, \phi) = \frac{1+\cos\theta}{2} |\uparrow_{\hat{r}}\rangle\langle\uparrow_{\hat{r}}| + \frac{1-\cos\theta}{2} |\downarrow_{\hat{r}}\rangle\langle\downarrow_{\hat{r}}|. \quad (2.38)$$

如果你这个时候再来做一个归一化的话，任何一个单独的  $\rho(\theta, \phi)$  都是无穷小，也就是说，如果你用一个测量  $z$  方向的仪器做侧量，绝大多数情况下得不到任何信号。这一点我们从来都没有在实验上观察到过。

因此，除非有经典概率论之外的数学结构或者是让自旋了解实验者的意识，看起来，基于互斥事件构造起来的经典理论公式 (2.37) 不能描述量子系统的行为。还有没有其它的可能的经典理论呢？

## 独立构造

现在，我们来看看基于独立事件的公式 (2.32) 是否能够解释实验结果。按照经典概率论，对于两个独立变量  $x_1, x_2$  的联合分布函数  $\rho(x_1, x_2) = \rho^1(x_1)\rho^2(x_2)$ ，我们有

$$\begin{aligned}\langle A^1(x_1) \rangle &= \iint dx_1 dx_2 A^1(x_1) \rho(x_1, x_2) \\ &= \int dx_1 A^1(x_1) \rho^1(x_1) \int dx_2 \rho^2(x_2) \\ &= \int dx_1 A^1(x_1) \rho^1(x_1).\end{aligned}\quad (2.39)$$

用密度矩阵的语言，这个就是

$$\langle A^1 \rangle = \text{tr}^{1,2} (A^1 \otimes I^2 \rho^1 \otimes \rho^2) = \text{tr}^1 (A^1 \rho^1).\quad (2.40)$$

这里  $I^2$  是第二个变量所在的空间的单位矩阵， $\otimes$  表示矩阵或者是算符的直积。独立变量的联合分布保留了每一个变量自己的分布函数的所有的性质。于是，我们发现，公式 (2.32) 能够同时解释我们的两个不同方向上的实验结果。这个结果也是符合经典随机粒子的经验的。这里的  $z$  方向和  $x$  方向就好像是硬币的正反面和硬币的颜色一样是两个独立的变量。只要各自的分布函数满足各自的测量的结果的要求，那么整体来看必然是与所有的联合起来的实验结果一致的。

实际上，除了  $x$  方向和  $z$  方向，我们还需要考虑至少  $y$  方向，于是公式 (2.32) 应该成为如下的形式，

$$\rho_0^c = [|\uparrow_z\rangle\langle\uparrow_z|] \cdot \left[ \frac{1}{2} (|\uparrow_x\rangle\langle\uparrow_x| + |\downarrow_x\rangle\langle\downarrow_x|) \right] \cdot \left[ \frac{1}{2} (|\uparrow_y\rangle\langle\uparrow_y| + |\downarrow_y\rangle\langle\downarrow_y|) \right].\quad (2.41)$$

是不是还需要包含其它方向，例如任意的  $\hat{r}$  方向呢？答案是需要。上面的密度矩阵的隐含假设是物理量  $\sigma_x$ 、 $\sigma_y$ 、 $\sigma_z$  是独立的，于是测量例如  $\sigma_x$  的时候，

$$\langle \sigma_x \rangle = \text{tr} (\rho_0^c \sigma_x \otimes I^y \otimes I^z) = \text{tr} (\rho_0^{c,x} \sigma_x).\quad (2.42)$$

类似的，如果测量  $\sigma_y$  的话，

$$\langle \sigma_y \rangle = \text{tr} (\rho_0^c I^x \otimes \sigma_y \otimes I^z) = \text{tr} (\rho_0^{c,y} \sigma_y).\quad (2.43)$$

对于任意一个方向的 Stern-Galarch 装置的测量，我们需要做到单次测量必然是向上或者相下态的一个，多次测量得到两个斑点。于是，我们希望得到类似的，

$$\rho_0^{c,\hat{r}} = \left( \frac{1 + \cos \theta}{2} |\uparrow_{\hat{r}}\rangle\langle\uparrow_{\hat{r}}| + \frac{1 - \cos \theta}{2} |\downarrow_{\hat{r}}\rangle\langle\downarrow_{\hat{r}}| \right). \quad (2.44)$$

其中，概率  $\frac{1 \pm \cos \theta}{2}$  的选取是为了保证（这一点量子系统的实验是符合的）

$$\langle \sigma_{\hat{r}} \rangle = \sin \theta \cos \phi \langle \sigma_x \rangle + \sin \theta \sin \phi \langle \sigma_y \rangle + \cos \theta \langle \sigma_z \rangle = \cos \theta. \quad (2.45)$$

为了实现这个公式 (2.44)，我们不得不让

$$\rho_0^c = \prod_{\hat{r}} \rho_0^c(\theta, \phi), \quad (2.46)$$

其中，

$$\rho^c(\theta, \phi)_0 = \frac{1 + \cos \theta}{2} |\uparrow_{\hat{r}}\rangle\langle\uparrow_{\hat{r}}| + \frac{1 - \cos \theta}{2} |\downarrow_{\hat{r}}\rangle\langle\downarrow_{\hat{r}}|. \quad (2.47)$$

也就是说，我们把各个方向上的测量都看成是这个自旋的独立的属性。这样至少看起来对于所有的可能的测量就没有问题了。

现在我们来考虑让这个系统再经过一次测量，例如先过  $z$  方向挡住向下的部分，然后再过  $x$  方向挡住向下的部分，然后再让这部分的自旋经过所有的可能的  $\hat{r}$  方向的测量。按照经典概率论，对于一个变量的测量不改变其它独立变量的分布。做一个类比，考虑两个独立的随机硬币的状态，测量其中一个，另一个的状态的分布函数不会改变。于是我们猜测，经过第二次测量（先  $z$  后  $x$ ）以后的状态应该是，

$$\rho_1^c = \rho_0^c(z) \cdots \rho_0^c(\theta, \phi) \cdots \rho_1^c(x), \quad (2.48)$$

也就是说，其他的方向上都不变，但是  $x$  方向上成了新的形式，

$$\rho_1^c(x) = |\uparrow_x\rangle\langle\uparrow_x|. \quad (2.49)$$

这个时候，如果我们再来测量这个状态的  $x$  方向，结论是“只能得到向上”，符合实验结果。如果我们再来测量  $z$  方向，结论是“只能得到向上”，因为  $\rho_1^c(z) = \rho_0^c(z) |\uparrow_z\rangle\langle\uparrow_z|$ ，与实验结果不相符。于是，我们发现，这个时候，其实  $\rho_1^c(z) = \frac{1}{2} |\uparrow_z\rangle\langle\uparrow_z| + \frac{1}{2} |\downarrow_z\rangle\langle\downarrow_z| \neq \rho_0^c(z)$ 。也就是说，当测量  $x$  方向的时候，本来应该独立的  $z$  方向的随机变量的分布函数变了。同时其他的所有的  $\hat{r}$  方向的随机变量都要作相应的变化。

这个是什么样的独立变量的独立分布函数呀？测量“符合独立分布的独立变量”中的一个，其它的都会发生改变！测量后状态成了一个“神奇的世界”的代名词。测量后状态不再是经典概率论里面的图景：一个随机变量的测量后状态就是观测到的测量结果对应着的状态。我们被迫构造出一个这样的理论：一个系统的测量后状态不再是得到的观测值对应的状态，仅仅是一个这样的状态——它能够保证如果你再做一次任何方向上的测量，这个状态给出来的理论结果与实验结果相符。也就是说，在这个理论框架里面，测量以后系统是什么状态这个问题不是一个好问题，我们仅仅能够问：测量以后，如果我们再一次测量（同样的方向或者不同的方向），我们得到的结果是什么？当然，一个这样的理论也可以是一个可证伪的科学理论。可是，这样一个把测量后状态的图景都破坏的理论是什么样的一个理论呀？

我们之所以尝试构造一个能够解释量子系统的行为的经典理论，是因为我们觉得经典理论，包含确定性的和随机性的经典理论，是一个我们能够理解的，觉得舒服的理论。可是，如果这个理论需要我们放弃经典理论中的那些能够理解的部分，例如状态是客观的，与观测者的意识没有关系，测量后状态就是简单地测量结果对应的状态，我们为什么还一定要追寻一个量子系统的经典理论呢？

**作业 2.1** 阅读 W.I.B. Beveridge 的《科学研究的艺术》（《The Art of Scientific Investigation》），写下阅读体会。

**作业 2.2** 阅读 Gowers T. 的《数学-牛津通识读本》（《Mathematics: A Very Short Introduction》），写下阅读体会。

**作业 2.3** 阅读 R. Feynman 的《物理定律的特性》（《The Character of Physical Law》），写下阅读体会。

**作业 2.4** 阅读 M.J. Adler 和 C.Van Doren 的《如何读一本书》（《How To Read A Book》），写下阅读体会。

**作业 2.5** 阅读 A. Einstein 和 L. Infeld 的《物理学的进化》（《The Evolution of Physics: The Growth of Ideas From Early Concepts to Relativity and Quanta》），写下阅读体会。

**作业 2.6** 阅读 S. Young 的《怎样学得少却考得好》（《Learn More, Study Less》），写下阅读体会。

**作业 2.7** 阅读吴金闪的《教的更少，学的更多——概念地图学习和教学方法》，写下阅读体会。本书仅提供量子力学核心概念里面的核心概念，主要是启发读者的思考，以及给读者准备进一步学习的基础的。按照这个设计，本书把大量的内容都放在了读者的自学上面，提供了相应的参考书和论文。因此，学会看书、学会思考，在这里非常重要。

**作业 2.8** 通过 Google 和 Wikipedia 来了解和学习以下的一个主题，写一份学习报告：随机数生成器、博弈论、Monte Carlo 模拟、量子远程传态、量子多世界解释、量子力学的其它解释。学会自己寻找材料来学习，甚至自己寻找主题来学习，是研究性学习非常重要的一步。本书在很多地方匆匆而过，当然也在很多地方非常深入，需要你自己学习的地方非常多。Google 和 Wikipedia 是好朋友。

## 2.5 本章小结

在本章里面，我们企图给自旋的状态都在一个经典的数学模型——所谓经典的就是遵循经典概率论的随机的或者确定性的，这个数学模型需要对各个方向的 Stern-Galarch 装置的测量给出正确的结果。首先我们发现确定性的经典理论的问题归结为随机性的经典理论的问题：第一、量子系统的形式上的确定性的理论是不可能的；第二、本质上确定性的经典理论是由于信息不完全导致的经典随机理论。然后，我们讨论了量子系统的经典随机理论的可能性。我们发现，如果考虑某一个方向的测量，那么硬币的数学模型，就能够很好地描述量子系统。但是，当量子系统面对再次测量的时候，尤其是再一次测量的方向和本次测量的方向不一样的时候，硬币的数学模型就不能用了。

为了这个目的，我们构造了拓展了的硬币的经典理论，把各个方向的状态看作互斥事件或者是独立事件。我们发现基于互斥事件的构造会得到大多数时候测量的结果是得不到信号的结论，除非我们允许自旋了解实验者的意识，而这个结论与实验结果不相符。对于基于独立事件的构造，考虑再再次测量以后，我们发现，测量后状态与测量前状态之间存在非常复杂的关系，这个关系绝对不遵循经典概率论独立变量的独立分布函数的测量前后状态之间的关系。

于是，我们初步得到结论：经典理论看起来基本上不能解释量子系统的行为。那么，还有没有其它的除了互斥构造和独立构造之外的可能的经典理

论呢？当然可以有。但是，这样的理论就相当于假设这个物理世界的各个方向其实是有差别的。这一点，基本上是不可以接受的。另外，Bell 不等式提供了另外一个检验量子系统的经典理论的可能性的方式：证明一个所有的一定条件下的经典理论都必须满足的结论，然后检验量子系统的行为是否满足这个条件。在第十一章我们会来讨论这个另外的方式。我们认为，这两种方式是互补的。

量子力学是量子系统的行为的数学模型。我们到时候也需要来看一看是否这个理论保留了状态的客观性，保留了测量后状态与测量前状态的简单的联系，来看一看是否量子系统需要了解实验者的意识。我们的目标是建立一个尽量保持经典随机理论，甚至经典确定性理论，的各种数学结构和简单的图景。具体来说，这些书学结构和简单图景包含：状态的数学描述是什么，可观测量的数学描述是什么，测量的结果（单次测量和多次平均）是什么，测量以后的状态是什么，状态如何演化。



## 第二部分

### 数学物理学上的准备



## 第三章 二维空间的线性代数： Dirac 符号、抽象算符与表象

为了学习量子系统的数学模型，我们需要一点点数学上的准备。这里，数学上的准备分成两个层次，计算上和理解上的。在本章中，我们会把计算上的数学内容控制在非常简单的二维矩阵和二维矢量的运算上。但是，对于这些矩阵和矢量的理解要比通常的线性代数高很多，需要接触到一点点近世代数的内容。当然，我们会企图把整个概念上比较复杂的部分都尽量地通过二维空间的形式来表达和讨论。

另一方面，在本章中，我们会讨论数学和物理学，数学和科学的关系，以及在理解这个关系的基础上如何学习数学。

这一部分的推荐阅读材料是《物理学的进化(The Evolution of Physics)》、Feynman 的《物理定律的本性(Characters of Physical Law)》、《科学研究的艺术(The Art of Scientific Investigation)》、《数学是什么(Mathematics: A Very Short Introduction)》、《线性代数应该这样学(Linear Algebra Done Right)》。前四本是关于什么是物理学和什么是科学，以及科学和数学之间的关系。后一本是线性代数方面的具体知识的。其主要关注点在于线性空间的矢量和算符，和本书的思路类似，跟大多数线性代数的书不一样，值得推荐。学有余力的还可以参考喀兴林《高等量子力学》的第一章。

### 3.1 数学是现实世界的结构和思维的语言

数学本质上是对事物之间的联系的描述。事物通常用集合以及集合里面的元素来描述。而元素之间的关系，有的时候也称作结构，则通过映射来描述。把数学理解成结构的语言，而不仅仅是一堆运算规则，对于创造和使用数学是非常有意义的。例如，我们从小就会计算“ $1 + 1 = 2$ ”，“一个苹果

加上一个苹果等于两个苹果”。看起来，我们是在做“苹果的加法”。我们来仔细看一看，我们在计算什么东西的加法。定义一个集合的苹果  $P$ ，为简单计，我们假设总数是有限个，但是是一个很大的数。所谓映射，就是把一个集合中的元素与另外一个集合中的元素联系起来。现在，我们猜测，“一个苹果加上一个苹果等于两个苹果”，是集合  $P \otimes P$  到  $P$  的映射（需要两个来自于  $P$  的元素，得到一个  $P$  里面的元素）。真的是这样吗？我们得到的结果，也就是“两个苹果”，是集合  $P$  中的元素吗？注意，集合  $P$  的元素是一个又一个的苹果，尽管颜色大小酸甜等都可以不一样，甚至有一个特大的苹果可以等于两个其中的小的苹果那么大，但是，两个苹果绝对不是集合  $P$  中的元素。也就是说，我们实际上，不是在计算苹果的加法。

实际上，我们计算的是苹果的数量的加法。从集合  $P$  开始，构造一个  $P$  的所有子集的集合——幂集  $\mathcal{T} = \{Q | Q \subseteq P\}$ 。这个时候我们发现，取  $\mathcal{T}$  中的元素  $t_1$  和  $t_2$ ，如果  $t_1 \cap t_2 = \phi$ ，也就是不相交没有共同的元素，则  $t = t_1 \cup t_2$  必然是  $\mathcal{T}$  中的元素，也就是  $t \in \mathcal{T}$ ，并且，如果定义集合的大小，也就是集合中元素的个数， $|t|$ ，我们发现

$$|t| = |t_1| + |t_2|. \quad (3.1)$$

这个才是我们计算的加法。也就是说，加法是定义在苹果集合  $P$  的幂集上的计算，并且只考虑集合大小这个特性。或者说，苹果的加法实际上在计算苹果集合  $P$  的子集的并的运算，并且要求用来计算的子集没有交集。简答地说，“苹果的加法”是“集合的并运算”，而不是直接在苹果集合上的运算——我们不能把两个苹果相加得到另一个苹果。

通过上面这个例子，我们看到，第一，集合和映射的语言可以把问题说清楚；第二，苹果之间不存在直接的加法，通常的加法实际上是集合的并运算；第三，数学是描述事物之间关系的语言。例如可能在其它的集合上其元素之间存在着加法，而这个时候，这样的加法的含义和这里的苹果之间的加法是不一样的。关于数学的这个理解——数学是对事物的关系的描述（事物就是集合，关系就是映射）[?]，对于我们后来的学习是非常重要的。

在这里，为了强调数学是对事物之间的关系和结构的描述，我们再来讨论另外一个例子：矢量加法。中学物理我们就学习过矢量的叠加和分解。我们知道位移、速度、加速度和力是矢量。现在，我们来思考一下，为什么我们需要矢量这个数学对象来描述位移、速度、加速度和力这些物理概念，同时我们也思考一下这个问题：位置是不是矢量。首先，在运动问题中，我们注意到运动物体不仅有速度的大小，还有速度的方向。在某些力的作用下，

速度的方向可以发生改变，例如拉着一根绳子转一个小球。而且，跟进一步，速度的大小和方向的改变，和力的大小和方向有联系。于是，我们就发现，需要强度和方向两个变量来描述位移、速度、加速度和力这些物理量。我们暂时称这样的一个东西为“矢量”，将来我们看一看它是不是真的是满足矢量运算——例如矢量加法——的矢量。这个“矢量”暂时记作  $(r, \theta)$ 。其中前者表示强度，后者表示方向——实际上可以是多个变量，例如用多个角度来表示 3 维空间的矢量。那下一步，就是看这样的数学对象的集合上面可以定义什么操作。以位移“矢量”为例，我们可以把前后两个的位移合起来讨论合起来的位移。以力“矢量”为例，我们可以讨论同时作用在一个物体上的两个力的效果，看其是否等于这两个力各自的效果的叠加。经过物理学的观察和实验，我们发现，前后两个时间段的位移合起来确实还是位移，同时作用在物体上的两个力的效果可以看成是一个合力的效果，而这个合成遵循平行四边形法则——也就是矢量的各个方向上的分量可以相互加起来，但是，不是上面的两个坐标  $r$  和  $\theta$  的值直接加起来。这个“矢量”的分量形式加起来的操作，以后我们会看到，正好就是矢量空间的矢量的加法。因此，矢量就成了位移、速度、加速度和力这些物理量的数学模型。

现在，我们来讨论第二个问题：位置是不是矢量。给定一个位置，给定一个新的位置，我们能够通过一个自然——也就是和某种我们所感兴趣的物理过程直接相关——的运算，得到一个新的位置吗？例如一个处于平面上  $(x_p, y_p)$  位置的点，和一个处于平面上  $(x_q, y_q)$  位置的点，用某种方式加起来，会给我们一个处于例如平面上某个  $(x, y)$  点吗？至少，在考虑物体运动的范围内，我们完全没有对应着这种运算的物理过程。回到前面的苹果集合上加法的例子——加法实际上不是定义在苹果上，而是苹果集合的幂集，而且仅考虑幂集元素（也就是原始苹果集合的子集）的大小，现在我们发现位置这个集合上的加法运算也不是定义在位置集合上的，而是定义在位移集合上的。位置确实也可以看作是由  $(r, \theta)$  所描述的“矢量”，但是其不存在自然的加法操作。

物理学家，或者更一般地说，科学家（甚至数学家），学习数学，要注意思考数学概念提出的动机、数学概念的实例、数学定理在物理或者现实中的含义。我们的目的是创造性地使用数学结构和创造数学结构。对于这个目的，了解数学结构提出的动机和一些实例是很有好处的。

## 3.2 从分量形式的矢量和矩阵到抽象矢量和算符， Dirac 记号

我们先来复习一下实数作为元素的线性代数，然后学习 Dirac 记号，接着用 Dirac 记号来学习复数作为元素的线性代数。

### 3.2.1 实数域上的分量形式的矩阵和矢量，复习

通常的线性代数课程定义矩阵就是一个由数字——通常是实数——排成  $M$  行  $N$  列的方块。对于这个方块，我们可以计算行列式，我们可以定义这个方块之间的乘法、加法和数乘。方块和列向量之间的乘法是方块和方块之间乘法的一个特例。这里我们重复一下这种方块形式的元算的定义。对于数字方块  $A = (A_{ij})_{M \times N}$  和  $B = (B_{ij})_{N \times L}$ ，我们定义其乘法得到的方块为：

$$(AB)_{ij} = \sum_{k=1}^N A_{ik} B_{kj}. \quad (3.2)$$

如果要计算乘法必须要求左边矩阵的列数等于右边矩阵的行数。而且，通过这个定义我们就看到，一对能够做  $AB$  乘积的矩阵不一定能够做  $BA$  乘积。所以，一般地来说，矩阵乘法是不可交换的，甚至当两个矩阵都是同样维数的方阵的时候。为了描述这种不可交换的关系，我们有对易子的定义，

$$[A, B] = AB - BA. \quad (3.3)$$

$[A, B]$  称为矩阵  $A$  和  $B$  的对易子。如果要计算矩阵加法，那么这两个矩阵必须有同样的行数和列数，

$$(A + B)_{ij} = A_{ij} + B_{ij}. \quad (3.4)$$

数乘的定义非常简单，一个矩阵  $A$  和一个实数  $a$  的乘积定义如下，

$$(aA)_{ij} = aA_{ij}. \quad (3.5)$$

基本的定义仅包含乘法、加法和数乘。如果这部分不是复习，那么，请回去先学习线性代数再来学习这门课程，或者继续如果你认为你已经准备好了接受挑战，本书的内容也是自足的。

由于在以后我们的讨论中我们基本上只关心方阵，所以，在不加说明的时候，以下的部分说到矩阵的时候就是指  $N \times N$  的方阵。相应的，在提

到矢量的时候,一般指的是  $N$  个实数排成一列的列向量。有的时候,我们也用左矢量,或者行向量的语言。它们就是  $N$  个数字排成一行的那个东西。对于一个行向量来说,其维数是  $1 \times N$ ,所以只能乘在一个  $N \times N$  矩阵的左边。这就是为什么它还被叫做左向量。同样的原因,列向量有的时候也被称作右矢量。

两个右矢量可以讨论它们的点积和方向夹角。例如点积的定义如下,

$$(u, v) = \sum_j u_j v_j \triangleq u^T v. \quad (3.6)$$

这个一个矢量的转置的定义就是把一个列矢量的元素按顺序排成一个行向量,或者反过来。这个转置也可以定义在矩阵上,

$$(A^T)_{ij} = A_{ji}. \quad (3.7)$$

可以证明  $(AB)^T = B^T A^T$ , 而一个数,也就是  $1 \times 1$  的矩阵的转置就是它自己。如果两个矢量的内积为零,则我们称这两个矢量相互正交。一组两两相互正交的矢量可以用来作为这个空间的基矢。

在我们后面的计算中,我们偶尔会用到矩阵的行列式。这里我们仅仅给出  $2 \times 2$  矩阵的行列式的定义,

$$\det \begin{bmatrix} A_{11} & A_{12} \\ A_{21} & A_{22} \end{bmatrix} = A_{11}A_{22} - A_{12}A_{21}. \quad (3.8)$$

这一节,我们复习了矩阵(包含矩阵的特例——行矢量和列向量)的乘法、加法、数乘、转置的定义,以及右矢量的内积,还有  $2 \times 2$  方阵的行列式。

### 3.2.2 Dirac 符号

在线性代数的课程里面,我们通常把一个形如  $\begin{bmatrix} a \\ b \\ c \end{bmatrix}$  的列向量称为矢量。在多元微积分或者矢量微积分里面,我们也常常把一个位置矢量写作  $\vec{r} = \begin{bmatrix} x \\ y \\ z \end{bmatrix}$ , 然后我们说  $x$  是这个矢量  $\vec{r}$  的  $x$  方向上的分量。有的时候,我们也把这个关系写作,

$$\vec{r} = x\hat{i} + y\hat{j} + z\hat{k}. \quad (3.9)$$

在后面的表达式里面， $\hat{i}$ 、 $\hat{j}$ 、 $\hat{k}$  是矢量， $x$ 、 $y$ 、 $z$  是数， $x\hat{i}$  表示一个数乘。这

这个时候，理解上是有所不一样的： $\begin{bmatrix} x \\ y \\ z \end{bmatrix}$  不再是矢量，而是  $r$  这个矢量在

$\{\hat{i}, \hat{j}, \hat{k}\}$  这三个矢量构成的基矢下的分量。在这样一个理解下，很自然地我们就可以讨论，如果存在另外一套不一样的基矢  $\{\hat{e}_1, \hat{e}_2, \hat{e}_3\}$ ，那么我们自然可以通过代入  $\hat{i}$ （同时也需要  $\hat{j}, \hat{k}$ ）在新的基矢  $\{\hat{e}_1, \hat{e}_2, \hat{e}_3\}$  下的表达式，从而得到矢量  $r$  在新的基矢下的分量形式。这样，我们自然就完成了基矢转换的过程。

我们说这样的一个对矢量的理解是非常重要的： $\begin{bmatrix} x \\ y \\ z \end{bmatrix}$  不再是矢量，

$x\hat{i} + y\hat{j} + z\hat{k}$  才是矢量。为了节省空间，以后我们把列矢量写作行矢量的转置，例如  $[x, y, z]^T$ 。 $[x, y, z]^T$  仅仅是抽象矢量  $r$  在某一套基矢——这里是  $\{\hat{i}, \hat{j}, \hat{k}\}$ ——下的分量形式。在这里，“抽象”的含义是，我们不能写出它的一般表达式，我们也想象不出来，除非给我们一组基矢。也就是说，更一般地来说， $\hat{i}$  以及  $\hat{j}, \hat{k}$  的含义可以是位置矢量、速度矢量、力矢量之余的更一般的矢量。例如，函数可以看作矢量，在那里，一定条件下三角函数可以看作基矢。这就是 Fourier 级数和 Fourier 变换背后的数学结构。

为了在一般的矢量空间，而不仅仅是三维实空间矢量，做这个分量形式和抽象矢量的区分，我们引入 Dirac 记号。我们把上面的表达式写成，

$$|r\rangle = x|i\rangle + y|j\rangle + z|k\rangle, \quad (3.10)$$

也就是把所有的带着矢量符号的东西都用半个括号（叫做 ket，右括号）来代替。类似的，行向量  $[x, y, z]^T$  就可以记为

$$\langle r| = x\langle i| + y\langle j| + z\langle k|. \quad (3.11)$$

其中  $\langle r|$  被称为左矢量（bra，左括号）。在这里，转置是一个从右矢量到左矢量的线性映射。具体  $\langle i|$  等的含义是什么，我们一会儿会回来讨论。在这里，我们仅仅就是换了一套记号。将来，我们会发现这套记号有额外的好处，但是目前阶段，就是使得我们的表达式写起来更复杂一点。为了让大家早点熟悉这个记号，下面所有的讨论，我们都将采用 Dirac 符号。

利用 Dirac 符号的左矢和右矢，我们可以把公式 (3.6) 中的点积改写成，

$$(u, v) = u^T v = \langle u | v \rangle. \quad (3.12)$$



同样的, 当这个点积为零的时候, 我们称矢量  $|u\rangle$  和  $|v\rangle$  相互正交。

### 3.2.3 矩阵的谱展开, Dirac 记号与抽象矢量

我们假设我们的读者从线性代数已经学到了本征值和本征向量的计算。一个矩阵  $A$  的右本征向量  $v$  的定义是满足下面这个表达式的非零向量,

$$Av = \lambda v \iff A|v\rangle = \lambda|v\rangle. \quad (3.13)$$

这个方程也可以被写作

$$(A - \lambda)v = 0 \iff (A - \lambda)|v\rangle = 0. \quad (3.14)$$

于是, 这个方程有非零解的条件是

$$\det(A - \lambda I) = 0. \quad (3.15)$$

这里  $I$  表示对角的而且对角元素都是 1 的单位矩阵。我们假设我们的读者能够计算任意一个对称的元素为实数的  $2 \times 2$  的矩阵的本征值和本征向量。

这一节我们从本征矢量开始证明一个关于矩阵本征矢量的最重要的定理。下一节, 我们会讨论矩阵和左矢量的抽象含义。再一次强调, 我们的计算都很简单, 但是我们寻求的对于概念的理解是不简单的。

假设我们已经得到了一个实对称  $2 \times 2$  矩阵  $A$  的本征值  $\alpha$  和本征向量  $|\alpha\rangle$ , 我们知道, 这样的本征值  $\alpha$  最多就两个, 因为相应的行列式的方程是二阶的, 最多有两个根。我们要证明的是当两个根不一样的时候, 相应的两个本征矢量相互正交。很容易就能证明, 当两个根一样的时候, 这个矩阵  $A$  就是单位矩阵的常数倍,  $A = \alpha I$  (一种证明的方法是把二维实对称矩阵的本征值方程  $\begin{vmatrix} A_{11} - \lambda & A_{12} \\ A_{21} & A_{22} - \lambda \end{vmatrix} = 0$  写下来, 得到一元二次方程, 然后让这个一元二次方程的判别式  $\Delta = 0$ 。我们就会发现, 这个时候必须满足  $A_{11} = A_{22}$  而且  $A_{12} = 0 = A_{21}$ )。对于这个特殊情况, 我们只能得到一个重根本征值, 本征向量的计算也会有点小问题 (任意二维矢量都是这个矩阵的本征向量)。我们把这种特殊情况叫做简并本征值。为了以后使用方便, 这个时候本征向量的通常的选择方法是选择任意两个相互正交的矢量。现在, 我们证明这个重要的定理。

**定理 3.1** 实对称矩阵  $A^T = A$  的不同本征值对应的本征向量相互正交。

假设  $N$  维实对称矩阵  $A, A^T = A$ , 的本征值集合为  $\{\alpha_j\}$ , 相应的本征向量集合为  $\{|\alpha_j\rangle\}$ 。对于这个集中的任何一个元素  $|\alpha_j\rangle$ , 我们有  $A|\alpha_j\rangle = \alpha_j|\alpha_j\rangle$ 。于是,

$$\begin{aligned}\alpha_j \langle \alpha_i | \alpha_j \rangle &= \langle \alpha_i | A | \alpha_j \rangle = (\langle \alpha_j | A^T | \alpha_i \rangle)^T \\ &= (\langle \alpha_j | A | \alpha_i \rangle)^T = (\alpha_i \langle \alpha_j | \alpha_i \rangle)^T = \alpha_i \langle \alpha_i | \alpha_j \rangle \\ &\implies (\alpha_i - \alpha_j) \langle \alpha_i | \alpha_j \rangle = 0.\end{aligned}\quad (3.16)$$

因此, 要么  $\alpha_i = \alpha_j$ , 要么  $\langle \alpha_i | \alpha_j \rangle = 0$  也就是  $|\alpha_i\rangle$  和  $|\alpha_j\rangle$  两个矢量正交。

其实, 我们还可以证明实对称矩阵的本征值必然是实数, 不会是复数。不过, 这个留到我们介绍复数域上的矩阵的时候再来证明。有了本征矢量的正交性, 对于我们的下一步讨论就够用了。

在以上的证明过程中, 我们用到了转置的性质,  $(\langle \alpha_i | A | \alpha_j \rangle)^T = \langle \alpha_j | A^T | \alpha_i \rangle$ 。严格说来, 这一条是需要我们先证明的。我们能够这么做是因为在通常的线性代数中  $(u^T A v)^T = v^T A^T u$ 。实际上, 这个逻辑是不完全正确的。既然我们希望建立抽象矢量而不是分量形式的矢量的概念, 那么, 分量形式的矢量和矩阵的公式就不应该在这里使用。然而, 如果我们真的要从头开始建立抽象矢量的概念, 我们需要花很大的精力, 从矢量和矢量空间的抽象定义开始。这当然也是可行的, 但是一般来说会等到更高级的量子力学和代数的课程里面。在这里, 我们的目的和思路比较简单, 我们希望读者学习完了这个部分之后从概念上懂得抽象矢量和分量形式的区别, 但是也要看见以前所学的分量形式的计算都是对的, 而且明白为什么是对的。所以, 有的时候我们通过分量形式的公式来猜测抽象形式的公式的形式是没有问题的。如果真的希望采用严格的证明, 我们需要先定义矢量(右矢量)空间和对偶矢量(左矢量)空间, 以及把矢量空间上的算符对应到对偶矢量空间上的算符。

对于任意一个非零矢量  $|u\rangle$ , 我们总是可以做一个归一化,  $|\tilde{u}\rangle = \frac{|u\rangle}{\sqrt{\langle u | u \rangle}}$ , 于是  $\langle \tilde{u} | \tilde{u} \rangle = 1$ 。从现在开始, 我们把本征矢量就看做既相互正交又自己归一的一个矢量集合。有了这个矢量集合, 我们来探讨把这个集合作为基矢, 我们如何来表达其他的矢量。对于本征值出现多重根, 也就是简并的情况, 我们假设已经通过某种方式选择了两个相互正交的矢量来作为基矢。所以, 以后我们不再区分是否出现多重根。也就是说, 通过求解某个矩阵本征值和本征向量的方法, 我们已经得到了一组  $N$  个正交归一的矢量,  $N$  就是矩阵所在的矢量空间的维数。这样的一组矢量的集合也被称为完备的正交归一

基矢, 其中的矢量的两两之间的内积满足

$$\langle \beta | \alpha \rangle = \delta_{\alpha\beta}. \quad (3.17)$$

其中的  $\delta_{\alpha\beta}$  是 Kronecker  $\delta$  记号,

$$\delta_{\alpha\beta} = \begin{cases} 1 & \text{if } \alpha = \beta \\ 0 & \text{otherwise} \end{cases}. \quad (3.18)$$

我们从这里开始。

**定理 3.2** 给定一组完备的正交归一基矢的  $\{|\alpha\rangle\}$ , 矢量空间中的任意矢量  $|u\rangle$  可以按照如下方式展开,

$$|u\rangle = \sum_{\alpha} u_{\alpha} |\alpha\rangle, \quad (3.19)$$

而且,

$$u_{\alpha} = \langle \alpha | u \rangle. \quad (3.20)$$

证明非常简单, 第一部分,  $|u\rangle$  是这个  $N$  维空间中的一个矢量,  $\{|\alpha\rangle\}$  是相互正交的, 也就是线性无关的  $N$  个矢量, 于是必然这个  $N+1$  个矢量不可能线性无关。所以有了第一个表达式。然后, 我们把这个表达式的两边与矢量  $|\beta\rangle$  做内积, 于是

$$\langle \beta | u \rangle = \langle \beta | \sum_{\alpha} u_{\alpha} |\alpha\rangle = \sum_{\alpha} u_{\alpha} \langle \beta | \alpha \rangle = \sum_{\alpha} u_{\alpha} \delta_{\alpha\beta} = u_{\beta}. \quad (3.21)$$

有了这个定理, 我们来看一下, 左矢量的作用。左矢量  $\langle \alpha |$  的第一个作用是把一个矢量  $|u\rangle$  对应的在  $|\alpha\rangle$  上的分量  $u_{\alpha}$  取出来。它把一个矢量映射成为一个数。特别地, 当我们的  $|u\rangle = |\alpha\rangle$  的时候, 得到的数是 1。从这个意义上说, 左矢量  $\langle \alpha |$  就好像是右矢量  $|\alpha\rangle$  的一个镜像。左矢量的这两条性质: 从矢量空间到数的映射, 右矢量的镜像, 是非常重要的性质。以后, 我们经常会利用这两条性质来理解其它的数学对象。

现在, 我们就用这个理解来看看矩阵到底是什么。考虑一个有两个正交归一基矢这样构成的对象  $M_{\alpha\beta} = |\alpha\rangle \langle \beta |$ 。我们来看看  $M_{\alpha\beta}$  作用到任意一个矢量上得到什么。

$$M_{\alpha\beta} |u\rangle = |\alpha\rangle \langle \beta | \sum_j u_j |j\rangle = u_{\beta} |\alpha\rangle. \quad (3.22)$$

这个结果的含义是  $M_{\alpha\beta}$  把一个矢量  $|u\rangle$  的  $\beta$  分量  $u_\beta$  单独拿出来，然后把这个分量转动了一个方向作为  $\alpha$  方向上的分量。也就是说， $M_{\alpha\beta}$  是一个把右矢量变成另一个右矢量的映射，而且这个映射看起来像是转动，或者更严格一点说，转动的一部分。这样的一个把右矢量变成另一个右矢量的映射，叫做算符。

接着，我们来看一下这样一个算符是什么： $\hat{A} = \sum_{\alpha,\beta} A_{\alpha\beta} |\alpha\rangle \langle\beta|$ 。其中  $A_{\alpha\beta}$  是实数。这个对象就是相当于一堆  $|\alpha\rangle \langle\beta|$  的线性组合，也就是把好多个  $|\alpha\rangle \langle\beta|$  加起来。自然，它还是一个把右矢量变成另一个右矢量的映射，而且是“转动”。

$$\hat{A}|u\rangle = \sum_{\alpha,\beta} A_{\alpha\beta} |\alpha\rangle \langle\beta| \sum_j u_j |j\rangle = \sum_{\alpha,\beta} A_{\alpha\beta} u_\beta |\alpha\rangle, \quad (3.23)$$

也就是说，

$$(\hat{A}u)_\alpha = \sum_\beta A_{\alpha\beta} u_\beta. \quad (3.24)$$

这个正好就是矩阵与矢量的乘法的定义，如果记  $v = Au$ ，则  $v_\alpha = \sum_\beta A_{\alpha\beta} u_\beta$ 。从这里，我们看到，所谓矩阵就是这个算符  $\hat{A}$  的在完备正交归一基矢集合  $\{|\alpha\rangle\}$  下展开的系数。于是，我们把  $|\alpha\rangle \langle\beta|$  看作算符，然后把  $A_{\alpha\beta}$  看作这些算符相互叠加起来的系数，记作

$$\hat{A} = \sum_{\alpha,\beta} A_{\alpha\beta} |\alpha\rangle \langle\beta|. \quad (3.25)$$

就好像我们不再把  $[x, y, z]^T$  看作矢量，而是看做矢量  $|r\rangle$  在某套基矢下的分量一样，我们不再把矩阵  $(A_{ij})_{N \times N}$  看作一个矩阵算符，而是看作算符  $\hat{A}$  在某套基矢下的分量形式。特别地，我们来看一看单位矩阵，或者说不变算符  $\hat{I}$  的展开形式，

$$(\hat{I}u)_\alpha = u_\alpha \implies I_{\alpha\beta} = \delta_{\alpha\beta}, \quad (3.26)$$

于是

$$\hat{I} = \sum_{\alpha,\beta} \delta_{\alpha\beta} |\alpha\rangle \langle\beta| = \sum_\alpha |\alpha\rangle \langle\alpha|. \quad (3.27)$$

最后这个表达式非常重要，有一个专门的名字，叫做完全性关系。

把抽象的矢量和矩阵算符与排成一列的数字和排成一个方块的数字之间的区别开来，是我们这一节最重要的目标。我们是通过运用 Dirac 符号和

左矢量来达到这个目的的。没有 Dirac 符号和左矢量的帮助，我们很难说清楚两者之间的区别和联系。同时，我们学习了谱展开的一些关键概念：是对称矩阵的不同本征值对应的本征向量相互正交，通过对于简并本征值的特殊处理之后可以构成完备的正交归一基矢。利用这组基矢以及这组基矢的完全性关系，我们可以得到各个抽象矢量和抽象算符在分量形式。在得到分量形式之后，以前在线性代数课程中学到过的所有的运算都是正确的有效的。也就是说，在这个意义——线性代数的矢量和矩阵是抽象矢量和算符在某一套给定的基矢下的分量形式——上，认为列矢量是矢量，一个方块的数字是矩阵，没有问题。

没有抽象矢量记号之前，矢量的定义是从坐标变换下的分量的变换形式定义的，说坐标变换下分量不变叫做标量，分量如何变化的叫作矢量，如何如何变化的叫做张量。这当然，也是正确的定义。但是，就好像你识别出一个朋友的脸，你肯定不是通过他/她的脸如何变化来识别的，而是通过某些内在特征来识别的。有了这个记号，我们终于可以说：矢量在坐标变换下是不变的，标量和张量在坐标变换下也是不变的，改变的仅仅是分量形式。这个抽象矢量记号对于我们后面的内容非常重要，所有的矢量将来都会写成这个抽象形式。只有这样，我们认为，才能够形成足够深刻的认识：**矢量不是数**，数仅仅是矢量在某坐标系下的分量形式。

因此，这个部分的学习目的不是学到新的计算，而是学到新的理解。这个不是很容易。请试着不依赖于任何一套基矢给我一个矢量。如果你觉得左矢量不太好直观想象，给例子，那么，右矢量其实同样不太好直观想象，给例子，矩阵也一样。

### 3.3 复数域上的抽象矢量与抽象矩阵算符

前面，我们讨论了实数域上的矢量和矩阵的加法、乘法、数乘、点积、转置、本征值和本征向量、抽象形式与分量形式的关系，现在我们来平行地讨论复数域上的矢量和矩阵的加法、乘法、数乘、点积、转置、本征值和本征向量、抽象形式与分量形式的关系。同样地，我们先学会计算，这个简单的任务，然后来讨论对于这些计算的理解。

### 3.3.1 复数域上的矩阵和矢量运算

加法、乘法、数乘的定义完全一样。我们仅给出不一样的点积的定义。这个时候通常称为内积。两个复数域上的列矢量，这个时候是分量形式的， $u$  和  $v$  的内积定义为

$$(v, \mu) = v^\dagger \mu = \sum_j v_j^* \mu_j, \quad (3.28)$$

其中  $v^\dagger$  称为  $v$  的 Hermitian 共轭。其一般的定义是，

$$(A^\dagger)_{ij} = A_{ji}^*. \quad (3.29)$$

这个操作与实数域上的转置操作略有区别，可以写做，

$$A^\dagger = (A^*)^T. \quad (3.30)$$

这些都是分量形式的定义。我们只能够在给定基矢集合以后做这样的运算。下面，我们讨论抽象的定义。当然，我们的做法还是建立分量形式和抽象形式之间的联系，而不是真正的直接讲授抽象矢量。后者，对于学习更复杂的对象是有必要的，但是我们仅仅关系二能级体系上的量子力学，懂得抽象矢量的存在及其与分量形式的联系就够了。

### 3.3.2 复数域上的左矢量的分量形式的定义

在实数域上，左矢量的分量形式很好定义，就是把右矢量的分量形式——那个列向量，横过来变成行向量就行了。现在，复数域上的矢量内积的定义比实数域上的定义多了一个共轭操作，于是右矢量和左矢量的关系稍微的复杂了一点点，但是左矢量是把右矢量到数的映射，左矢量是右矢量的一个镜像，这个是不变的。我们希望保持下面这个表达式，

$$(v, \mu) \triangleq \langle v | \mu \rangle. \quad (3.31)$$

我们还希望保持

$$\hat{I} = \sum_\alpha |\alpha\rangle \langle \alpha|. \quad (3.32)$$

其中  $\{|\alpha\rangle\}$  是某一套完备正交归一的基矢。如果这样的一套基矢还能够与某个算符的本征矢量相互联系起来，就更好了。这些就是我们的目标，然后我们来看看，我们的左矢量应该如何定义。

我们定义其分量形式为，把同样基矢下的右矢量所对应的分量形式的列向量，横过来，然后给每一个元素做一下复共轭，也就是如果

$$|v\rangle \Rightarrow [v_1, v_2, \dots]^T, \quad (3.33)$$

则

$$\langle v| \Rightarrow [v_1^*, v_2^*, \dots]. \quad (3.34)$$

这个定义有一个后果，

$$|av\rangle = a|v\rangle, \quad (3.35)$$

则

$$\langle av| = a^* \langle v|. \quad (3.36)$$

这里， $a$  是一个复数。这一点和实数域上的情况略有不同，那里  $\langle av| = a \langle v|$ ，因为  $a^* = a$ 。也就是说，在实数域上左矢量和右矢量形式上完全相同就是一个是行矢量一个是列矢量，但是在复数域上，其数字的值也不一样。为什么会这样定义呢？

我们试着用这个行向量（左矢量） $[v_1^*, v_2^*, \dots]$  跟列向量（右矢量） $[\mu_1, \mu_2, \dots]^T$  做一个相乘，我们就发现，刚好我们得到了公式 (3.28) 中定义的结果，也就是说，公式 (3.31) 得到了满足。所以，复数域上的内积的定义，以及保持分量形式的行列矢量相乘的运算与内积一致的要求，使得我们选择了这个左矢量的定义。

这个行矢量和列矢量之间的关系，就好像实数域上的转置，在复数域上被称为复共轭，或者 Hermitian 共轭，记为

$$(|v\rangle)^\dagger = \langle v|. \quad (3.37)$$

正如转置可以定义在矩阵上，Hermitian 共轭也可以定义到矩阵上，分量形式的定义就是公式 (3.29)。其实，有了矢量的抽象的 Hermitian 共轭的定义之后，利用矩阵和矢量之间的关系，我们就能够来定义矩阵的抽象的 Hermitian 共轭的定义。

### 3.3.3 复数域上抽象算符的谱展开

现在，我们会过头来讨论复数域上的抽象左右矢量和算符。让我们假设抽象矢量的定义和它的 Hermitian 共轭的定义是明确的。实际上，我们是

通过分量形式的定义公式 (3.33) 和公式 (3.34) 来理解抽象左右矢量的。我们说过，这个是不完整的，有必要的话，可以通过直接定义抽象的矢量来弥补。例如，矢量之所以成为矢量是可以对矢量做加法、数乘、旋转、拉伸。不过，我们的处理方式是让这些抽象定义在更高层次的量子力学和代数中学习。所以，在这里我们接受通过分量形式辗转定义的左矢量，而且我们不回答右矢量是什么的问题。反正给定一个右矢量，我们在某一套完备正交归一的基矢下面写下分量形式，然后写下这个分量形式的 Hermitian 共轭，这个共轭的结果就是这一套基矢下面这个右矢量对应的左矢量。换句话说，给定一套基矢  $\{|\alpha_j\rangle\}$ ，先别管这套基矢哪里来的，如果我们的右矢量是

$$|\mu\rangle = \sum_j \mu_j |\alpha_j\rangle, \quad (3.38)$$

那么我们的相应的左矢量就是

$$\langle\mu| = \sum_j \mu_j^* \langle\alpha_j|. \quad (3.39)$$

然后，我们来讨论形如  $|\alpha\rangle\langle\beta|$  的对象是什么。很容易验证，就像在实数域上的情况一样， $|\alpha\rangle\langle\beta|$  把一个右矢量变成另一个右矢量，所以是一个算符。而且，是一个线性算符。一个一般的线性算符  $L$  的含义是，当作用在对象  $a\mu + b\nu$  上，我们有

$$L(a\mu + b\nu) = aL(\mu) + bL(\nu). \quad (3.40)$$

其中  $a, b$  是数， $\mu, \nu$  是对象。于是，一个一般的作用在所有右矢上线性算符必然是

$$\hat{A} = \sum_{\alpha\beta} A_{\alpha\beta} |\alpha\rangle\langle\beta|. \quad (3.41)$$

这个结论与实数域上的矢量的相应结论一模一样。现在，我们来看这个算符的 Hermitian 共轭的问题。我们把算符  $\hat{A}$  的每一个部分都做一个 Hermitian 共轭，

$$\hat{A}^\dagger = \sum_{\alpha\beta} A_{\alpha\beta}^* |\beta\rangle\langle\alpha| = \sum_{\alpha\beta} A_{\beta\alpha}^* |\alpha\rangle\langle\beta|. \quad (3.42)$$

其中，我们用到了左（右）矢量的 Hermitian 共轭是右（左）矢量。于是，

$$\hat{A}^\dagger = \hat{A} \iff A_{\alpha\beta}^* = A_{\beta\alpha}. \quad (3.43)$$



我们把满足这个性质的算符称为 Hermitian 算符。

有了 Hermitian 算符，我们来考察这样的算符的本征值和本征向量。这个定理是本小节最重要的结果。

**定理 3.3** Hermitian 算符本征向量正交性：Hermitian 算符  $\hat{A}$  的所有的本征值（满足  $A|\alpha_j\rangle = \alpha_j|\alpha_j\rangle$ ）为实数  $\alpha_j \in \mathcal{R}$ ，且不同本征值对应的本征向量相互正交： $\langle\alpha_i|\alpha_j\rangle = 0$ ，其中  $\alpha_i \neq \alpha_j$ 。

大致证明如下：先证明本征值为实数，

$$\begin{aligned}\alpha_j \langle\alpha_j|\alpha_j\rangle &= \langle\alpha_j|A|\alpha_j\rangle = (\langle\alpha_j|A|\alpha_j\rangle)^* = \langle\alpha_j|A^\dagger|\alpha_j\rangle^* \\ &= \langle\alpha_j|A|\alpha_j\rangle^* = \alpha_j^* \langle\alpha_j|\alpha_j\rangle \\ &\implies (\alpha_j - \alpha_j^*) \langle\alpha_j|\alpha_j\rangle = 0 \\ &\implies \alpha_j = \alpha_j^*\end{aligned}\quad (3.44)$$

假设  $\alpha_i \neq \alpha_j$ ,

$$\begin{aligned}\alpha_j \langle\alpha_i|\alpha_j\rangle &= \langle\alpha_i|A|\alpha_j\rangle = (\langle\alpha_i|A|\alpha_j\rangle)^* = \langle\alpha_j|A^\dagger|\alpha_i\rangle^* \\ &= \langle\alpha_j|A|\alpha_i\rangle^* = \alpha_i^* \langle\alpha_j|\alpha_i\rangle^* = \alpha_i \langle\alpha_i|\alpha_j\rangle \\ &\implies (\alpha_i - \alpha_j) \langle\alpha_i|\alpha_j\rangle = 0 \\ &\implies \langle\alpha_i|\alpha_j\rangle = 0\end{aligned}\quad (3.45)$$

与实数域上的情形类似，如果算符  $\hat{A}$  的本征值都不相同，那么只要我们把每一个本征矢量各自归一化，我们就从 Hermitian 算符  $\hat{A}$  的本征矢量得到了空间  $V$  的正交归一基矢，于是我们有完全性展开关系，

$$I = \sum_j |\alpha_j\rangle \langle\alpha_j|. \quad (3.46)$$

存在相同本征值对应不同本征向量，这个称为简并本征值，的问题技术上更复杂（需要在相同本征值对应的本征向量的子空间内正交化矢量），结论是一样的，在此我们不讨论。

在以上的证明过程中，我们也用了分量形式的 Hermitian 共轭的关系  $\langle\alpha_i|A|\alpha_j\rangle^* = \langle\alpha_j|A^\dagger|\alpha_i\rangle$ 。这个表达式的用法也和实数域上的情形一致：尽管原则上我们可以通过抽象矩阵和抽象矢量来代替这个基于分量形式的表达式，但是，在这里我们就直接用了分量形式的结论。

总结，复数域上的抽象矢量和抽象矩阵，与实数域上的基本一致，除了在左矢量的定义上，我们需要把右矢量做一个转置以后在给每一个元素做一个复共轭，而不仅仅是转置。其他方面，完全是对应的。

另外，完全性关系的价值可能我们还没有看到。这一小节的最后，我们展示一下。可以想见  $A_{\alpha\beta}$  的意义就是抽象算符  $\hat{A}$  在  $\{|\alpha\rangle\}$  这一套基矢下的分量形式，但是，由于我们的算符的定义直接就是由  $A_{\alpha\beta}$  通过公式 (3.41) 给出的，这个倒过来如何从  $\hat{A}$  得到  $A_{\alpha\beta}$  的问题不容易看见，现在，我们说，实际上，

$$A_{\alpha\beta} = \langle \alpha | A | \beta \rangle, \quad (3.47)$$

怎么看出来？让我们做以下计算，

$$\begin{aligned} A &= I A I = \sum_{\alpha} |\alpha\rangle \langle \alpha| A \sum_{\beta} |\beta\rangle \langle \beta| \\ &= \sum_{\alpha\beta} (\langle \alpha | A | \beta \rangle) |\alpha\rangle \langle \beta|, \end{aligned} \quad (3.48)$$

于是  $A_{\alpha\beta}$  自然就是  $\langle \alpha | A | \beta \rangle$ 。

### 3.3.4 抽象算符的函数与算符的代数

有了抽象算符的谱展开，我们就可以通过数的函数来定义抽象算符的函数。例如我们知道算符  $A$ ，就可以知道算符  $A^2$ ，

$$A^2 = A A = \sum_{\alpha} |\alpha\rangle \langle \alpha| A = A \sum_{\alpha} \alpha |\alpha\rangle \langle \alpha| = \sum_{\alpha} \alpha^2 |\alpha\rangle \langle \alpha|. \quad (3.49)$$

于是， $A^2 = \sum_{\alpha} \alpha^2 |\alpha\rangle \langle \alpha|$ 。更一般地， $A^n = \sum_{\alpha} \alpha^n |\alpha\rangle \langle \alpha|$ 。那么一般的算符  $A$  的多项式  $f(A) = \sum_{\alpha} f(\alpha) |\alpha\rangle \langle \alpha|$ ，例如

$$e^{\lambda A} = \sum_{\alpha} e^{\lambda \alpha} |\alpha\rangle \langle \alpha|. \quad (3.50)$$

另外，算符的加减乘除等运算跟通常的数的运算有所不同。例如对于数  $e^{a+b} = e^a e^b$  但是，对于算符通常  $e^{A+B} \neq e^A e^B$ 。其根本原因是一般来说  $AB \neq BA$ 。同样的，一般来说  $e^A B e^{-A} \neq B$ 。对这些有兴趣的同学可以进一步通过学习高等量子力学的书籍 [?] 来进一步了解。这里我们给出一个很有意思的关于  $e^A B e^{-A}$  的讨论。

例 3.1 Baker–Campbell–Hausdorff 公式的一个变体。讨论算符  $e^A B e^{-A} \neq B$  的显式形式，也就是去掉指数算符以后的形式。

定义算符

$$f(A, B, \lambda) = e^{\lambda A} B e^{-\lambda A}. \quad (3.51)$$

已知  $f(A, B, \lambda = 0) = B$ 。现在，我们来计算算符  $f(A, B, \lambda)$  的几个关于  $\lambda$  的导数。思路是这样的：反正  $f(A, B, \lambda) = B$  是  $\lambda$  的函数，于是无论如何，

$$f(A, B, \lambda) = \sum_{n=0}^{\infty} C_n \lambda^n. \quad (3.52)$$

当然，我们还必须证明为什么不考虑  $\lambda^{-n}$  之类的项。这里暂时不管这个问题。如果上式成立，那么，我们就可以想办法通过计算  $\left. \frac{\partial^n f(A, B, \lambda)}{\partial \lambda^n} \right|_{\lambda=0}$  来得到所有的  $C_n$ 。现在，我们来试试前面几阶。

$$\frac{\partial}{\partial \lambda} f(A, B, \lambda) = A e^{\lambda A} B e^{-\lambda A} - e^{\lambda A} B e^{-\lambda A} A = e^{\lambda A} [A, B] e^{-\lambda A} = f(A, [A, B], \lambda). \quad (3.53)$$

于是，

$$C_0 = f(A, B, \lambda = 0) = B. \quad (3.54)$$

接着，

$$C_1 = \left. \frac{\partial f(A, B, \lambda)}{\partial \lambda} \right|_{\lambda=0} = f(A, [A, B], \lambda = 0) = [A, B]. \quad (3.55)$$

类似地

$$C_2 = \left. \frac{1}{2!} \frac{\partial^2 f(A, B, \lambda)}{\partial \lambda^2} \right|_{\lambda=0} = \frac{1}{2!} f(A, [A, [A, B]], \lambda = 0) = \frac{1}{2!} [A, [A, B]]. \quad (3.56)$$

同理我们可以得到各阶的系数。于是计算  $f(A, B, \lambda = 1)$  我们得到

$$e^A B e^{-A} = B + \frac{1}{1!} [A, B] + \frac{1}{2!} [A, [A, B]] + \frac{1}{3!} [A, [A, [A, B]]] + \cdots \quad (3.57)$$

通过引入  $\lambda$  再让  $\lambda = 0$  以及  $\lambda = 1$  来求得算符是一个很巧妙的技巧。通过这个例子，我们也看见了算符和数之间的区别造成的后果。

### 3.4 共同本征向量, 表象理论与线性变换

如果我们有二个不同的 Hermitian 算符  $\hat{A}, \hat{B}$ , 我们问这个时候它们对应的正交归一基矢是否相同?

**定理 3.4** Hermitian 算符  $\hat{A}, \hat{B}$  存在共同本征向量如果  $\hat{A}, \hat{B}$  对易:  $[\hat{A}, \hat{B}] = \hat{A}\hat{B} - \hat{B}\hat{A} = 0$ 。

同样我们假设本征值没有简并的条件下来讨论。取  $\hat{A}$  的本征向量  $|\alpha\rangle$ ,

$$\hat{A}\hat{B}|\alpha\rangle = \hat{B}\hat{A}|\alpha\rangle = \alpha\hat{B}|\alpha\rangle \implies \hat{B}|\alpha\rangle = b_\alpha|\alpha\rangle. \quad (3.58)$$

于是  $|\alpha\rangle$  也是算符  $\hat{B}$  的本征向量。证毕 ■

反过来, 很简单就是可说明, 如果二个算符  $\hat{A}, \hat{B}$  的所有本征向量都完全一样, 则这两个算符必然对易。直观地说, 在这个共同本征态所形成的基矢下, 这两个算符都只有对角矩阵元, 例如

$$\hat{A} = \sum_\alpha \hat{A}|\alpha\rangle\langle\alpha| = \sum_\alpha \alpha|\alpha\rangle\langle\alpha|, \quad (3.59)$$

完全对角, 而对角的矩阵永远是相互对易的。

通过这个定理, 我们看见, 如果我们需要讨论的算符不是所有的都相互对易, 那么我们就可以选择不同的 Hermitian 算符所代表的本征矢量来作为基矢。这样, 我们就有很多种基矢的选择。于是, 一个算符或者一个向量, 它们在不同的基矢下就有不同的表现形式。这些不同的表现形式之间有什么样的关系呢?

我们称某一个相容算符的集合  $X$ ——这个集合可以包含多个算符, 这些算符两两对易——所对应的共同本征向量为一个  $X$  表象。这些共同本征向量可以作为表达其他所有矢量和矩阵的基矢。一个矢量和矩阵在这一套基矢下的分量形式就称为这个矢量或者矩阵的  $X$  表象下的形式。现在, 一个自然的问题就是, 如果我们有二个相容算符的集合  $X$  和  $Y$ , 但是  $X$  和  $Y$  之间不相容, 那么这个矢量或者矩阵在二个表象下的形式有什么区别和联系。这个问题就是矢量和矩阵的线性变换的问题。这就好像是一个人不管哪一天出现, 总是会有一个外在的形象, 尽管这个外在的形象可能每次都不同, 那么我们自然会关心这些外在的形象之间有什么关系。表象就是把一个抽象的矢量或者矩阵呈现在某一套基矢下面, 就是把抽象的人的具体形象呈现出来。

## 3.4.1 表象之间的变换

为了简单性, 我们这里假设  $X$  ( $X'$ ) 表象只有一个算符  $\hat{X}$  ( $\hat{X}'$ ), 记本征矢量为  $|x\rangle$  ( $|x'\rangle$ )。现在我们来考察这两个表象之间的联系。一个矢量  $|\mu\rangle$  可以在表象  $X$  中也可以在表象  $X'$  中表达, 分别是

$$|\mu\rangle = \sum_x \mu_x |x\rangle \quad (3.60)$$

和

$$|\mu\rangle = \sum_{x'} \mu'_{x'} |x'\rangle. \quad (3.61)$$

于是两者之间可以通过以下方式相联系,

$$\mu'_{x'} = \langle x' | \mu \rangle = \sum_x \mu_x \langle x' | x \rangle. \quad (3.62)$$

记  $S_{x'x} = \langle x' | x \rangle$ , 于是

$$\mu'_{x'} = \sum_x S_{x'x} \mu_x. \quad (3.63)$$

在这里,  $S_{xx'} = \langle x | x' \rangle$  的集合其实仅仅是一个集合,  $S$  不是一个把一个矢量映射成为另一个矢量的矩阵或者算符。强行按照矩阵运算的规则, 上式可以记作,

$$\mu' = S\mu. \quad (3.64)$$

这样, 看起来好像两个表象之间的分量存在一个相似变换。当然, 我们还需要证明这个形式上的矩阵  $S$  满足  $S^\dagger S = I$ 。这个证明非常简单, 留给大家做作业。

我们再来讨论一下矩阵的不同表象的联系。对于一个算符  $\hat{A}$ , 我们有

$$\hat{A} = \sum_{xy} |x\rangle \langle x | \hat{A} | y \rangle \langle y| = \sum_{x'y'} |x'\rangle \langle x' | \hat{A} | y' \rangle \langle y'|, \quad (3.65)$$

于是

$$A_{x'y'} = \sum_{xy} \langle x' | x \rangle \langle x | \hat{A} | y \rangle \langle y | y' \rangle \implies A' = SAS^\dagger. \quad (3.66)$$

我们发现, 联系着两个表象之间的是一个相性变换矩阵

$$S = (\langle x' | x \rangle)_{N \times N}. \quad (3.67)$$

到这里,  $S$  还是一个矩阵, 不是一个算符, 也就是排成一个方块的遵循矩阵运算规则的数字, 而不是一个把矢量映射成为矢量的算符。

## 3.4.2 举例

下面我们举例来熟悉表象和线性变换，而且要把表象变换和你所熟悉的线性代数中的线性变换联系起来。

例 3.2 二维  $\sigma_x, \sigma_y, \sigma_z$  在不同表象下的形式和抽象形式。通常这三个算符分别写作  $\sigma_x = \begin{bmatrix} 0 & 1 \\ 1 & 0 \end{bmatrix}$ ,  $\sigma_y = \begin{bmatrix} 0 & -i \\ i & 0 \end{bmatrix}$ ,  $\sigma_z = \begin{bmatrix} 1 & 0 \\ 0 & -1 \end{bmatrix}$ 。请问这个是在什么表象下写出来的。计算三个算符在  $\sigma_x$  表象下的形式，讨论这个表象下的形式与通常表象下的形式之间的变换。

例 3.3 一元偏微分方程的二维子空间。考察如下微分方程  $\frac{\partial}{\partial t}\psi(x, t) + \nabla^2\psi(x, t) = 0$  同时满足边界条件  $\psi(0, t) = 0 = \psi(1, t)$ ，的满足下面这个初始条件的解： $\psi(x, 0) = 0.3 \sin(\pi x) + 0.5 \sin(2\pi x)$ 。

例 3.4 Fourier 级数的解释。结合上面的例子，思考一个函数的 Fourier 级数的形式到底做了什么？进一步思考，通常的函数形式是在写在什么表象下的？

## 3.4.3 相似变换作为算符\*

现在，我们以  $S$  矩阵为基础来定义一个把矢量映射成为矢量的算符。为了和上一节区别开来，我们用新的符号来表示基矢： $X$  表象的记作  $|e_j\rangle$ ， $X'$  表象的记作  $|e'_j\rangle$ 。现在，我们来定义一个新的矢量，

$$|\mu'\rangle = \sum_j |e_j\rangle \langle e'_j | \cdot |\mu\rangle. \quad (3.68)$$

注意，这个我们已经默认建立了一个在  $|e_j\rangle$  和  $|e'_j\rangle$  之间的顺序对应关系：把  $X$  表象的第  $j$  个基矢与  $X'$  表象的第  $j$  个基矢相互联系起来。这个时候  $\sum_j |e_j\rangle \langle e'_j |$  就真的是一个算符了。现在，我们来看一下这个算符与前面的  $S$  矩阵联系。

我们来看一下，这个新的矢量  $|\mu'\rangle$  在  $X$  表象下的分量形式，

$$\langle e_k | \cdot |\mu'\rangle = \sum_j \delta_{jk} \langle e'_j | \cdot |\mu\rangle = \langle e'_k | \cdot |\mu\rangle. \quad (3.69)$$

新矢量在旧表象下的分量形式等于旧矢量在新表象下的分量形式。进一步，右侧等于

$$\langle e_k | \mu' \rangle = \langle e'_k | \mu \rangle = \sum_l \langle e'_k | e_l \rangle \langle e_l | \mu \rangle = \sum_l S_{kl} \langle e_l | \mu \rangle. \quad (3.70)$$

于是

$$|\mu'\rangle = \sum_{kl} S_{kl} |e_k\rangle \langle e_l | \mu \rangle. \quad (3.71)$$

定义

$$\hat{S} = \sum_{kl} S_{kl} |e_k\rangle \langle e_l|, \quad (3.72)$$

我们得到

$$|\mu'\rangle = \hat{S} |\mu\rangle. \quad (3.73)$$

这个时候， $\hat{S}$  真正的成了一个算符。进一步，我们可以把  $\hat{S}$  写作，

$$\hat{S} = \sum_{kl} \langle e'_k | e_l \rangle |e_k\rangle \langle e_l| = \sum_k |e_k\rangle \langle e'_k|, \quad (3.74)$$

正好就是我们前面定义的把旧矢量  $|\mu\rangle$  变成新矢量  $|\mu'\rangle$  的映射。于是，我们发现，相似变换也可以看作是一个算符。只不过，再看做这个算符的过程中，我们需要把旧矢量在新坐标系下的分量形式，看成是一个新矢量的变换之前的坐标系下的分量形式。这个视角的转变，说起来有点拗口，实际上，是我们以前做坐标变换的时候经常使用的一个角度：把变换以后的矢量看作是一个新的矢量，而不是原来的矢量在新的坐标下的形式。这两种视角其实是相通的。当然，从抽象矢量的角度来说，我们更加喜欢把矢量看成不变的东西，把不同的数字看作是同一个矢量在不同坐标系下的分量。

需要指出的是，没有 Dirac 抽象矢量记号，我们几乎就不可能说明白，认识清楚这些问题。把抽象的矢量和具体的分量形式分开来，这个是说清楚这些问题的最重要的一步。

### 3.5 本章小结

在这一章里面，我们通过区分左右矢量定义了抽象的矢量和矩阵，然后利用表象——某个相容算符集合的所有相互正交的本征矢量——把抽象

矢量与分量形式联系起来。两个表象之间的联系本身不是一个自然定义的算符，但是，通过左右矢量，我们仍然可以把这个表象之间的变换看作是算符。从计算上来说，这一章唯一的新的东西是复数域上的列矢量转置成行矢量的时候，需要加一个复共轭。只有这个复共轭和转置的联合起来的 Hermitian 共轭操作能够保持复数域上矢量的内积。从概念上来说，矢量和算符是不依赖于分量形式的存在，它们可以在不同的表象下表现为不同的分量形式。

本章一开始所讨论的数学与科学的关系，数学与物理学的关系，以及如何学习数学，需要你好好体会。这个体会有助于创造性地运用数学和创造数学。数学是对结构的描述，是我们进行思考的语言。所谓科学，就是一个“管用”的现实世界的心智模型，而心智模型中最主要的就是数学模型。在这里，管用，就是指，能够用来理解和解释现实世界。



## 第四章 离散状态的概率论

我们不讨论这个世界到底是决定性的还是随机的，我们把确定性的事件也看成随机事件的一个特例，服从  $\delta$  分布的一个特例。所谓  $\delta$  分布，以后会介绍，就是在给定时刻这个“随机”变量仅有一个可能取值。在这个视角下，所有的经典世界都由概率论描述。

在这一章里面，我们要解决的问题是如何描述随机事件。从古典概型，我们已经知道随机事件可以用随机变量来描述，离散随机变量的每一个可能取值对应着一个概率，连续随机变量可以用概率密度分布函数描述，同时离散和连续随机变量都可以用累积概率分布函数来描述。这些还不够，我们要讨论一下随机事件的定义，概率论最核心的性质是什么（将来我们会看到这个核心是概率叠加原理：互斥事件的加法），然后利用上一章学到的矩阵和 Dirac 符号来介绍一种新的描述概率的方法——密度矩阵。最后，我们讨论一下离散时间的随机过程——这部分推荐给学有余力的读者。

最后我们会简短地讨论一下随机变量的测量。这是一个基本上所有的教材都不讨论的问题。我们认为其实关于这个问题的认识非常重要。例如，我们考虑这样一个事件：扔出色子并且色子的某一面——例如 6 这一面——向上之后，观测这个正面的值，然后我们说这个随机事件的概率分布就是 6 这一面 100%，其他取值的概率为零。那么是否意味着在观测之前的概率分布——每一面都是  $\frac{1}{6}$ ——是错误的呢？我们认为，如果认为是错误的，则是对概率论和随机事件非常错误的理解。在原来的这个硬币的状态到后来的这个硬币的状态之间，存在着一个操作：测量。测量的前后，硬币的状态确实原则上可以发生改变的。在测量之后，确实硬币的状态是 100% 取值为 6，但是并不意味着测量之前的状态的描述也发生了改变。大多数经典客体的状态在测量前后不发生改变。这一点，在原则上，没有必要对于随机客体还保持。原则上，我们允许这个世界上存在着真正随机的客体。然而，如果真的存在，那么我非常怀疑，一个没有深刻理解概率论的学者，可以理解这

个世界的任何部分。

这个部分的推荐阅读材料是：Kolmoglov 《概率论导引》，王梓坤 《概率论基础及其应用》，何书元 《概率引论》，Kai Lai Chung 的 《A course in Probability Theory》。

## 4.1 古典概型概率论的 Dirac 符号形式

古典概型对于随机事件有一个基本的假设：存在着某一个基本的简单事件，其中每一个基本简单事件的概率是明确的甚至是相等的，然后复杂事件的概率总是可以通过分解成基本简单事件的方式来计算出来。在这里，我们先通过几个古典概型的例子，来了解一下概率论，介绍一下古典概型的 Dirac 符号形式。然后，我们会展示这种基于简单基本事件的概率论存在一些问题，于是我们需要构造更加一般的概率论。

**例 4.1 对称色子：**计算两个六面的对称的色子出现的正面向上的数字之和的几率。

扔一个色子的事件有 6 个可能结果  $x \in \{1, 2, 3, 4, 5, 6\}$ ，每一面出现的可能性都是  $P(x) = \frac{1}{6}$ 。于是，计算扔两个色子 ( $y = x_1 + x_2$ ) 的所有可能性，我们的到  $y \in \{2, \dots, 12\}$ ，注意各个数值不再是等几率的了。我们需要数一数每种可能出现的次数。例如  $2 = 1 + 1$  只有一种可能，于是其几率等于

$$P(y = 2) = P(x_1 = 1, x_2 = 1) = P(x_1 = 1)P(x_2 = 1) = \frac{1}{36}.$$

再如  $10 = 4 + 6 = 6 + 4 = 5 + 5$ ，于是

$$P(y = 10) = P(x_1 = 4, x_2 = 6) + P(x_1 = 6, x_2 = 4) + P(x_1 = 5, x_2 = 5) = \frac{3}{36}.$$

其他的都可以类似的计算出来。

这里我们把最基本的事件找出来，确定它们的几率，然后用他们来计算复杂的事件的几率。其中我们用到了互斥事件的概率是各个事件的概率的叠加，也用到了独立事件的概率是各个事件概率的乘积。存在基本事件，可以找到它们的几率，然后运用概率叠加原理和独立事件原理来计算复杂事件的概率是古典概型的特征。

**例 4.2 约会问题：**Alice 和 Bob 约会，约定三点钟见面，可是这两个人都不太守时，耐心也不太好，会在三点钟的前后 5 分钟出现，而且出现以后只等对方 5 分钟。问他们能够实现这个约会的几率是多少？

首先, 我们确定事件的描述, Alice 和 Bob 到达的时间, 记为  $t_A$  和  $t_B$ 。它们的取值范围是  $t \in [2.55, 3.05]$ 。然后我们再来确定这样一个事件  $(t_A, t_B)$  的几率  $P(t_A, t_B)$ 。我们发现这个几率对于任何的在取值范围内的取值都是一样的 (或者事先给定的形式, 例如集中在刚好 3 点的几率大一些), 可是我们写不出来显式表达式。一对  $(t_A, t_B)$  是在所有取值空间  $[2.55, 3.05] \times [2.55, 3.05]$  中的一个点, 如图??所示。把一个点和一个正方形区间相比较, 我们不会做这样的计算。不过, 换一个方式, 我们问, 在  $(t_A, t_B)$  附近一个小小的正方形区域  $\Delta$  之内的几率是多少, 我们就能够写出来了:  $\rho(t_A, t_B) \cdot \Delta$ 。于是, 我们发现, 实际上所有的信息都可以放到这个  $\rho(t_A, t_B)$  中去。这个东西被称为概率密度函数。如果已知概率密度函数, 那么任意一个点附近的任意一个区域的几率都可以计算出来。下面, 我们以 3:00 为时间原点, 以分钟为单位写下  $t_A, t_B$  的值。这里, 我们考虑各个点等几率, 因此  $\rho(t_A, t_B) = \frac{1}{100}$ 。这里, 我们用到了归一化条件,

$$1 = \int_{t_A, t_B \in [-5, 5]} dt_A dt_B \rho(t_A, t_B). \quad (4.1)$$

接着, 我们来看, Alice 和 Bob 约会成功的条件是什么。由于等待时间是 5 分钟, 所以相遇的条件是  $|t_A - t_B| \leq 5$ 。

于是, 他们约会成功的可能性是,

$$P = \int_{|t_A - t_B| \leq 5} dt_A dt_B \rho(t_A, t_B) = \frac{1}{100} \int_{|t_A - t_B| \leq 5} dt_A dt_B = \frac{3}{4}.$$

从概率分布函数到概率密度函数是从离散随机变量到连续随机变量的概率的描述方式的自然的转变。同时, 归一化因子的计算也是概率论问题中重要的一步。现在, 我们利用 Dirac 符号, 把以上的概率分布函数形式上写成矩阵的形式。

我们把一个对称的色子的分布函数记作,

$$\hat{\rho} = \frac{1}{6} |1\rangle\langle 1| + \frac{1}{6} |2\rangle\langle 2| + \frac{1}{6} |3\rangle\langle 3| + \frac{1}{6} |4\rangle\langle 4| + \frac{1}{6} |5\rangle\langle 5| + \frac{1}{6} |6\rangle\langle 6|. \quad (4.2)$$

其中, 出现在 Dirac 符号中的就是状态, 前面的系数就是这个状态出现的几率。更一般地, 可以写做

$$\hat{\rho} = \sum_j P(j) |j\rangle\langle j|. \quad (4.3)$$

在其它的概率论的教材里面，这样的—个色子的状态可以写成—个形式上的“矢量”，注意这个矢量的加法和数乘都会有其特殊的含义，形如，

$$p = \begin{bmatrix} \frac{1}{6} \\ \frac{1}{6} \\ \frac{1}{6} \\ \frac{1}{6} \\ \frac{1}{6} \\ \frac{1}{6} \end{bmatrix}, \quad (4.4)$$

或者—个列表

$$p = \begin{cases} \frac{1}{6} & \text{if } x = 1 \\ \frac{1}{6} & \text{if } x = 2 \\ \frac{1}{6} & \text{if } x = 3 \\ \frac{1}{6} & \text{if } x = 4 \\ \frac{1}{6} & \text{if } x = 5 \\ \frac{1}{6} & \text{if } x = 6 \end{cases}. \quad (4.5)$$

这三个表达方式的含义完全—样的。我们更喜欢公式 (4.3) 中的矩阵形式的表达式。由于这个矩阵表示的含义是—个概率分布函数，或者概率密度分布函数，我们称这个矩阵为密度矩阵。我们采用密度矩阵的语言来描述概率论，因为：第一，这个形式在可以原封不动地用在量子力学里面；第二，这个形式的所有的计算的规则和矩阵是—样的。一般地说来—个密度矩阵要满足以下条件，

$$\langle x | \rho | x \rangle \geq 0, \text{tr}(\rho) = 1. \quad (4.6)$$

前者表示概率或者概率密度应该大于零，后者就是归—化条件。

实际上，我们也可以写下来 Alice 的状态的密度矩阵，例如

$$\rho^A = \int dt_A \frac{1}{10} |t_A\rangle \langle t_A|. \quad (4.7)$$

但是，我们所有的量子系统的讨论都面对离散变量。因此，连续变量的密度矩阵形式就不在此讨论了。

在概率论中，我们关注的往往是某个可观测量的某种形式的平均值。因此，除了概率分布函数，可观测量也是概率论的重要组成部分。例如，色子

的面值就是一个可观测量，注意色子的向上面的状态和色子的面值是两个概念上不同的东西。作为状态，其实其代表数字就是一个符号，区分状态用的记号。但是，当我们说面值的时候，我们实际上是把把这些数字的各种运算也包含进去了。除了色子的面值，我们也可以制定另一个可观测量，例如色子的面值是偶数就是 1，是奇数就是 -1。我们记色子的面值的可观测量为  $X$ ，记后者为  $O$ 。如果我们需要计算  $O$  的平均值，我们可以这样做，

$$\langle O \rangle = \sum_j O(j) P(j), \quad (4.8)$$

其中，对于我们的例子

$$O(j) = (-1)^j. \quad (4.9)$$

当然

$$X(j) = j. \quad (4.10)$$

现在，有了 Dirac 符号形式的分布函数，我们还需要 Dirac 符号形式的可观测量，才能完全替代原来的概率论的符号体系。我们定义，

$$\hat{O} = \sum_j O(j) |j\rangle \langle j|, \quad (4.11)$$

而且平均值的计算按照以下公式，

$$\langle O \rangle = \text{tr}(\hat{O}\hat{\rho}). \quad (4.12)$$

现在，我们来验证一下是否公式 (4.12) 等价于公式 (4.8)。

$$\begin{aligned} \langle O \rangle &= \text{tr}(\hat{O}\hat{\rho}) = \text{tr}\left(\sum_j O(j) |j\rangle \langle j| \sum_n P(n) |n\rangle \langle n|\right) \\ &= \text{tr}\left(\sum_{jn} O(j) |j\rangle \delta_{jn} P(n) \langle n|\right) \\ &= \text{tr}\left(\sum_j O(j) P(j) |j\rangle \langle j|\right) \\ &= \sum_j O(j) P(j). \end{aligned}$$

完全等价, 如果我们假设

$$\langle j | n \rangle = \delta_{jn}. \quad (4.13)$$

这个基本事件之间的关系是我们这套 Dirac 符号体系额外需要的假设。其含义是这两个事件不可能同时发生: 一个色子不可能同时编号为  $j$  的面向上又有编号为  $n$  的面向上。

经典离散随机变量的概率的密度矩阵形式的定义式公式 (4.3), 经典离散随机变量的可观测量的密度矩阵形式的定义式公式 (4.11), 观测量平均值的计算公式公式 (4.12), 以及古典概型的基本事件之间的正交关系公式 (4.13) 是我们的符号体系中的核心定义, 用来替代原来的概率论的分布函数的列表的形式以及求平均的公式。这个替代除了能够显式地写下来分布函数, 而不用写一个长长的列表之外, 目前看起来, 没有什么好处。以后我们会看到这样做的价值。

我们来运用 Dirac 符号形式的分布函数做一个计算, 熟悉一下这套形式。

**例 4.3 盒子里的小球:** 一个可以容纳无穷多个小球的盒子, 每放入一个小球, 需要外界输入小球一份能量  $\epsilon$ , 反之也成立——每提供一份  $\epsilon$  的能量盒子内的小球就增加一个。现在假设这个能量是一个随机变量, 符合如下分布,

$$P(n) = \frac{1}{Z} e^{-\beta n \epsilon}, \quad (4.14)$$

求得其中的归一化常数  $Z$ , 以及这个盒子里面的平均粒子数。

状态空间就是盒子里面小球的数量所有可能取值, 利用 Dirac 符号就是以下的事件集合  $\{|n\rangle\langle n|\}$ 。相应的密度矩阵就是,

$$\rho = \sum_{n=0}^{\infty} \frac{1}{Z} e^{-\beta n \epsilon} |n\rangle\langle n|, \quad (4.15)$$

正定性非常明显, 我们来看看归一化。

$$1 = \text{tr}(\rho) = \sum_m \langle m | \sum_{n=0}^{\infty} \frac{1}{Z} e^{-\beta n \epsilon} |n\rangle\langle n| m \rangle = \frac{1}{Z} \sum_{mn} e^{-\beta n \epsilon} \delta_{mn} = \frac{1}{Z} \sum_n e^{-\beta n \epsilon}. \quad (4.16)$$

于是,

$$Z = \sum_n e^{-\beta n \epsilon} = \frac{1}{1 - e^{-\beta \epsilon}}. \quad (4.17)$$

这样，我们就得到了盒子里的小球数量的状态的密度矩阵的显式表达式，

$$\rho = (1 - e^{-\beta\epsilon}) \sum_{n=0}^{\infty} e^{-\beta n\epsilon} |n\rangle \langle n|. \quad (4.18)$$

现在我们来解决第二个任务，盒子里面的平均粒子数。我们先写下粒子数算符，

$$\hat{n} = \sum_n n |n\rangle \langle n|. \quad (4.19)$$

于是，从公式 (4.12) 我们得到可观测量平均值，

$$\langle n \rangle = \text{tr}(\hat{n}\rho) = (1 - e^{-\beta\epsilon}) \sum_n n e^{-\beta n\epsilon} = \frac{1}{e^{\beta\epsilon} - 1}. \quad (4.20)$$

这一章我们的主要任务就是得到古典概型的 Dirac 符号形式。这个主要任务我们已经完成。对于我们后面的学习来说，稍微了解一下概率空间的一般定义也是有好处的。下面，我们来介绍一般的概率空间的定义。

## 4.2 现代概率三元体

我们先来看一看基于基本事件以及基本事件的几率来计算复杂事件的几率的古典概型有什么问题。

**例 4.4** Bertrand 圆内弦长的问题：单位元内任意取一条弦，其长度小于  $\sqrt{3}$  的几率是多少？

考虑弦是这样来画的：选择圆上任意一点作为弦的一个端点，然后利用所对应的圆周角  $\theta$  的弧度来决定另外一个端点。这个圆周角的取值范围为  $[0, 2\pi]$ 。然后，当  $\frac{2\pi}{3} < \theta < \frac{4\pi}{3}$  的时候，弦长大于  $\sqrt{3}$ 。于是，概率为  $\frac{2\pi}{3} \frac{1}{2\pi} = \frac{1}{3}$ 。

另外，我们再考虑这个弦的中点，一条弦完全由这个中点确定（给定这个中点有且只有一条弦，除了这个中点正好就是圆心）。我们发现，当且仅当这个中点在半径为  $\frac{1}{2}$  的圆以内的时候，弦长大于  $\sqrt{3}$ 。满足这个条件的中点有  $\frac{\pi(\frac{1}{2})^2}{\pi}$  这么多，于是概率为  $\frac{1}{4}$ 。

其实还有另外一种确定弦的方式，可以得到别的答案。这里就不介绍了。这样一个问题就有了多个答案，每一个都挺有道理。那么，哪一个是对的呢？这就有问题了。

在这个例子中，我们发现存在着多种可以假设为等概率的基本简单事件的选择，不同的选择导致同一个问题的不同的答案。于是，基于基本简单事件的概率或者概率密度的古典概型，就有问题了。现代概率论通过下面的概率公理化定义来解决这个问题。我们先看一下这个公理化定义是什么，然后在做进一步的关于这个样的定义的含义和动机的讨论。

**定义 4.1 概率空间：** 概率三元体  $(\Omega, \mathcal{F}, P)$ ，其中集合  $\Omega$ ，集合元素对应简单事件记号  $\omega \in \Omega$ ， $\Omega$  的子集  $A$  构成集合  $\mathcal{F}$  是  $\Omega$  上的  $\sigma$  代数，即  $\mathcal{F}$  满足

1.  $\mathcal{F}$  至少包含  $\Omega$ :  $\Omega \in \mathcal{F}$ ;
2. 对集合的补集操作封闭:  $\bar{A} \in \mathcal{F}, \forall A \in \mathcal{F}$ ;
3. 对可数个集合的交集封闭:  $\cup_{j=1}^{\infty} A_j \in \mathcal{F}, \forall A_j \in \mathcal{F}$ 。

从  $\mathcal{F}$  到  $[0, 1]$  的映射  $P$ ，满足下列条件

1. 完全性:

$$P(\Omega) = 1; \quad (4.21)$$

2. 可列可加性: 对于可数个不相交的集合 (互斥事件,  $A_i \cap A_j = \phi, \forall A_i, A_j$ )

$$P(\cup_j A_j) = \sum_j P(A_j). \quad (4.22)$$

$\mathcal{F}$  是  $\sigma$  代数的要求是为了保证对于任意两个概率有定义的集合，它们的集合操作——交并补——都有定义。因为在概率的意义上，我们从两个集合的概率开始，我们经常需要讨论这两个集合对应着的事件合起来的事件的概率，或者是都发生的几率，或者是一个发生另一个不发生的几率。映射  $P$  保证在  $[0, 1]$  之间也是很好理解的，概率最好是大于零的，而且最大最大就是 1。完全性也很好理解，所有的事件的整体的概率显然应该是 1。也就是说，所有的概率论的的定义的核心的一条，就是为了保证“可列可加性”：对于互斥的事件，其整体的概率等于各个互斥部分的概率之和。我们称这一条为“概率性叠加原理”。也就是说，就是这个概率性叠加原理体现了概率论的所有意义。以后，我们会有更深刻的体会。这里先大致说一下。

古典概型的定义是基于基本简单事件以及基本简单事件的几率来定义复合事件的几率的。其中概率叠加原理和独立事件原理非常重要。相当于利用基本简单事件的几率加上概率叠加原理就定义了所有的其它的事件的



几率——就看看这个复合事件最后分解称为什么样的基本简单事件就行了。但是，我们通过园内弦长的问题已经看到基于基本简单事件的几率的定义会出问题。于是，概率空间的公理化定义直接就把概率叠加原理做为最基本的定义。这样，假设我们希望找到某个复合事件的几率，实际上，我们需要保证的，就是，不管这个复合事件可以如何分解成相互不想交的子集合（分解的方式可能不唯一， $\mathcal{F}$  保证分解以后的各个子集合还是可以讨论其概率的），只要我们能够保证分解以后按照概率叠加原理合起来之后得到的值是一致的，那么这个映射  $P$  描述的，就是一种概率现象。所以，我们说，概率叠加原理就是概率论的核心。

在这里，我们先来展示一下，通过这一条概率性叠加原理来定义一下任意两个集合  $A, B$  的并的几率，如果这两个集合  $A$  和  $B$  已经确定是  $\mathcal{F}$  的元素的话。我们先来看  $A \cap B$ ，如果它等于空集，则  $A$  和  $B$  是互斥事件，于是  $P(A \cup B) = P(A) + P(B)$ ，解决。如果  $A \cap B \neq \phi$ ，我们把  $A \cup B$  分解成三个互斥的集合  $A \cap \bar{B}$ ,  $\bar{A} \cap B$  和  $A \cap B$ 。于是， $P(A \cup B) = P(A \cap \bar{B}) + P(\bar{A} \cap B) + P(A \cap B)$ 。也就是说，实际上，如果我们知道每一个互斥的  $\mathcal{F}$  中的元素的几率，实际上，我们用概率性叠加原理就可以求出所有的  $\mathcal{F}$  中的元素，也就是任意事件，的几率。

回到我们的园内弦长的问题，可以证明，从我们前面的任何一种等概率假设都可以构造一个满足上述要求的概率空间。

实际上，我们还应该完成这样一件事情：从概率论的公理化定义，找出适当的条件，在这个条件下随机变量的分布函数存在。但是，这个任务超过本书的水平，在我们发现一个好的能够在本书的概念和方法的范畴内讨论这个问题之前，我们直接就用分布函数来描述概率论。

### 4.3 Dirac 符号作为概率论的语言

现在，让我们用概率论的 Dirac 符号语言来看一下概率空间定义的最重要的性质：概率性叠加原理，在我们的语言下如何表达。概率叠加原理说，如果事件  $A, B$  互斥，则

$$P(A \cup B) = P(A) + P(B). \quad (4.23)$$

我们希望第一，能够把  $A \cup B$  写成，

$$A \cup B \Leftrightarrow \hat{A} + \hat{B}, \quad (4.24)$$

也就是事件的加法有意义，而且正好就是集合取并操作的含义；第二，能够有

$$P(\hat{A} + \hat{B}) = P(\hat{A}) + P(\hat{B}), \quad (4.25)$$

也就是事件之间的加法与概率之间的加法保持一致。现在，我们来做一个检验。

在这里我们还是面对古典概型。给定一个密度矩阵，

$$\hat{\rho} = \sum_j p_j |j\rangle \langle j|, \quad (4.26)$$

我们来考虑一个事件  $A$  的概率。记事件  $A$  的每一个基本简单事件的元素为  $\alpha_j$ ，则

$$\hat{A} = \sum_{\alpha_j \in A} |\alpha_j\rangle \langle \alpha_j|, \quad (4.27)$$

从而通过公式 (4.12) 我们得到事件  $A$  发生的概率

$$P(\hat{A}) = \text{tr}(\hat{A}\hat{\rho}) = \sum_{\alpha_j} p_{\alpha_j}. \quad (4.28)$$

这里，我们把事件集合  $A$  作为观测量  $\hat{A}$ ，需要用到示性函数  $I_A(\omega)$ ，

$$I_A(\omega) = \begin{cases} 1 & \text{if } \omega \in A \\ 0 & \text{otherwise} \end{cases}. \quad (4.29)$$

也就是判断元素  $\omega$  是否属于集合  $A$ 。于是，

$$\hat{A} = \sum_j I_A(j) |j\rangle \langle j| = \sum_{\alpha_j \in A} |\alpha_j\rangle \langle \alpha_j|. \quad (4.30)$$

如果有一个与  $A$  互斥的事件  $\hat{B} = \sum_{\beta_j \in B} |\beta_j\rangle \langle \beta_j|$ ，也就是任意  $\alpha_j, \beta_k$  满足

$$\langle \alpha_j | \beta_k \rangle = 0. \quad (4.31)$$

也就是集合  $A, B$  没有相同的元素。事件  $B$  发生的概率为，

$$P(\hat{B}) = \sum_{\beta_j} p_{\beta_j}. \quad (4.32)$$

现在, 我们知道了

$$P(\hat{A}) + P(\hat{B}) = \sum_{\alpha_j \in A} p_{\alpha_j} + \sum_{\beta_k \in B} p_{\beta_k}. \quad (4.33)$$

我们也知道了

$$\hat{A} + \hat{B} = \sum_{\alpha_j \in A} |\alpha_j\rangle\langle\alpha_j| + \sum_{\beta_k \in B} |\beta_k\rangle\langle\beta_k|, \quad (4.34)$$

还有事件  $A \cup B$ 。我们想看看事件  $A \cup B$  的 Dirac 符号形式是不是正好就是  $\hat{A} + \hat{B}$ , 而且  $P(\hat{A} + \hat{B}) = P(\hat{A}) + P(\hat{B})$  是否成立。第一部分非常简单, 记  $C = A \cup B$ , 于是

$$\hat{C} = \sum_j I_C(j) |j\rangle\langle j| = \sum_j I_A(j) |j\rangle\langle j| + \sum_j I_B(j) |j\rangle\langle j| = \hat{A} + \hat{B}. \quad (4.35)$$

注意, 如果  $A \cap B \neq \phi$  上面的等式的中间一步是不对的。我们再来看第二部分。由于公式 (4.12) ( $\langle O \rangle = \text{tr}(\hat{O}\hat{\rho})$ ) 是线性的, 于是只要第一步正确, 第二部自然就是正确的。

于是, 通过 Dirac 符号, 我们把事件  $A, B$  写成了矩阵  $\hat{A}, \hat{B}$  的形式, 同时, 互斥事件的加法真的可以表达成矩阵加法运算的形式, 而且对于这个加法运算, 求观测量平均值的公式公式 (4.12) 仍然适用。对于不是互斥的事件, 我们总是可以把它分解成互斥的部分。因此, 所有的事件之间的加法运算, 以及这个加法运算的概率含义, 尤其是概率叠加原理公式 (4.23), 都被保留了下来。这个就是我们引入概率论的 Dirac 符号的目的。在 Dirac 符号的形式下, 互斥集合取并的操作直接就是算符的加法运算, 求可观测量平均值的定义是线性的, 这两点直接就保证了概率叠加原理的成立。因此, Dirac 语言是概率论的一种自然的语言。

最后, 我们注意到, 这一章定义的所有的可观测量矩阵都是对角的, 不存在这样的可观测量,  $i \neq j$ ,

$$\hat{O} = \sum_{i,j} O_{ij} |i\rangle\langle j|. \quad (4.36)$$

由于有观测量的这个性质, 我们发现所有的观测量矩阵都是对易的, 也不用做表象变换, 因为在这个自然的表象下, 矩阵本来就是对角的。这一点, 实际上就表明, 我们的矩阵符号有点多余, 实际上写下对角元就够了。当然, 如果我们真的把这些矩阵作为矩阵, 就是要做一个表象变换, 我们就不知道

得到的矩阵的含义是什么了。不过，不管怎样，所有的可观测量，在这个计算下是确定的，不依赖于表象的。因此，逻辑上这个符号系统是自洽的。在经典概率论的层次，这套新的符号系统实际上不带来新的结果，仅仅是理解上的不同。

#### 4.4 本章小结

本章主要介绍了 Dirac 符号形式的概率论。我们发现，概率分布函数可以用一个密度矩阵来表达，见公式 (4.3)。其中各个基本简单事件所对应的基矢相互正交，见公式 (4.13)。同时，我们引入了把随机变量的函数做为可观测量的概念，见公式 (4.11)。于是，概率论用来求可观测量平均值的基本公式就成了公式 (4.12)。

这套符号本身在概率论的层次不带来新的东西，除了把事件之间的集合运算变成了事件所对应的算符的加法运算而且自然地表示了事件的概率叠加原理。而后者——概率叠加原理，通过一般的概率空间的讨论，我们注意到就是整个概率论定义的核心。

## 第五章 经典力学精要

在这里，我们学习力学的目的是给学习量子力学做准备。为了这个目的，我们需要学习一些概念，例如位形空间、坐标系、力、能量、保守系统等。最关键的是学习通过 Hamiltonian 来描述一个力学系统，得到这个系统的所有行为。然而，实际上我们应该从力学学习到更加重要的东西。从思想上，从经典力学我们了解什么是物理学——物理学就是描述物体状态（包含运动状态和结构状态等）的变化，以及寻找导致物体状态变化的原因的科学，以及了解把事物抽象成理想模型的观念。这个研究思路以及这个观念不仅仅是物理学的思想，也是整个科学的思想。当然，为了达成这个目的，我们就需要真正地学习一门力学的课程。这个不是我们这一章的任务。所以，在这一章里，尽管我们会尽可能地让你体会这个研究思路和这个观念，我们的主要精力会放在如何利用 Hamiltonian 来描述一个力学系统。

本章推荐参考书：Feynman 《Feynman 物理学讲义第一卷》[?]，方励之《力学》[?]，漆安慎《力学》[?]，Landau 《力学》[?]

### 5.1 力学思想

力学的基本研究对象是日常生活所见到的桌子以及桌子在一个推动的力作用下运动起来这个现象，或者一个乒乓球以及这个乒乓球在拍子挥动的条件下发生运动这个现象，或者一个汽车以及这个汽车在发动机驱动下和方向盘的控制下发生运动这个现象，或者天上运动的星星以及它们的运动。对于这个研究对象，宏观的物体以及它们的运动，第一个要解决的问题是如何描述它们的运动状态。在这里，物理学引入了一个理想模型——质点，一个有质量没有体积没有形状没有其他任何属性的点。为什么除了质量以外其他的属性都不重要，这是一个很重要的问题。没有体积和形状就要求我们只关心这个物体作为一个整体的运动，我们暂时不关心这个物体

的自转等运动形式。这个运动的形式是所有的运动形式里面最简单的一种。我们称为物体的平动，除了平动还有转动等等。后面这些在我们这个精简的课程里面不再涉及。

基于生活经验，我们知道，力的作用是使运动的状态发生改变。我们知道当我们推一张桌子时候，如果我们希望我们停下来之后桌子动得快一点，我们需要推的时间长一点或者推的力气大一点。甚至在我们推动桌子的过程中，我们也可以通过改变这个推力的大小来达到控制其速度的目的。也就是说，当我们把力作用在一个质点上的时候，我们会改变质点的运动速度。当然，我们还不知道力和速度的改变这两者之间具体的关系是什么，和质点的什么属性相关，例如大小、形状、质地、生产厂家等等。不过，有了这个思想认识上的突破之后，剩下的突破就容易多了。

解决这个具体什么关系的问题是物理学的另一个，也是最重要的思想是：做实验，做测量。这个来自于 Galileo 的思想使得物理学真正从思辩的层次独立出来，成为科学。Galileo 的实验很简单，把一个物块放在一个斜面上，然后让这个物块滑下来达到一个平面上。接着，改变这个平面的光滑程度。物块从斜面下来以后，我们看看这个物块走得有多远。这个远近是可以测量的。我们发现，随着光滑程度的不同物块运动的距离是不一样的，而且越光滑的表面物块运动的越远。在物块接触到平面之前，所有的过程是一样的，因此（其实你也可以怀疑这个因此），物块刚刚接触到平面上的状态，不管哪一种光滑程度的平面，都是一样的。于是远近不同只能是平面的光滑程度导致的。Galileo 根据他的实验猜测，如果有一个无限光滑的平面，则这个物块会永远运动下去。也就是说，光滑程度的不同可以看作是某种力的不同，而这种力使得物块从运动变成静止。对于无限光滑的表面，这种力为零，于是物体的运动状态不发生改变，一直运动下去。现在，我们当然知道这个力就是摩擦力。但是，当时把这个运动状态发生变化的原因归结为摩擦力是革命性的。通过实验，我们还可以研究运动状态与哪些因素有关，例如，如果我们能够给力的大小定下一个度量的标尺，我们就可以研究给定大小的力对不同的物体的运动状态的改变的不同，例如这些物体可以有不同的形状、颜色、质地等等。当然，最后我们发现这个因素仅仅是物体所包含的物质的量的多少的过程，是一个非常非平庸的过程。

小结一下，理想化模型化，实验与测量，是物理学几个核心的重要的思想。质点是理想模型之一。

## 5.2 Newton 力学的基本概念

通过质点这个理想模型，我们已经有了用空间位置来描述运动的简单想法。下面，我们把这个想法实现。首先，为了准确地描述这个空间位置，我们需要有一个坐标系：一个原点，三个独立的方向，一个测量单位。通常这个坐标系的原点需要建立在一个参考系上：一个假设不动的东西。确定这个所谓的不动的东西，不是简单的事情。地球在自转和公转，所以在地球上，原则上所有的点都不能作为这个参考系。同样的，太阳系、甚至整个宇宙都在运动，没有一个点是真正意义上不动的。那我们如何选取我们的参考系，然后建立坐标系呢？如果我们的对象是一个在地球表面运动的汽车，那么在汽车的时间尺度内自转和公转造成的影响与汽车的车程相比比较小，于是，地球就是一个好的参考系。以这个汽车出发的时候的地球上的一个点作为原点，是可以接受的。如果我们考虑的是导弹的运动，那么，自转的影响可能就需要考虑。这个时候，参考系可能就要选取地球在某个时刻的点，然后考虑经过这段时间以后地球的运动，或者考虑非惯性参考系的问题。所谓惯性参考系，就是一个“不动”的参考系，或者说一个做匀速运动的参考系。也就是说，这个参考系在相对于另一个参考系运动速度不变或者运动速度为零。所谓非惯性参考系，就是以速度变化的物体为中心建立的坐标系。

在下面的讨论中，我们假设通过对所关心的过程的考察，讨论这个问题所需要的惯性参考系以及相应的坐标系已经建立起来。那么这个时候，我们的运动的轨迹的描述就是一个  $\vec{x}(t)$  的时间过程。知道这个在  $t$  时刻质点的位置  $\vec{x}(t)$  由哪些因素决定，对于给定的问题计算出  $\vec{x}(t)$  来，就是我们的理论的目标。通过微积分的学习，我们知道这个  $\vec{x}(t)$  实际上是空间的一条带参数的曲线，如果我们知道这个曲线在任何时候的切线，我们就可以把这些切线连（积分）起来得到这条曲线。也就是说  $\vec{x}(t)$  和  $\dot{\vec{x}}(t)$  加上  $t_0$  时刻的原点  $\vec{x}_0 = \vec{x}(t_0)$  是完全等价的。这个  $\dot{\vec{x}}(t)$  被称为这个质点的速度，记为  $\vec{v}(t)$ 。类似地，我们可以定义加速度  $\dot{\vec{v}}(t) = \vec{a}(t)$ ，以及更高阶的时间导数。完整地知道了任何一阶导数时间过程加上初始条件都是完全了解了这个运动。

Newton 力学告诉我们，给定一个力的位置和速度的依赖函数  $\vec{F}(\vec{x}, \vec{v})$ （由于某些我们这门课程还不能讨论的原因，这个力可以依赖于位置、速度和时间，但是不能依赖于更高阶的时间导数。为了讨论和记号简单，我们进一步假设力不依赖于时间），运动过程由以下方程决定，

$$\ddot{\vec{x}} = \vec{a} = \frac{\vec{F}(\vec{x}, \vec{v})}{m}. \quad (5.1)$$

这个方程被称为 Newton 第二定律。我们还可以把这个方程改写成一阶封闭的微分方程的形式，

$$\dot{\vec{x}} = \vec{v}, \quad (5.2a)$$

$$\dot{\vec{v}} = \frac{\vec{F}(\vec{x}, \vec{v})}{m}. \quad (5.2b)$$

在进一步讨论这个方程之前，我们先来通过几个例子熟悉一下这个方程。

**例 5.1 自由落体运动：**质量为  $m$  的小球，在地球表面的高度为  $h$  的地方落下来，初始速度为 0，问经过多长时间落地。

**例 5.2 经典一维谐振子（连着弹簧的一个小球）：**质量为  $m$  的小球，连在一根弹性系数为  $k$  原长为  $l$  的弹簧上。初始时刻，拉开小球距离为  $A$ ，求松开以后小球运动的轨迹。

**例 5.3 经典一维谐振子（连着弹簧的两个小球）：**质量为  $m$  的两个小球，连在一根弹性系数为  $k$  原长为  $l$  的弹簧上，弹簧的另一端固定在墙上。初始时刻，拉开两个小球距离为  $l + A$ ，求松开以后两个小球运动的轨迹。

实际上，在第一个例子中的地球也是这个问题的参与者，地球与小球之间的引力相互作用才是导致这个运动的原因。但是，由于小球的运动对地球的状态产生的影响基本可以忽略不计，所以我们把地球作为参考系，把随着位置变化的引力用方向和大小都不变的与地球状态无关的重力来代替。第二个例子中，弹簧的另一端，也就是墙，实际上也有运动，但是幅度小很多。于是，我们把墙看作参考系，然后把墙与小球之间的相互作用看成与墙的状态无关的弹簧的弹力。在第三个问题中，我们把墙替换成了另一个小球，这个时候，其运动也成了我们需要考察的对象，两个小球之间的力与两个小球的状态都有关系。从这个角度来看，第一个例子考察的是地球与小球之间的相互作用，第二个例子是小球与墙壁之间的相互作用，第三个是两个小球之间的相互作用。实际上，我们相信，各种各样的力，都是物体与物体之间的相互作用造成的。有的时候能够看见相互作用的各个主体有的时候只能看见一个主体或者一部分主体，是我们在考虑问题的时候根据需要划分的系统的不同造成的。让一个系统之外的外界对系统的影响不是很大的



时候,或者说倒过来,当这个系统对系统的外界影响不大的时候,我们可以把外界的主体忽略,当成一个不变的影响或者直接忽略。

这个由一个质点或者多个质点的位置的集合所构成的空间称为一个系统的位形空间。除了位形空间,我们常常还在相空间里面讨论问题。相空间就是由一个质点或者多个质点的位置加上速度的集合构成的空间。我们可以把公式 (5.1) 看作是位形空间的方程,把公式 (5.2) 看成是相空间的方程。我们知道两个方程是等价的,那为什么要引入相空间呢?因为位形空间的轨道可以相交,而相空间的轨道不能相交。很容易理解为什么位形空间的轨道可以相交,撞车就是这样发生的。那为什么相空间的轨道就不会相交呢?一个相空间的点对应了确定的位置与速度。而速度决定了下一个时刻的位置,因此,这个时刻的相空间中的一个点完全决定了下一个时刻这个点在哪里。于是,如果两个轨道在某一个点相交,则将来这两个轨道完全一样。同样的道理,过去也完全一样。于是他们就是同一条轨道。也可以用下面的例子来说明。考察一个一维系统的两条相空间轨道。一维系统的相空间是二维的,如图所示,我们来证明有两条不同的相空间轨道不可能在某点相交。

公式 (5.2) 是一个确定性微分方程,在给定初始条件的情况下解是唯一的。于是,给定相空间上的某一个点,例如就是这个交点,由于这个交点给出了两个初始条件,通过这个交点的轨道只能有一条。因此,不同轨道不能在一点相交。公式 (5.1) 也是确定性方程,但是它是二阶方程,需要两个初始条件来确定一条轨道。给定位形空间的一个点只能给定一个初始条件,因此存在多条轨道通过这个给定的点。由于相空间的这个很好的性质,在以后的讨论中,相空间是一个很重要的概念。很多时候,速度会替换成动量  $\vec{p} = m\vec{v}$ ,两者相差一个常数(对于给定的系统,质量是一个常数)。所以相空间也经常指由位置和动量坐标联合确定的空间。

作为力学本身来说,主要概念和主要结构就只有这些,空间、时间、参考系、坐标、位置、速度(动量)、加速度、力、位形空间、相空间,还有 Newton 第二定律。这些概念描述了运动,把运动与运动变化的原因,也就是力联系起来。但是,什么是力的问题,力学是回答不了的。力学回答的问题是,给定了力,也就是物体之间的相互作用之后,运动将会如何发生。给定的力到底怎样的问题,由研究具体的力的学科来回答,例如电磁学研究电磁力,引力科学研究引力,核物理学研究核力等等。

有一种类型的力称为保守力或者有势力在物理学里面特别重要。我们甚至相信所有的力的背后,如果我们把我们的系统做的足够大,把足够多的

外界包含在我们的系统之中，所有的力都应该是保守力。

### 5.3 势函数、保守力与能量守恒

保守力是指满足以下关系的力  $F(\vec{x}, \vec{v})$ ，存在一个函数  $V(\vec{x})$  满足，

$$\vec{F}(\vec{x}, \vec{v}) = -\vec{\nabla}V(\vec{x}). \quad (5.3)$$

其中  $\vec{\nabla}$  是位置坐标的导数。所以，这样的力，不能是速度  $\vec{v}$  的函数，而仅仅是位置  $\vec{x}$  的函数。

前两个例子中的力，就是保守力，也被称为有势力，也就是可以写成一个势函数然后把力看成是这个势函数的梯度的力；后面的例子中的力，一般看成是来自于相互作用，而这个相互作用的也可以写成势函数的形式。

例 5.4 前面三个例子中的势函数： $V_1 = -mgx$ ， $V_2 = \frac{1}{2}k(x-l)^2$ ， $V_3 = \frac{1}{2}(x_1 - x_2 - l)^2$ 。验证通过这三个势函数得到与前面的例子中完全相同的方程。

当方程中所有的力都是保守力的时候，我们来看一下方程公式 (5.1) 的一个变形，

$$\begin{aligned} m \frac{d}{dt} \vec{v} = -\vec{\nabla}V(\vec{x}) &\implies \vec{v} \cdot \frac{d}{dt} \vec{v} = -\vec{v} \cdot \vec{\nabla}V(\vec{x}) \\ \implies mv_x \frac{d}{dt} v_x + mv_y \frac{d}{dt} v_y + mv_z \frac{d}{dt} v_z &= -\left( v_x \frac{\partial}{\partial x} + v_y \frac{\partial}{\partial y} + v_z \frac{\partial}{\partial z} \right) V(\vec{x}) \\ \implies \frac{1}{2} m \frac{d}{dt} (v_x^2 + v_y^2 + v_z^2) &= -\left( \frac{dx}{dt} \frac{\partial}{\partial x} + \frac{dy}{dt} \frac{\partial}{\partial y} + \frac{dz}{dt} \frac{\partial}{\partial z} \right) V(\vec{x}) \\ &\implies \frac{d}{dt} \left( \frac{1}{2} m v^2 + V(\vec{x}) \right) = 0 \end{aligned}$$

也就是

$$\frac{1}{2} m v^2 + V(\vec{x}) = E. \quad (5.4)$$

这里  $E$  是一个不依赖于时间的常数。这个等式被称为能量守恒，其中第一项被称为动能  $T$ ，第二项被称为势能  $V$ 。

例 5.5 能量守恒的应用：利用能量守恒求解第一个例子中小球落地以后的速度，以及第二、第三个例子中弹簧被压缩的最大长度。

现在，我们已经完成了 Newton 力学的主要内容的学习，我们来试着求解一下下面这个问题。

**例 5.6 单摆的周期：**固定在天花板上的轻质绳子连着一个质量为  $m$  小球，拉开绳子一小段距离后松开，求小球再次回到松开位置的时间。

**受力分析的困难：**最终合力的方向与运动方向的相互关联。需要对运动形式有一定的前瞻性，洞察力。

如果我们再考虑更复杂一点的平面摆，多级摆，这个受力分析就会更困难。一个复杂的机器，有很多部分构成。这个时候，受力分析的方法基本上就不能用了。Lagrange 和 Hamilton 发明了一个不用做受力分析的求解力学问题的方法——分析力学。这里我们仅要介绍 Hamiltonian 力学。

## 5.4 从 Newtonian 力学到 Hamiltonian 力学

Hamiltonian 力学，也称为分析力学的 Hamiltonian 形式，解决的问题是，只要我们能够写下动能  $T$  和势能  $V$  作为自变量  $\vec{x}$  以及  $\vec{p}$  的函数，那么，所有的力学问题都可以直接变成求解微分方程的技术问题。我们先来看看逻辑上为什么可行，然后举几个例子学会如何运用，最后再讨论这个方法的意义。

### 5.4.1 单个质点的分析力学形式

对单个质点的守保守力作用的系统定义 Hamiltonian,

$$H = T(\vec{x}, \vec{p}) + V(\vec{x}, \vec{p}) = \frac{1}{2m} (\vec{p})^2 + V(\vec{q}), \quad (5.5)$$

同时记位置坐标  $\vec{x}$  为  $\vec{q}$ ，把自变量  $\dot{\vec{x}}$  替换成  $\vec{p}$ . Newton 方程与下列方程等价，

$$\frac{d}{dt} q_j = \frac{\partial H}{\partial p_j}, \quad (5.6a)$$

$$\frac{d}{dt} p_j = -\frac{\partial H}{\partial q_j}. \quad (5.6b)$$

其中  $x_j$  是  $\vec{x}$  的  $j$  分量的坐标。这个方程被称为 Hamilton 方程。

对于单个质点的系统，我们可以简单验证这个方程确实给出 Newton 方程。

$$\frac{d}{dt}x_j = \frac{\partial H}{\partial p_j} \implies \dot{x}_j = \frac{p_j}{m}, \quad (5.7a)$$

$$\frac{d}{dt}p_j = -\frac{\partial H}{\partial q_j} \implies \dot{p}_j = -\frac{\partial}{\partial x_j}V = F_j. \quad (5.7b)$$

于是  $m\ddot{x}_j = ma_j = F_j$ 。

例 5.7 谐振子:  $V = \frac{1}{2}k(q-l)^2$ , 从 Hamiltonian 推导出其运动方程。

知道势能, 我们可以写下来  $H = \frac{p^2}{2m} + \frac{1}{2}k(q-l)^2$ , 于是方程就成了,

$$\frac{d}{dt}q = \frac{\partial H}{\partial p} = \frac{p}{m} \quad (5.8)$$

$$\frac{d}{dt}p = -\frac{\partial H}{\partial q} = k(q-l) \quad (5.9)$$

把第二式代入第一式, 我们得到

$$\frac{d^2}{dt^2}q = \frac{\dot{p}}{m} = \frac{k}{m}(q-l). \quad (5.10)$$

这个方程与通过 Newton 力学得到的完全一致。

例 5.8 单摆: 固定在天花板上的轻质绳子连着一个质量为  $m$  小球, 写出这个小球的运动方程。

对于单摆, 我们可以写下来  $H = \frac{p^2}{2m} - mgl \cos(\theta)$ , 但是这个有一个小小的问题, 我们用了角度当作自变量, 于是将来计算偏导数的时候需要协调一下。第一个处理的方式是这样, 利用  $q = l\theta$ ,

$$l \frac{d}{dt}\theta = \frac{d}{dt}q = \frac{\partial H}{\partial p} = \frac{p}{m} \quad (5.11)$$

$$\frac{d}{dt}p = -\frac{\partial H}{\partial q} = -\frac{1}{l} \frac{\partial H}{\partial \theta} = -mg \sin(\theta) \quad (5.12)$$

于是把第二式代入第一式, 我们得到

$$\frac{d^2}{dt^2}\theta = \frac{\dot{p}}{lm} = -\frac{g}{l} \sin(\theta). \quad (5.13)$$

这个方程与通过 Newton 力学得到的完全一致。

另外一个方式是理解角动量的定义以后，直接用角度变量  $\theta$ ，角速度  $\dot{\theta}$  和角动量  $p_\theta \triangleq \vec{r} \otimes m\vec{v} = ml^2\dot{\theta}$ ，或者定义式  $p_\theta \triangleq I\dot{\theta} = ml^2\dot{\theta}$ 。于是通过  $H = \frac{1}{2}ml^2\dot{\theta}^2 - mgl \cos(\theta)$ ，得到

$$H = \frac{1}{2}ml^2 \left( \frac{p_\theta}{ml^2} \right)^2 - mgl \cos(\theta) = \frac{p_\theta^2}{2ml^2} - mgl \cos(\theta), \quad (5.14)$$

于是通过 Hamilton 方程得到

$$\frac{d}{dt}\theta = \frac{\partial H}{\partial p_\theta} = \frac{p_\theta}{ml^2} \quad (5.15)$$

$$\frac{d}{dt}p_\theta = -\frac{\partial H}{\partial \theta} = -mgl \sin(\theta) \quad (5.16)$$

于是把第二式代入第一式，我们得到

$$\frac{d^2}{dt^2}\theta = \frac{\dot{p}_\theta}{ml^2} = -\frac{g}{l} \sin(\theta). \quad (5.17)$$

这个方程与通过 Newton 力学得到的完全一致。

在这个例子中，无论是角动量的处理方式，还是把角度通过半径变成长度以后再利用一般的动量（称为线动量）来计算，得到结果是一样的。更一般的，如果了解一点点 Lagrange 力学，任意一个坐标对应着的角动量，可以通过  $p = \frac{\partial L}{\partial \dot{q}}$  来定义。这里  $q$  是广义坐标，可以是通常的直角坐标的分量值，也可以是角度，等等。而一般情况下，通过  $q$  和  $\dot{q}$  直接写出 Lagrangian 比较简单。例如，对于我们的单摆的例子，

$$L = T - V = \frac{1}{2}ml^2\dot{\theta}^2 + mgl \cos(\theta), \quad (5.18)$$

于是

$$p_\theta = \frac{\partial L}{\partial \dot{\theta}} = ml^2\dot{\theta}. \quad (5.19)$$

与我们通过角动量的定义得到的关系一致。通常从 Lagrangian 开始，而不是直接从 Hamiltonian 开始的原因是，一般情况下以坐标和坐标的导数，也就是速度，比直接从动量，为自变量写下  $T$  和  $V$  更容易。更多的细节请参看 Landau 的《力学》[?]

### 5.4.2 从单体到多体的分析力学形式

我们花了额外的本来用于学习量子力学的时间学习了 Hamilton 方程，不仅仅是因为它们可以从受力分析中解脱出来，还因为，它们的形式非常

容易推广到多体相互作用的系统。一个质点的动力学完全取决于  $V(\vec{x})$ ，而这个  $V(\vec{x})$ ，我们说过，也是由于和隐藏起来的不在系统之内的物体相互作用产生的。那么，当有多个质点，而且这个多个质点之间存在相互作用的时候，我们的理论的这个形式还能不能用呢？这里，所谓相互作用就是从受力分析的角度，一个质点受到的力不仅仅和这个质点的位置相关，也跟其他的质点的位置相关。从势能的角度来说，就是系统的势能同时依赖于多个质点的位置，而不仅仅是一个依赖于单个质点的位置的势能函数的和。用数学表达式来说明就是，

$$V(\vec{x}_1, \vec{x}_2) \neq V_1(\vec{x}_1) + V_2(\vec{x}_2) \quad (5.20)$$

从 Newton 力学来说，单个质点的系统和多个质点的系统没有本质区别，但是受力分析会复杂很多很多，任意两个质点之间的受力都需要考虑，然后最后叠加起来。幸好，分析力学的 Hamilton 形式，可以直接从单个质点推广到多个质点，仅仅需要包含一个相互作用项。以两个质点的系统为例

$$H(\vec{q}_1, \vec{q}_2; \vec{p}_1, \vec{p}_2) = \frac{\vec{p}_1^2}{2m_1} + \frac{\vec{p}_2^2}{2m_2} + V_1(\vec{q}_1) + V_2(\vec{q}_2) + V_{12}(\vec{q}_1, \vec{q}_2). \quad (5.21)$$

这个方便的形式在处理多体相互作用的系统的时候非常有用。其中  $V_{12}(\vec{q}_1, \vec{q}_2)$  就是相互作用项。这一项的取值同时依赖于这个系统内两个质点的位置，而不是一个。

**例 5.9 二级摆：**固定在天花板上的轻质硬杆连着另一个轻质硬杆，第二个轻质硬杆连着一个质量为  $m$  小球，写出这个小球的运动方程。

**例 5.10 三根弹簧连着的三个小球：**三个小球通过三根弹簧首尾相连，放在一个光滑平面上，写下这个系统的运动方程。

分析力学的形式还能够帮助我们简化约束的处理，例如，考虑一个在曲面或者曲线上运动的物体。这里我们就不再讨论，有兴趣的读者可以去看一下 Dirac 的约束运动 [?]

## 5.5 本章小结

通过力学的学习，我们已经了解到物理学的基本思考方式是描述事物的状态，以及探索事物状态发生变化的原因。Newton 力学关心的是物体

的时空状态——在任何时间点上物体在什么位置、速度是多少，以及状态发生变化的原因。利用力的概念，Newton 力学把原因与状态联系起来，也就是 Newton 第二定律。我们还了解到这个问题完全由物体的 Hamiltonian 描述，从其中我们可以得到运动方程，然后在一定的初始条件下求解运动方程我们可以得到物体任意时刻的状态，不管过去还是未来。最后，我们还了解到运用受力分析和 Newton 第二定律来处理相互作用的多体系统以及受约束的系统是很困难的，但是 Hamilton 力学使得这个问题更容易处理。

写下了一个经典系统的 Hamiltonian 就是知道了这个系统的所有信息，配上初始条件就可以得到这个系统在相空间的轨道。

实际上，除了我们已经了解的经典力学的 Newton 力学形式、Hamilton 力学形式，我们还有 Lagrange 力学形式。一方面，它们都是等价的。另一方面，我们还可以找出一个更加基本的原理，从这个原理来推出这些力学形式，而且都可以认为是从这个更加基本的原理得到的结果。这样的一个更加基本的原理就叫做最小作用量原理。关于这个部分更详细的推导请参考 Landau[?]。追求更加统一的方式来描述自然是物理学的终极目标之一。





## 第三部分

### 单粒子系统的量子力学



## 第六章 量子系统的静态描述

这一章我们先构建描述量子系统的给定状态的数学模型。这个数学模型必须能够对于任意的物理量的测量，给出与实验结果相符的理论推断。下一章，我们再来讨论状态的演化的问题。

### 6.1 有关量子状态和测量的公理

**公理 1 (量子态公理)** 量子系统的状态由 Hilbert 空间  $V$  的归一化的矢量  $|\mu\rangle$  表示，或者，等价地，由 Hilbert 空间上的密度矩阵  $\rho = |\mu\rangle\langle\mu|$  表示。

实际上密度矩阵的形式更一般，可以表示混合态。我们稍后回到这一点。Hilbert 空间矢量存在加法、数乘、内积的操作。按照这个公理这些操作也成了量子系统的状态上的相应操作。至于各个操作对于量子系统的意义，例如什么情况下我们用两个矢量的加法  $a|\mu\rangle + b|\nu\rangle$ ，什么情况下我们用两个密度矩阵的加法  $a\rho_1 + b\rho_2$ ，我们还需要以后进一步来了解。

**公理 2 (量子观测量公理)** 量子系统的可观测量由 Hilbert 空间的 Hermitian 算符矢量  $O$  表示。

是不是所有的 Hermitian 算符矢量都可以成为量子系统的可观测量是另一个问题。理论上应该可以，但是实际测量过程中，满足要求的仪器不一定能够设计的出来。Hilbert 空间的线性 Hermitian 算符存在算符的加法、数乘，线性变换等操作。按照这个公理，这些操作也成了对量子系统的可观测量的相应的操作。这些操作  $\hat{O}_1 + \hat{O}_2$  对于量子系统的含义我们也需要进一步来了解。

**公理 3 (量子测量公理)** 对于给定状态  $|\mu\rangle$  或者  $\rho$ , 测量可观测量  $O$  的所有可能结果是  $O$  的本征值  $o$  的集合, 每一个状态  $o$  出现的几率满足

$$P_o = |\langle o|\mu\rangle|^2 = \langle o|\rho|o\rangle. \quad (6.1)$$

因此, 测量的平均值满足

$$\langle O \rangle = \sum_o o P_o = \text{tr}(O\rho) = \langle \mu|O|\mu \rangle. \quad (6.2)$$

其中我们用到了  $\sum_o o P_o = \sum_o o \langle o|\rho|o\rangle = \sum_o \langle o|O\rho|o\rangle$ ,  $\langle o|$  以及  $|o\rangle$  是 Hermitian 算符  $O$  的本征向量。

**公理 4 (量子测量后状态公理)** 对于给定状态  $|\mu\rangle$  或者  $\rho$ , 测量可观测量  $O$  并观测到状态  $o^*$ , 则测量以后, 系统的状态成为特定的观测到的状态  $|o^*\rangle$  或者记为  $\rho = |o^*\rangle\langle o^*|$ 。

测量以后的状态就是所测量到的状态。这一点, 在经典力学的世界里不用特别指出: 这本来就是测量的含义——测量就是测得系统当时的状态, 因此系统在测量之后的当时, 必然就是测的结果反映的状态。在量子的世界里面, 这一点不是那么平庸。我们把这个公理单独拿出来。通常的教科书把它与上一个公理合在一起。

关于这一条公理, 还有值得注意的地方。在实际测量过程中, 对一个系统的可观测量  $O$  的测量总是通过引入另外一个叫做测量仪器的系统  $A$ , 有的时候这个仪器可以是同一个量子系统的不同的自由度——实际上相当于不同的系统, 来实现的。这个时候, 记录下来的往往是测量仪器  $A$  的状态  $\alpha^*$ , 当然这个  $\alpha^*$  与被测量的物理量的取值  $o^*$  相对应是测量之前就已经知道的知识。所以, 实际的测量过程还牵涉到如何在  $A$  和  $O$  之间建立这样的关联。这个问题, 在这里我们不讨论。仅仅当作实现公理3和公理4 的背后的暂时不需要关心的一种机制。

下面, 我们用这三条来解释上面提到的量子力学的实验。所谓解释就是我们给出一张配方 (菜谱), 在实验的每一个阶段, 你会知道如何对状态进行操作, 当时的状态是什么, 而且这样的配方对所有的量子系统都适用。至于理解这个配方, 是以后的事情。为了和经典概率论相区别, 这里我们也会尝试用经典概率论来给出一个量子行为的配方。我们可以把经典概率论写成以下这个和上面的量子理论非常相像的形式。

## 6.2 经典概率论的相应形式

在这里，我们的经典概率论局限在有限的离散随机变量的范畴之内。实际上，下面这个体系也可以拓展到无限的甚至连续的随机变量上面去。

**公理 5 [经典状态公理]** 经典系统的状态由事件集合上的密度矩阵  $\rho = \sum_{\mu} p_{\mu} |\mu\rangle\langle\mu|$  表示。

经典事件以及经典密度矩阵可以通过  $a\rho_1 + b\rho_2$  的形式相加，但是不能通过  $a|\mu\rangle + b|\nu\rangle$  形式相加。

**公理 6 (经典可观测量公理)** 经典系统的可观测量由事件集合上的对称算符矢量  $O = \sum_{\mu} O_{\mu} |\mu\rangle\langle\mu|$  表示。

算符的加法和数乘是指这样的操作  $\hat{O}_1 + \hat{O}_2 = \sum_{\mu} (O_{1,\mu} + O_{2,\mu}) |\mu\rangle\langle\mu|$ 。其中这里的基矢和密度矩阵的基矢都对应着基本简单事件  $\mu$ 。也就是说，基矢变换在这里没有意义。算符和密度矩阵完全对角，而且存在自然的基矢集合。

**公理 7 (经典测量公理)** 对于给定状态  $\rho$ ，测量可观测量  $O$  的所有可能结果是  $O$  的本征值  $o$  的集合，每一个状态  $o$  出现的几率满足

$$P_o = \langle o|\rho|o\rangle. \quad (6.3)$$

因此，测量的平均值满足

$$\langle O \rangle = \sum_o o P_o = \text{tr}(O\rho). \quad (6.4)$$

**公理 8 (经典测量后状态公理)** 对于给定状态  $\rho$ ，测量可观测量  $O$  并观测到状态  $o^*$ ，则测量以后，系统的状态成为特定的观测到的状态记为  $\rho = |o^*\rangle\langle o^*|$ 。

我们看到经典概率论与量子理论的形式完全一致，唯一的区别就是量子理论允许矢量相加，于是写成密度矩阵的形式时候 ( $\rho = |\mu\rangle\langle\mu|$ ) 存在非对角元，而经典密度矩阵只存在对角元素。

为了简化记忆，所有的这些公理，唯一需要记住的公式就是

$$\langle O \rangle = \text{tr}(O\rho), \quad (6.5)$$

不管经典还是量子。从这个公式（公式 (6.5)）可以得到公式 (6.1)。取可观测量  $\hat{P}_o = |o\rangle\langle o|$ ，其中  $|o\rangle\langle o|$  是原来的可观测量的所有的可能取值的一个，于是，

$$P_o = \langle \hat{P}_o \rangle = \text{tr}(|o\rangle\langle o|\rho) = \langle o|\rho|o\rangle. \quad (6.6)$$

也就是说，无论经典概率论还是量子力学，整个静态描述的问题，完全就是一个公式——公式 (6.5)。当然，两者还是有区别的，在强调一次：量子力学的理论建立在矢量空间的基础上，因此允许矢量加法；经典概率论的理论建立在事件集合的基础上，因此只允许概率叠加，没有矢量加法。前者导致一般来说密度矩阵存在非对角元，后者导致密度矩阵完全对角，而且对角的表象就是把简单事件作为基矢。因此，在经典系统中，我们必然候有

$$\langle \mu|\nu\rangle = \delta_{\mu\nu}, \quad (6.7)$$

而在量子系统中，我们可能有

$$\langle \mu|\nu\rangle \in [0, 1]. \quad (6.8)$$

有了这些数学结构和以上的数学和物理之间关系公理，我们就可以来讨论如何用量子理论来描述量子系统的行为了。

### 6.3 量子静态理论用于描述测量实验

我们首先来看一下自旋的测量的实验。看看经典概率论和量子理论能否描述这个实验。然后我们会讨论光子 which-way 实验。光子过玻璃的实验就留给读者来解释了。

#### 6.3.1 自旋的测量和再测量

实验装置如图所示，让一个自旋先通过一个  $z$  方向的磁场，然后挡住  $z$  方向向下状态的出口，仅仅让  $z$  方向向上状态出射。然后让射出的自旋接着再通过  $z$  方向的磁场。测量这个时候有几个输出。试验结果我们已经知道，只有一个输出，就是向上。我们来构造这个实验的理论，也就是回答每一个时刻的状态是什么，测量的物理量是什么，测量结果是什么的问题。我们先写下状态的数学表达式，然后验证其是否正确。将来，我们再讨论针对什么样的情况，我们应该写下什么样的状态的数学表达式。

通过第一个磁场之前的状态未知，我们不写了。通过第一个状态之后，自旋的状态是

$$\rho_1 = |\uparrow_z\rangle\langle\uparrow_z|, \quad (6.9)$$

第二个装置代表所测量的物理量是

$$\sigma_z = |\uparrow_z\rangle\langle\uparrow_z| - |\downarrow_z\rangle\langle\downarrow_z|. \quad (6.10)$$

于是按照我们的理论，无论是量子还是经典，测量的结果是，

$$\begin{cases} p_{\uparrow_z} = \langle\uparrow_z|\rho_1|\uparrow_z\rangle = 1 \\ p_{\downarrow_z} = \langle\downarrow_z|\rho_1|\downarrow_z\rangle = 0 \end{cases}. \quad (6.11)$$

这个结果与实验结果一致——只有一个输出，向上。

这表明，在这个实验上，我们的理论能够解释实验。但是，这里的密度矩阵和可观测量都是对角的，因此，这个理论既可能是量子的，也可能是经典的。也就是说，这个实验可以用经典的，也可以用量子的理论来解释。下面，我们再来看一个稍微有一点差别的实验。

实验装置如图所示，让一个自旋先通过一个  $z$  方向的磁场，然后挡住  $z$  方向向下状态的出口，仅仅让  $z$  方向向上状态出射。然后让射出的自旋接着再通过一个  $x$  方向的磁场。测量这个时候有几个输出。试验结果我们已经知道，有两个输出。我们来构造这个实验的理论，也就是回答每一个时刻的状态是什么，测量的物理量是什么，测量结果是什么的问题。

注意，经过第一个装置以后的状态，不应该随着第二个装置的改变而改变。这个是一个很重要的逻辑假定。因为第二个装置可以是在很远很远的将来很远很远的地方做的测量，逻辑上很难接受，自旋经过第一个装置的状态取决于很远的将来在很远的地方发生的事情。这个叫做因果律。一般情况下，物理学需要尊重因果律。

于是，

$$\rho_1 = |\uparrow_z\rangle\langle\uparrow_z|, \quad (6.12)$$

第二个装置代表所测量的物理量是

$$\sigma_x = |\uparrow_x\rangle\langle\uparrow_x| - |\downarrow_x\rangle\langle\downarrow_x|. \quad (6.13)$$

为了得到与实验一致的理论结果，我们需要

$$\begin{cases} p_{\uparrow_x} = \langle \uparrow_x | \rho_1 | \uparrow_x \rangle = \langle \uparrow_x | \uparrow_z \rangle \langle \uparrow_z | \uparrow_x \rangle = \frac{1}{2} \\ p_{\downarrow_x} = \langle \downarrow_x | \rho_1 | \downarrow_x \rangle = \langle \downarrow_x | \uparrow_z \rangle \langle \uparrow_z | \downarrow_x \rangle = \frac{1}{2} \end{cases} \quad (6.14)$$

这个结果表示  $\langle \uparrow_x | \uparrow_z \rangle = \frac{\sqrt{2}}{2} e^{i\theta} \neq 0 \neq 1$ 。我们已经说过，经典概率论的任意简单事件需要满足  $\langle \mu | \nu \rangle = \delta_{\mu\nu}$ ，因此这个结果就表明经典概率论是不能描述量子系统的行为的。当然，实际上更一般的经典概率论还是有可能的，例如尽管  $|\uparrow_z\rangle$  代表简单事件但是  $|\uparrow_x\rangle$  代表了复合事件。简单事件和复合事件之间的内积就可以允许各种可能了。对于这样的更一般的经典理论用来描述量子系统的行为的可能性的讨论可见第二章。在这里我们就不展开讨论了。简单地说，一个把  $|\uparrow_z\rangle$  看作简单事件把  $|\uparrow_x\rangle$  看作复合事件的理论是有缺陷的。这两个状态之间应该是完全对称的，其差别仅仅是把仪器转动了一个方向而已。例如，我们可以让第一个装置取  $x$  方向，第二个装置取  $z$  方向。那样的话，我们的经典理论就必须把  $|\uparrow_x\rangle$  看成简单事件，把  $|\uparrow_z\rangle$  看作复合事件。很难想象，这样的理论是可行的。不过，实在有必要这样的理论也是允许的。

在这里，我们假设各个方向的类似于  $|\uparrow_z\rangle$  这样的矢量都是同样地位的事件。于是，我们发现，简单的经典理论不能描述量子系统的行为，必须是量子理论才可以。

现在，我们来进一步讨论下一个自旋实验。我们挡住上一个实验中经过第二个装置以后的  $x$  方向向下的自旋，仅仅让  $x$  方向向上的自旋出去。这个时候，我们再让这个出射的自旋经过一个  $z$  方向的磁场，问有几个输出。实验结果是有两个输出。我们来看，我们的理论应该如何构造。

首先，我们可以通过进一步的实验验证，这个先经过  $z$  方向向上再从  $x$  方向向上出射的自旋与直接从  $x$  方向向上出射的自旋的状态是一样的。在这里，所谓一样的就是，无论做什么样的测量，结果都一样。也就是说，这个状态都是

$$\rho_2 = |\uparrow_x\rangle \langle \uparrow_x|. \quad (6.15)$$

接着，这个状态需要做第三个装置也就是  $\sigma_z$  的测量，于是

$$\begin{cases} p_{\uparrow_z} = \langle \uparrow_z | \rho_2 | \uparrow_z \rangle = \langle \uparrow_z | \uparrow_x \rangle \langle \uparrow_x | \uparrow_z \rangle = \frac{1}{2} \\ p_{\downarrow_z} = \langle \downarrow_z | \rho_2 | \downarrow_z \rangle = \langle \downarrow_z | \uparrow_x \rangle \langle \uparrow_x | \downarrow_z \rangle = \frac{1}{2} \end{cases} \quad (6.16)$$



在这里，我们已经把需要符合实验结果的测量几率直接写在表达式里面。到这里为止，这个实验看起来好像和前面一个没有什么区别。

但是，注意，我们来看一些这个最终结果：一开始  $z$  方向向下的成分被挡住了，去掉了，然后经过某个操作（实际上是过  $x$  方向以后挡住向下的成分）， $z$  方向向下的成分又回来了。这个结果，在经典世界里面，就好像是说一个盒子的红球和黑球，首先去掉所有红球，接着去掉这些球里面玻璃做的留下塑料的，然后，红球又出现了。这是一件多么不可思议的事情啊。但是，你看，我们的量子理论可以描述这件事情，只要我们允许  $\langle \uparrow_z | \uparrow_x \rangle = \frac{\sqrt{2}}{2} e^{i\theta} \neq 0 \neq 1$ 。

所以，从这几个实验我们得到量子力学区别与经典力学的基本特征是取任意两个状态  $\mu, \nu$ ,  $\langle \mu | \nu \rangle = \delta_{\mu\nu}$  不一定满足。这个关系满足的时候，我们的量子理论自然就过渡到了经典理论。

在这一节的最后，我们来回答为什么我们要把  $\rho_1$ 、 $\rho_2$  写成这个样子。首先，我们说

$$\sigma_{\hat{r}} = |\uparrow_{\hat{r}}\rangle \langle \uparrow_{\hat{r}}| - |\downarrow_{\hat{r}}\rangle \langle \downarrow_{\hat{r}}|. \quad (6.17)$$

这个表示对于任意方向的测量，我们得到两个结果—— $\hat{r}$  方向向上或者  $\hat{r}$  方向向下的输出。为了能够区分这样两个方向的输出，我们记其中一个方向的结果为  $+1$ （本征值），另一个为  $-1$ （本征值）。于是，按照这个记号，一个  $\hat{r}$  方向向上的输出（也就是观察到可观测量的值为  $+1$  的时候的测量后状态）的状态应该记作，

$$\rho = |\uparrow_{\hat{r}}\rangle \langle \uparrow_{\hat{r}}|. \quad (6.18)$$

于是剩下的问题就成了按照实验结果来定义合适的  $\langle \uparrow_z | \uparrow_{\hat{r}} \rangle, \langle \downarrow_z | \uparrow_{\hat{r}} \rangle$  了。假设我们知道了这两个数（由于是复数，实际上技术上比我说的要复杂一些），那么按照完全性关系，我们就可以得到，

$$|\uparrow_{\hat{r}}\rangle = |\uparrow_z\rangle \langle \uparrow_z | \uparrow_{\hat{r}} \rangle + |\downarrow_z\rangle \langle \downarrow_z | \uparrow_{\hat{r}} \rangle. \quad (6.19)$$

例如取  $\hat{r}$  为  $x$  方向，那么按照  $\langle \uparrow_z | \uparrow_x \rangle = \frac{\sqrt{2}}{2} = \langle \downarrow_z | \uparrow_x \rangle$ （额外的复常数  $e^{i\theta}$  先不管它，以后我们再讨论），那么，我们得到，

$$|\uparrow_x\rangle = \frac{\sqrt{2}}{2} (|\uparrow_z\rangle + |\downarrow_z\rangle). \quad (6.20)$$

类似的, 我们可以得到 (或者我们直接在二维空间里面根据一个矢量来求得另一个完全正交的矢量)

$$|\downarrow_x\rangle = \frac{\sqrt{2}}{2} (|\uparrow_z\rangle - |\downarrow_z\rangle). \quad (6.21)$$

于是

$$\sigma_x = |\uparrow_x\rangle\langle\uparrow_x| - |\downarrow_x\rangle\langle\downarrow_x| = |\uparrow_z\rangle\langle\downarrow_z| - |\downarrow_z\rangle\langle\uparrow_z|. \quad (6.22)$$

同样的道理, 我们可以把任意的  $\sigma_{\hat{r}}$  表达成为  $|\uparrow_z\rangle, |\downarrow_z\rangle$  的形式。于是, 我们就得到了  $\sigma_z$  表象下的任意  $\sigma_{\hat{r}}$  自旋算符的形式。在这里, 我们给出这个答案, 作为例题。

**例 6.1** 已知  $\sigma_{\hat{r}} = \vec{\sigma} \cdot \hat{r} = \sigma_x \sin(\theta) \cos(\phi) + \sigma_y \sin(\theta) \sin(\phi) + \sigma_z \cos(\theta)$ , 其中  $\sigma_x, \sigma_y, \sigma_z$  为 Pauli 矩阵。求解矢量  $|\uparrow_{\hat{r}}\rangle$  和  $|\downarrow_{\hat{r}}\rangle$  在  $\sigma_z$  表象下的形式。 $\hat{r}$  方向由球坐标的两个角度  $\theta$  和  $\phi$  描述。

**作业 6.1** 构建一个自旋经过  $z$  方向的 Stern-Gerlach 装置之后, 挡住向下的输出把向上的输出送到一个  $\hat{r}$  方向的 Stern-Gerlach 装置之中得到的实验结果的数学描述。一个这样的数学描述包含: 任意时刻的状态, 测量的可观测量, 测量各种结果及其几率等的数学模型。

**作业 6.2** 计算一个自旋经过  $z$  方向的 Stern-Gerlach 装置之后, 挡住向下的输出把向上的输出送到一个  $\hat{r}$  方向的 Stern-Gerlach 装置之中, 挡住向下的输出, 再送到一个  $z$  方向的 Stern-Gerlach 装置之后的实验结果。试验结果的描述需要包含所有的可能结果以及各个结果的几率。

**作业 6.3** 坐标变换对自旋状态的作用: 考虑一个三维位置空间的矢量, 一个绕  $z$  轴转动  $\alpha$  角度的操作可以写成一个矩阵形式 (先试着写下来试试, 找找感觉)。现在, 我们来考虑同样的转动对于自旋状态的效果。取任意一个自旋, 看一看经过这个转动之后自旋的状态的数学表达式成了什么样, 然后尝试用矩阵运算的方式把前后两个自旋状态联系起来。问这个时候那个联系着之前的和之后的自旋状态的矩阵是什么? 对于任意的转动, 我们可以写下来这个相应的矩阵吗? 对三维空间的矢量是可以的。对于任意的转动, 你不需要明确写下这个表达式。但是如果通过查阅资料能够找到, 也可以写下来, 不计分。提示: 对于自旋, 尝试考虑么正变换, 也就是  $|\psi'\rangle = U|\psi\rangle$  的形式; 可以考虑一个原来是  $\hat{r}(\theta, \phi)$  方向向上状态的自旋矢量, 经过坐标轴旋转之后成了哪一个方向的矢量, 然后通过这个写下新的矢量的表达式; 不一定要按照提示的思路。

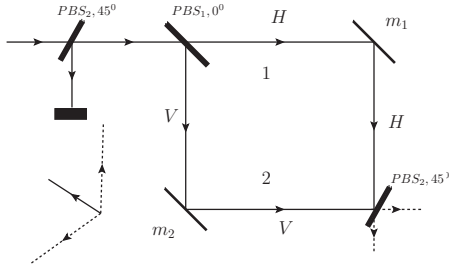


图 6.1: 光子的 which-way 实验装置示意图

### 6.3.2 光子的 which-way 实验

我们再来看一下光子 which-way 实验。同样地，描述一个实验我们需要描述任意时刻的状态，所测量的可观测量，测量的结果的所有可能性和相应的几率。

经过第一个透过  $45^\circ$  偏振光的偏振分束器以后（之前的我们不关心）的光子的状态为  $45^\circ$  偏振，于是（以后我们会了解为什么是这样的状态。现在可以把  $H$  当作  $0^\circ$  偏振，相当于  $\uparrow_z$ ， $V$  当作  $90^\circ$  偏振，相当于  $\downarrow_z$ ，而  $45^\circ$ ，相当于  $\uparrow_x$ ）

$$\rho_1 = |45^\circ\rangle\langle 45^\circ| = \frac{1}{2}(|H+V\rangle\langle H+V|). \quad (6.23)$$

如果我们在第一个偏振分束镜后面就放一个屏幕，那么我们测量的就是竖直  $H$  和水平  $V$  方向的偏振。我们来看一下，按照我们的理论，我们会得到什么结果。我们的可观测量这时候是

$$O_1 = |H\rangle\langle H| - |V\rangle\langle V|, \quad (6.24)$$

其中，为了记号方便，我们把我们的屏幕的荧光点标记为  $\pm$ ：如果水平方向（这个时候是光路方向，不是偏振方向，记为  $h$ ）过来的光达到屏幕上记为  $+$ ，如果竖直方向（记为  $v$ ）过来的光达到屏幕上记为  $-$ 。按照公理3，我们有测量结果的概率分布，

$$\rho_1^c = \frac{1}{2}|h\rangle\langle h| + \frac{1}{2}|v\rangle\langle v| = \frac{1}{2}|+\rangle\langle +| + \frac{1}{2}|-\rangle\langle -|, \quad (6.25)$$

也就是说水平方向、竖直方向收到光子的概率都是  $\frac{1}{2}$ ，或者说屏幕上记录一个  $+$  或者  $-$  的可能性都是  $\frac{1}{2}$ 。

这个预测与真实的实验结果完全吻合。现在，我们用同样的配方，来看一下在第二个偏振分束镜做的测量。由于经过第一个分束镜以后，两个光路被反射镜又完全合到了一起，我们知道（更多的细节以后会补充）这个时候，

$$\rho_2 = \frac{1}{2} (|H+V\rangle\langle H+V|). \quad (6.26)$$

光子的偏振状态完全与入射第一个分束镜的时候相同。第二个分束镜是按照  $45^\circ$  来分开光束，因此（更多细节以后会补充，粗略地理解就是  $|H+V\rangle$  代表  $45^\circ$  的方向， $|H-V\rangle$  代表  $135^\circ$  的方向），

$$O_2 = \frac{1}{2} |H+V\rangle\langle H+V| - \frac{1}{2} |H-V\rangle\langle H-V|. \quad (6.27)$$

于是，我们得到可能观测结果的几率分布，

$$\rho_2^c = 1 \cdot |h\rangle\langle h| + 0 \cdot |v\rangle\langle v| = 1 \cdot |+\rangle\langle +| + 0 \cdot |-\rangle\langle -|, \quad (6.28)$$

也就是说水平方向、竖直方向收到光子的概率分别是 1,0，或者说屏幕上记录一个 + 或者 - 的可能性分别是 1,0。这个结果也与实验结果完全吻合。

下面，我们来解释为什么合回来的光子状态是  $\rho_2$ ，以及为什么  $|H+V\rangle$  代表  $45^\circ$  的方向， $|H-V\rangle$  代表  $135^\circ$  的方向。同样的，这个解释不是为了理解，而是配方层次的解释。我们先规定  $|H\rangle$  代表  $0^\circ$  的方向， $|V\rangle$  代表  $90^\circ$  的方向的偏振光。那么  $45^\circ$  的偏振光如何表示呢？按照我们的公理1，所有的各个方向的偏振状态的集合是一个 Hilbert 空间，而且这个空间还是两维的：原因是无论哪里一个方向的偏振光过来，经过偏振分束镜以后只有两种可能——要么走水平方向要么走竖直方向。因此， $|45^\circ\rangle$  必然能够表达成  $|H\rangle, |V\rangle$  的线性叠加，也就是说，

$$|45^\circ\rangle = \alpha |H\rangle + \beta |V\rangle = \cos \theta |H\rangle + \sin \theta e^{i\phi} |V\rangle, \quad (6.29)$$

其中我们用归一化条件找出了独立变量  $\theta, \phi$ 。对于高维的系统，这样的独立变量会更难找。对于这个状态，我们重复前面  $O_1$  的测量，可以看到观测的所有可能值的分布函数满足，

$$\rho_{1,45^\circ}^c = \cos^2 \theta |h\rangle\langle h| + \sin^2 \theta |v\rangle\langle v|. \quad (6.30)$$

这个可以做实验来比较。通过进一步的实验，我们可以发现， $45^\circ$  的偏振光束给出的出射光是等几率的，于是

$$\cos^2 \theta = \sin^2 \theta, \quad (6.31)$$

我们得到  $\theta = 45^\circ$  或者  $\theta = 135^\circ$ 。至于到底是  $45^\circ$  还是  $135^\circ$  的问题，人为规定一个就可以。通常，我们取逆时针方向作为角度增加的方向。 $\phi$  的确定更加复杂一些，我们暂时采取最简单的  $\phi = 0$ ，以后我们会回到这个问题。

进入下一部分量子系统的演化之前，最后的问题：为什么  $\rho_1$  经过分束镜，然后经过反射镜，合回来的光子状态是  $\rho_2$ 。同样地，这里给出的是配方层次的解释。考虑光子的偏振和光子走的光路构成的整个系统，我们称先走水平方向然后反射回到垂直方向的光路为光路 1，先走垂直方向然后反射回到水平方向的光路为光路 2。在光子进入偏振分束镜之前，整个系统的状态为

$$\rho_0^{P,T} = \frac{1}{2} (|H + V\rangle \langle H + V|) \otimes |0\rangle \langle 0|, \quad (6.32)$$

其中  $P, T$  分别表示偏振 (polarization) 和路径 (Trajectory)，0 表示在光子经过分束镜之前的光路。此时它不区分光路 1, 2。经过分束镜进入反射镜之前，

$$\rho_1^{P,T} = \frac{1}{2} (|H \otimes 1 + V \otimes 2\rangle \langle H \otimes 1 + V \otimes 2|). \quad (6.33)$$

这表示偏振为  $H$  ( $V$ ) 的光子走的是路径 1 (2)。经过反射镜之后到达最后的分束镜之前，

$$\rho_2^{P,T} = \frac{1}{2} (|H \otimes 0 + V \otimes 0\rangle \langle H \otimes 0 + V \otimes 0|) = \frac{1}{2} (|H + V\rangle \langle H + V|) \otimes |0\rangle \langle 0|. \quad (6.34)$$

这表示偏振为  $H$  和  $V$  的光子走的路径重新不可区分 (关于这个不可区分性下一节6.4有更详细的解释。这里表示路径重新合起来之后，到底从哪一条路径过来的已经不可能知道了)。对于这个状态，如果我们只关心偏振状态而不是光子的路径的话，那么这个系统的状态就跟如下状态等价

$$\text{tr}^T (\rho_2^{P,T}) = \frac{1}{2} (|H + V\rangle \langle H + V|). \quad (6.35)$$

我们得到的状态正好是前面的  $\rho_2$ 。这里，我们用了部分迹的运算  $\text{tr}^T (\cdot)$ ，它表示对变量  $T$  的自由度求和。当我们需要计算的可观测量只与  $P$  的自由度有关的时候，按照公理3，

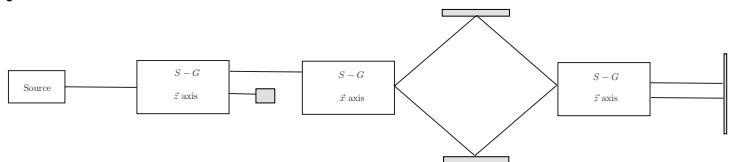
$$\langle O^P \rangle = \text{tr} (O^P \rho^{P,T}) = \text{tr}^P (O^P \text{tr}^T (\rho^{P,T})). \quad (6.36)$$

因此， $\text{tr}^T (\rho^{P,T})$  就好像是这种情况下系统在  $P$  自由度下的状态，称为约化密度矩阵。在经典概率论中，对应的数学概念就是约化密度分布函数。

用以上配方，我们可以类似地解释双缝干涉实验，以及光过玻璃的实验。再一次强调，这里所谓的解释，其实是一个预测量子系统状态的机器，一个数学模型：从一个最开始的状态出发（这个状态本身在给定实验条件的情况下有固定的规则写下来），测量的结果是什么（可观测量原则上由给定的实验仪器与步骤确定），测量以后的状态是什么；然后测量结果与测量以后的状态能够通过进一步的实验检验。

物理学的理论，可以认为是对世界如何运行的描述，甚至有的时候可以回答为什么的问题。但是，其基本任务是回答是什么，怎么样的问题。也就是说，如果有一个理论，对于给定的实验条件、实验仪器、实验步骤的系统的实验结果能够给出正确的计算结果，那么这个理论就是这个现象的好的理论。当然，一个更好的理论还要求能够解释更多的同类的现象。但是，只要能够达到以上的目标，一个理论就能够建立起来。在量子力学的理论中，路径积分子量子化的物理图像就与我们这里的正则量子化的图像有所不同。一个好的物理学家，对于核心的现象，头脑中常常是多于一个理论的，而且还要能够在这些不同形式的理论之间自由的转换。

**作业 6.4** 计算一个自旋经过  $z$  方向的 Stern-Gerlach 装置之后，挡住向下的输出把向上的输出送到一个  $x$  方向的 Stern-Gerlach 装置之中，接着把两个可能的输出经过反射再次合起来，送到一个  $z$  方向的 Stern-Gerlach 装置之后的实验结果。试验结果的描述需要包含所有的可能结果以及各个结果的几率。



## 6.4 粒子走哪一条路径和概率叠加原理

现在，我们来回答第一章当中提出的一个问题：为了描述量子系统的行为，我们不能同时保留“粒子走哪一条路径”和“概率叠加原理”，那么我们保留什么，去掉什么。在我们这一章中已经建立的量子理论告诉我们，首先，我们需要用“量子事件叠加原理”（更多的时候被称作“量子状态叠加原理”或者“态叠加原理”）来代替“概率叠加原理”。现在，我们再来看一下，是不是我们就可以留着“粒子走哪一条路径”了呢，是不是“概率叠加原理”在量子力学就不能用了呢？

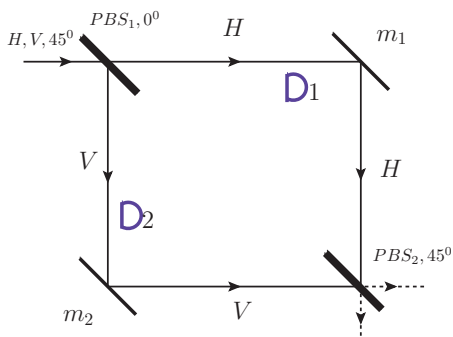


图 6.2: 加了探测器的光子的 which-way 实验装置示意图

我们先给出答案，然后进一步用实验来说明。对于实验中不能区分的两条路径，我们用“量子事件叠加原理”；对于实验中能够区分的两条路径，我们用“概率叠加原理”；而且后者可以做为前者的推论。也就是说，当我们能够问和回答“粒子走哪一条路径”的时候，我们需要用“概率叠加原理”，否则，当我们从根本上就不能回答“粒子走哪一条路径”的时候，我们需要用“量子事件叠加原理”。

也就是说，粒子走一条路径或者走另一条路径的说法仅仅在“概率叠加原理”成立的情形下有意义，对于必须要用到“量子事件叠加原理”的情形，因为我们不再能够区分粒子到底走哪一条路，我们不在采用“粒子走一条路径或者走另一条路径”的说法，也不再问是否“粒子同时走两条路”，而是简单粗暴地把两条路径所代表的状态直接按照“量子事件叠加原理”加起来。

下面我们采用加了探测器的光子的 which-way 来给这两个叠加原理做一个比较，给“能否回答粒子走哪一条路径”做一个说明。

首先，我们考虑入射光的偏振状态

$$\rho_1^P = |45^\circ\rangle\langle 45^\circ| = \frac{1}{2}(|H+V\rangle\langle H+V|). \quad (6.37)$$

加上光路状态以后，我们有

$$\rho_1^{PT} = \frac{1}{2}(|H+V\rangle\langle H+V|) \otimes |0\rangle\langle 0|. \quad (6.38)$$

其中  $|0\rangle\langle 0|$  表示进入第一个偏振分束器之前的光路。接着，我们考虑经过第一个偏振分束器之后的状态，

$$\rho_2^{PT} = \frac{1}{2} (|H \otimes 1 + V \otimes 2\rangle \langle H \otimes 1 + V \otimes 2|). \quad (6.39)$$

下一步，我们考虑增加探测器的效果，

$$\begin{aligned} \rho_{2D}^{PT} &= \frac{1}{2} (|H \otimes 1 \otimes D_1 + V \otimes 2 \otimes D_2\rangle \langle H \otimes 1 \otimes D_1 + V \otimes 2 \otimes D_2|) \\ &= \frac{1}{2} (|H \otimes 1 \otimes D_1\rangle \langle H \otimes 1 \otimes D_1| \\ &\quad + |H \otimes 1 \otimes D_1\rangle \langle V \otimes 2 \otimes D_2| \\ &\quad + |V \otimes 2 \otimes D_2\rangle \langle H \otimes 1 \otimes D_1| \\ &\quad + |V \otimes 2 \otimes D_2\rangle \langle V \otimes 2 \otimes D_2|). \end{aligned} \quad (6.40)$$

这个时候，我们来做一件在经典概率论中经常做的事情，约化分布函数：对于两个随机变量的联合分布函数，如果我们只关心其中一个变量的分布函数，我们取

$$\rho^1 = \text{tr}^2(\rho^{12}) = \text{tr}^{-1}(\rho^{12}). \quad (6.41)$$

有的时候我们也用后面的记号，表示把系统 1 的变量留下来，其它都取和或者积分掉。现在，我们利用这个公式对探测器的状态取和，也就是说，把探测器的状态取和以后的状态是

$$\rho_{2D}^{PT} = \langle D_1 | \rho_{2D}^{PT} | D_1 \rangle + \langle D_2 | \rho_{2D}^{PT} | D_2 \rangle = \frac{1}{2} (|H \otimes 1\rangle \langle H \otimes 1| + |V \otimes 2\rangle \langle V \otimes 2|). \quad (6.42)$$

这个时候我们发现，非对角元全部消失了！这个状态下，如果我们计算输出的结果的几率，我们就会发现，有两个输出，而且几率相等。

于是，我们发现，如果加入探测器，那么，实验结果是有两个输出，和经典概率论的解释一致，而且也与实验结果一致[需要参考文献](#)。也就是说，加入了探测器之后，粒子到底走哪一条路径，成了可以分辨的了，于是，我们应该采用两条路径的状态的“概率叠加”。其结果正好就是公式 (6.42)。那么什么时候得到的状态会回到形如公式 (6.35) 的“量子态叠加”呢？在一种情况下可能：探测器  $D_1$  和  $D_2$  完全不准确，不管粒子过哪一条路径，探测器都会发光。例如原来准确的探测器如果发现路径 1 (2) 有光子就显



示红（绿）光，但是现在的探测器不管那个光路上有光子都显示白光。于是实际上

$$D_1 = D_2 = D \quad (6.43)$$

那么，对公式 (6.40) 经过部分迹求和之后，我们得到

$$\rho_2^{PT} = \frac{1}{2} (|H \otimes 1 + V \otimes 2\rangle \langle H \otimes 1 + V \otimes 2|), \quad (6.44)$$

也就是公式 (6.35)。

所以，实际上我们的“路径能否区分”的概念就相当于探测器是否准确。对于完全准确的探测器，我们采用“概率叠加”，对于完全不准确的探测器，我们才用“量子态叠加”。对于粒子走哪一条路径的问题，在完全准确的探测器的情况下，我们可以问。在完全不准确的探测器的情况下，我们不能问这个问题。我们也不能问是否粒子同时走两条路径的问题。因为只要你问这样的问题，为了回答它们，我们就需要准确的探测器。然后，只要有准确的探测器，实际上我们就不得不放弃“量子态叠加”而采用“概率叠加”，整个得到的状态就不再是加入探测器之前的状态了。

当然，在你明白量子系统的量子性被探测器破坏之前需要采用“量子态叠加”之后，那么你就算采用“粒子同时走两条路径”或者“粒子走的路径有两个可能”的说法的时候——只要你确实采用“量子态叠加”的方式——就没有问题。路径积分量子力学就建立在这样一个图景之上。现在我们强调在量子力学里面“粒子到底走哪一条路径”的问题不能问（问了就需要测量，测量了就改变了状态），但是路径积分形式的量子力学就采用这样一种视角 [?]: 每一条路径，记为  $\mathcal{L}$ ，的贡献可以写成一个复数形式的振幅  $\mathcal{A}(\mathcal{L}) e^{iS(\mathcal{L})}$ ，然后我们需要把所有的路径的贡献采用“量子态叠加”的方式加起来，得到的结果就是整体的量子态。

在本节的最后，我们交代一个我们故意隐藏起来的问题：为什么从两个随机变量的联合密度矩阵通过部分迹运算我们得到的是其中一个变量的密度矩阵，或者说更好地问题是承认这个部分迹操作是从联合密度矩阵到部分变量的密度矩阵的定义，但是我们需要回答什么时候我们要做这样的操作，什么时候不做。例如，就算我们已经得到了公式 (6.44)，如果我们对它做一个光路的部分迹，我们就会得到

$$\rho_{2,false}^P = \frac{1}{2} (|H\rangle \langle H| + |H\rangle \langle H|). \quad (6.45)$$

而这个密度矩阵给出的结果是将来有两个输出，是不符合实验结果的。于是，我们的问题是，为什么现在我们不这个部分迹操作，而对于探测器的问题，我们需要做部分迹操作呢？什么东西使得探测器成了特殊的一个东西，凡是看见它们以后都需要做一个部分迹呢？

这个问题我们现在还回答不了。但是，这是一个将来需要回答的问题。如果你想了解更多，你可以在 Google 上检索“退相干”或者“decoherence”。

## 6.5 完整地测量自旋的状态

由于量子测量的几率特征，见公理3和公理4，单次测量给我们的信息有限。例如如果一次测量给我们的结果是某个本征值出现了，我们仅仅能够说：这个被测量的状态和出现这个本征值代表的状态不正交，包含了这一部分分量。那么，这个时候，我们自然就要问这样一个问题：我们如何通过测量明确地知道一个量子态呢？例如，对于一个从  $z$  方向向上射出的自旋，是不是我们只有采用了  $z$  方向的测量，而且一直看不见向下的地方有输出，我们才知道这个自旋的状态确实是  $|\uparrow_z\rangle$  呢？如果是这样的话，我们如何从所有的方向中，刚好选到了这个  $z$  方向呢？我们不仅仅对给定的方向要做很多次测量，还需要选择所有的方向都尝试那么多次的测量。如果是这样的话，通过测量来确定量子态就是一个非常不可能完成的任务了。

实际上，我们有更简单的办法。任意的自旋的状态，可以表达成，

$$\rho = \begin{bmatrix} p & q \\ q^* & 1-p \end{bmatrix}. \quad (6.46)$$

总共就是三个变量（复数  $q$  算两个），也就是说，如果我们把实验设计好了，我们只需要三个试验结果就可以得到这个状态的一般表达式。我们来试试测量  $\sigma_x$ 、 $\sigma_y$ 、 $\sigma_z$  的平均值。例如，

$$\langle \sigma_z \rangle = \text{tr}(\rho \sigma_z) = 2p - 1. \quad (6.47)$$

也就是说，如果我们测量得到  $\sigma_z$  的平均值，那么我们就知道了参数  $p$ 。接着，我们有

$$\langle \sigma_x \rangle = q + q^*, \langle \sigma_y \rangle = i(q - q^*). \quad (6.48)$$

于是，我们只需要把这三个自旋的平均值都测量一下，当然，每一个量的测量还是需要很多次才能得到平均，而不是测量所有的方向很多很多次，就可以得到自旋的状态了。

## 6.6 量子与经典密度矩阵的区别

这一部分，我们来尝试用经典密度矩阵来解释双缝干涉现象、光子 which-way 实验和电子 which-way 实验。在那之前，我们尝试更简单的：来解释一下 Stern-Garlach 实验。我们说满足如下分布的纯随机客体，给出的计算结果能够解释 Stern-Garlach 实验，

$$\rho_c = \frac{1}{2} (|H\rangle\langle H| + |V\rangle\langle V|). \quad (6.49)$$

我们同样测量前面的可观测量  $O_1$ ，按照公理3（同时也是经典系统遵循的），我们得到测量结果的分布函数

$$\rho_c^c = \frac{1}{2} |+\rangle\langle +| + \frac{1}{2} |-\rangle\langle -|. \quad (6.50)$$

这表示测量的结果有两种可能（重复多次的话，屏幕上会有两个斑点），这两种可能的几率都是  $\frac{1}{2}$ 。那么这样的经典密度矩阵是不是也能够解释双缝干涉现象、光子 which-way 实验和电子 which-way 实验呢？我们试试。

还是按照前面的配方，第一步，到达第一面偏振分束镜之前的状态是

$$\rho_0^{PT;c} = \frac{1}{2} (|H\rangle\langle H| + |V\rangle\langle V|) \otimes |0\rangle\langle 0|. \quad (6.51)$$

经过第一面分束镜之后，到达反射镜之前，

$$\rho_1^{PT;c} = \frac{1}{2} (|H \otimes 1\rangle\langle H \otimes 1| + |V \otimes 2\rangle\langle V \otimes 2|). \quad (6.52)$$

经过二面分束镜之前，

$$\rho_2^{PT;c} = \frac{1}{2} (|H\rangle\langle H| + |V\rangle\langle V|) \otimes |0\rangle\langle 0|, \quad (6.53)$$

回到入射光的状态。然后我们需要计算按照  $45^\circ$  和  $135^\circ$  方向偏振的几率。原则上，为了计算这个，我们需要代表这两个方向偏振光的算符  $\hat{P}_\theta$ ，然后利用  $P_\theta = \text{tr}(\hat{P}_\theta \rho)$  算出这两个偏振方向的几率。实际上，经典力学框架之内，我们找不到这样的算符的数学形式。我们只能通过实验来给一个说法。

首先，我们注意到，对于我们的具体情况，

$$P_\theta = \text{tr}(\hat{P}_\theta \rho_2^{PT;c}) = \frac{1}{2} \text{tr}(\hat{P}_\theta \rho_{2,H}^{PT;c}) + \text{tr}(\hat{P}_\theta \rho_{2,V}^{PT;c}) = \frac{1}{2} P_\theta^H + \frac{1}{2} P_\theta^V, \quad (6.54)$$

其中， $\rho_{2,H}^{PT;c}$  代表  $\rho_2^{PT;c}$  的第一部分（关于  $|H\rangle\langle H|$  的部分）， $\rho_{2,V}^{PT;c}$  代表  $\rho_2^{PT;c}$  的第二部分（关于  $|V\rangle\langle V|$  的部分）。这个公式表明，不管  $\hat{P}_\theta$  是什么，概率性

叠加公式是成立的：某事件有两种发生的可能，则其概率是这两种事件发生概率按照全概率公式取和。现在，我们需要知道  $P_{45^\circ}^H, P_{45^\circ}^V$  和  $P_{135^\circ}^H, P_{135^\circ}^V$ 。因为没有算符的具体形式，我们通过如下的实验来推算这几个数值。制备光子的状态  $|H\rangle\langle H|$ ，然后做  $45^\circ$  偏振分束镜的测量。也就是让上面的实验中的光路 1（标注了  $H$ ）的光子直接通过第二面偏振分束镜，同时把光路 2（标注了  $V$ ）的光子挡住。实验告诉我们，分束镜之后有两个可能的输出光斑，多次实验告诉我们这两个光斑的强度在误差范围内完全相同。于是我们知道，

$$P_{45^\circ}^H = \frac{1}{2} = P_{135^\circ}^H. \quad (6.55)$$

类似的，我们可以通过让光路 2 的光子单独打到分束镜上得到

$$P_{45^\circ}^V = \frac{1}{2} = P_{135^\circ}^V. \quad (6.56)$$

于是，

$$P_{45^\circ} = \frac{1}{2} \cdot \frac{1}{2} + \frac{1}{2} \cdot \frac{1}{2} = \frac{1}{2} = P_{135^\circ}. \quad (6.57)$$

最终我们得到：按照经典力学的几率表达式公式 (6.51)，我们会得到两个可能的输出光斑，而且其多次实验得到的强度相同。这个计算结果与实验完全不相符。

对比公式 (6.23) 和公式 (6.49)，我们看到其区别就是

$$\Delta\rho = \frac{1}{2} (|H\rangle\langle V| + |V\rangle\langle H|). \quad (6.58)$$

这个部分只有在量子的密度矩阵中存在，经典的没有。然而这部分对于解释量子系统的实验行为是非常重要的。由于量子系统的状态由 Hilbert 空间的矢量描述，而矢量可以用基矢的叠加来表示（例如  $|\mu\rangle = \mu_1 |v_1\rangle + \mu_2 |v_2\rangle$ ），当我们把这样的矢量转变成为密度矩阵的时候（ $\rho = |\mu\rangle\langle\mu|$ ），必然会带来以上形式的交叉项。我们粗略地称之为密度矩阵的非对角元。之所以“粗略”是因为这些非对角元在其它的表象下，可以成为对角元。而且因为密度矩阵是 Hermitian 的这样的表象总是存在的，尽管这个表象和具体实验中的可观测量的表象经常不一样。如果两者一样，那么在这个一样的表象下，密度矩阵和可观测量都是对角的。这个时候，整个系统的数学形式就完全回到了经典概率论的形式。至少在这个可观测量的测量的角度来说，量子性（相干相消或者相干相长）消失了。当然，同样的系统，如果我们考虑另外一个

可观测量，只要这个可观测量对应的算符与前一个可观测量不能对易（可对易算符有共同本征矢量集合），那么这个时候量子性又会体现出来。因此，也可以说量子力学的量子性体现在算符的非对易性上：物理量不再是数，而是矩阵或者说算符。

尽管我们一再指出，通过量子实验表现出来的量子系统的行为使得我们有必要引入事件之间的加法操作，才是量子力学的数学采用矩阵的形式的原因，其实，形式上，我们完全可以从对易关系开始构建整个量子力学。这个就是正则量子化。正则量子化的内容我们会在第八章中介绍。

在此之前，我们需要学习一点点量子系统的演化的描述。在上面的例子中，我们有一个小小的未完成的步骤，为什么状态是  $\rho_0^{PT}$  光子经过偏振分束镜就能够变成状态  $\rho_1^{PT}$  了呢？这个问题与量子系统的演化有关。在解释它之前，让我们来学习一下量子系统的演化。



## 第七章 量子系统的演化

上一章，我们讨论了对于一个量子系统的给定的状态，我们如果测量某一个物理量，我们得到的结果是什么，描述这个“过程”的数学模型是什么。实际上在这里，对这个“过程”的数学描述并不是一个真实的发生在某一段时间内的过程。我们把所有的时间因素都去掉了。至于这个过程是否一定需要发生在一段时间之内，我们暂时不讨论。在这一章里面，我们来讨论一个系统的一个时间段的前后两个状态之间的联系。我们学习过经典力学，我们知道力学的基本问题就是状态如何描述（上一章已经解决），状态如何发生变换以及发生变换的原因是什么。量子力学也是力学，也需要问后一个问题。经典力学中所有的这部分的信息放在了 Hamiltonian 里面，现在，我们来看看量子力学的情况。

如果我们需要考察前后两个状态之间是否有联系，那么我们可以给定实验装置之后，制备一个初始状态（例如让自旋通过  $z$  方向的 Stern-Gerlach 装置以后挡住向下的部分仅仅让向上的通过），然后让这个初始状态在同样的实验装置（例如  $x$  方向的磁场，为什么这样选一会儿就会知道）里面呆不同的时间，最后来测量从这个装置里面出来的状态，然后考察这个状态和时间的关系。我们还可以制备不同的初始状态的自旋，通过同样的仪器同样的时间，从而考察初始状态与末状态之间的关系。当然，为了验证我们的仪器是一个完整的确定了的仪器，我们需要通过让同样的初始状态的自旋通过同样的装置同样的时间来确定，我们得到的状态是同一个状态。

有了以上的实验结果，我们就可以构造演化过程的可能的数学理论了。实际上，上面的这些实验都是做过的。但是，并不完全是在量子理论提出来之前，有些实验实在之后。所以，尽管我们今天对于下面构造出来的量子力学的演化过程的数学理论可以按照这个逻辑方式来理解，但是实际上量子力学的演化过程的数学理论是 Schrödinger 猜出来的。等价的形式还有 Heisenberg 的矩阵力学，Feynman 的路径积分。这里我们先介绍

Schrödinger 的形式。

## 7.1 Schrödinger 方程

公理 9 (量子态的演化公理) 对于给定初始状态  $|\psi(0)\rangle$  或者  $\rho(0)$  的系统, 系统自身动力学完全由系统的 Hamiltonian ( $H$ ) 通过如下方程决定,

$$i\frac{\partial}{\partial t}|\psi(t)\rangle = H|\psi(t)\rangle, \quad (7.1)$$

或者等价地

$$i\frac{\partial}{\partial t}\rho(t) = [H, \rho(t)]. \quad (7.2)$$

这个方程被称为 Schrödinger 方程。有时候, 后者也被称为 Liouville-von Neumann 方程。如果  $H$  不显含时间, 形式上以上的两个方程可以解开如下,

$$|\psi(t)\rangle = e^{-iHt}|\psi(0)\rangle, \quad (7.3)$$

或者等价地

$$\rho(t) = e^{-iHt}\rho(0)e^{iHt}. \quad (7.4)$$

利用  $H$  的本征值和本征向量 (记为  $E_n, |n\rangle$ ), 我们还可以得到

$$U(t) = e^{-iHt} = e^{-iHt} \sum_n |n\rangle\langle n| = \sum_n e^{-iE_n t} |n\rangle\langle n|. \quad (7.5)$$

也就是说, 如果我们能够得到  $H$  的本征值和本征向量, 那么, 从给定的初始状态出发, 任何一个时刻的状态我们都可以得到。

得到新的时间点的状态之后, 如果我们需要在这个状态上对某一个可观测量做测量, 我们在利用前面的公理3来解决测量结果的问题。现在, 我们用一个例子来展示一下这个公理的应用。

**例 7.1** 经过  $z$  方向磁场以后, 在其正方向出射 (反方向完全被挡主) 的  $\frac{1}{2}$ -自旋系统, 经过  $x$  方向磁场  $B$  中  $t = \frac{\pi}{2B\mu}$  时间以后出射。求正方向和反方向接收到自旋的几率。

在这里, 对于这个具体问题, 我们要做一个如何构造 Hamiltonian 的说明。对于所有的自旋系统

$$H = -\mu_0 \vec{S} \cdot \vec{B} = -\frac{\hbar}{2} \mu_0 \vec{\sigma} \cdot \vec{B} \triangleq -\mu \vec{\sigma} \cdot \vec{B}. \quad (7.6)$$



在最后的表达式中，我们把合起来的常数当作  $\mu$ 。以后，我们就一直用这个符号体系：对于  $\frac{1}{2}$  的自旋，我们取

$$H = -\mu \vec{\sigma} \cdot \vec{B}. \quad (7.7)$$

在跟实际实验对比的时候，我们需要把这些常数还原。但是这里，我们不关心。

有了这个 Hamiltonian 我们就可以利用公理9求出演化算符，

$$U(t) = \sum_n e^{-iE_n t} |n\rangle \langle n| = e^{i\mu B t} |\uparrow_{\hat{r}}\rangle \langle \uparrow_{\hat{r}}| + e^{-i\mu B t} |\downarrow_{\hat{r}}\rangle \langle \downarrow_{\hat{r}}|. \quad (7.8)$$

其中  $\hat{\sigma}_{\hat{r}}$  的本征矢量  $|\uparrow_{\hat{r}}\rangle$  和  $|\downarrow_{\hat{r}}\rangle$  我们以前都计算过。这里  $\hat{r} = \hat{x}$ ，因此，

$$\begin{aligned} |\psi(t)\rangle &= U(t) |\psi(0)\rangle = e^{i\mu B t} |\uparrow_x\rangle \langle \uparrow_x | \uparrow_z\rangle + e^{-i\mu B t} |\downarrow_x\rangle \langle \downarrow_x | \uparrow_z\rangle \\ &= \frac{e^{-i\frac{\pi}{2}} |\uparrow_x\rangle + e^{i\frac{\pi}{2}} |\downarrow_x\rangle}{\sqrt{2}}. \end{aligned} \quad (7.9)$$

在这个例子中，我们从一个  $|\uparrow_z\rangle = \frac{|\uparrow_x\rangle + |\downarrow_x\rangle}{\sqrt{2}}$  出发，由于  $x$  方向磁场的作用我们得到了末状态  $\frac{e^{i\frac{\pi}{2}} |\uparrow_x\rangle + e^{-i\frac{\pi}{2}} |\downarrow_x\rangle}{\sqrt{2}} = i \frac{|\uparrow_x\rangle - |\downarrow_x\rangle}{\sqrt{2}} = i |\downarrow_z\rangle$ 。然后，我们就可以通过测量这个末状态（见 6.5 节）来验证它确实是这样的。

这个例题中的演化算符和相应的 Hamiltonian 具有特殊的地位：这个演化算符被称为 NOT 算符，其作用是把  $|\uparrow_z\rangle$  和  $|\downarrow_z\rangle$  相互翻转，就好像是一个计算机逻辑运算中的非运算一样，把 0 和 1 互换。

**作业 7.1** 一个自旋系统，给定 Hamiltonian 为

$$H = \frac{1}{4 + 2\sqrt{2}} \begin{pmatrix} 1 & -1 - \sqrt{2} \\ -1 - \sqrt{2} & 3 + 2\sqrt{2} \end{pmatrix}. \quad (7.10)$$

在这里，我们先不管这样的 Hamiltonian 是如何得来的，对应着什么样的外界对自旋的相互作用。验算经过时间  $\pi$  之后，系统的状态由演化如下算符决定，

$$U = \frac{1}{\sqrt{2}} \begin{pmatrix} 1 & 1 \\ 1 & -1 \end{pmatrix}. \quad (7.11)$$

这个算符有一个专门的名字——Hadamard 算符。看看这个算符把  $|\uparrow_z\rangle$  和  $|\downarrow_z\rangle$  分别映射成什么？

例 7.2 初始状态是  $\rho_0^{P,T}$  光子经过偏振分束镜就能够变成状态  $\rho_1^{P,T}$ : 一个 3 维 Hilbert 空间和 2 维 Hilbert 空间直积构成的空间, 定义 Hamiltonian

$$H = \Sigma \otimes \sigma_z, \quad (7.12)$$

其中  $\Sigma = i\frac{\sqrt{3}}{3} \begin{bmatrix} 0 & 1 & -1 \\ -1 & 0 & 1 \\ 1 & -1 & 0 \end{bmatrix}$  是测量仪器部分的 Hamiltonian,  $\sigma_z$  是光子部分的 Hamiltonian, 满足  $\sigma_z|H\rangle = |H\rangle$ ,  $\sigma_z|V\rangle = -|V\rangle$ 。定义  $U = e^{-iH\tau}$ , 其中  $\tau = \frac{4\pi}{3}$ , 证明

$$\rho_1^{P,T} = U\rho_0^{P,T}U^\dagger. \quad (7.13)$$

实际上, 我们需要证明

$$U|0\rangle \otimes |H\rangle = |1\rangle \otimes |H\rangle, U|0\rangle \otimes |V\rangle = |2\rangle \otimes |V\rangle. \quad (7.14)$$

有了这个很容易就能够证明公式 (7.13)。我们以证明第一部分为例。首先, 我们做一个关于算符  $\Sigma$  的说明。第一, 为什么它是 3 维的。我们需要把一个一开始的状态  $|0\rangle$  按照不同的情况分别映射到  $|1\rangle$  和  $|2\rangle$  态, 于是这个空间至少是 3 维的, 而且 3 维也就够了, 因为我们考虑的对象总共也就这三种可能。第二, 我们来看一下这个  $\Sigma$  算符的三个本征态, 本征值分别为  $\sigma = 0$ ,  $\sigma = -1$ ,  $\sigma = 1$ ,

$$|\sigma = 0\rangle = \frac{\sqrt{3}}{3} [1, 1, 1]^T \quad (7.15)$$

$$|\sigma = -1\rangle = \frac{\sqrt{3}}{3} [-1, e^{-i\frac{\pi}{3}}, e^{i\frac{\pi}{3}}]^T \quad (7.16)$$

$$|\sigma = 1\rangle = \frac{\sqrt{3}}{3} [-1, e^{i\frac{\pi}{3}}, e^{-i\frac{\pi}{3}}]^T \quad (7.17)$$

于是, 代入演化算符的定义以及  $\tau = \frac{4\pi}{3}$ , 我们有

$$e^{-i\Sigma\tau} = \sum_{\sigma} e^{-i\sigma\tau} |\sigma\rangle \langle\sigma| = \begin{bmatrix} 0 & 0 & 1 \\ 1 & 0 & 0 \\ 0 & 1 & 0 \end{bmatrix} \quad (7.18)$$

于是

$$e^{-i\Sigma\tau} |0\rangle = |1\rangle, e^{i\Sigma\tau} |0\rangle = |2\rangle. \quad (7.19)$$

现在, 我们可以来讨论  $U|0\rangle\otimes|H\rangle$  了,

$$U|0\rangle\otimes|H\rangle = e^{-i\Sigma\otimes\sigma_z\tau}|0\rangle\otimes|H\rangle = e^{-i\Sigma\tau}|0\rangle\otimes|H\rangle = |1\rangle\otimes|H\rangle. \quad (7.20)$$

同理,

$$U|0\rangle\otimes|V\rangle = e^{-i\Sigma\otimes\sigma_z\tau}|0\rangle\otimes|V\rangle = e^{i\Sigma\tau}|0\rangle\otimes|V\rangle = |2\rangle\otimes|V\rangle. \quad (7.21)$$

这个例子说明, 测量仪器的状态和被测量物体的状态之间的关联的建立, 实际上是通过两个系统之间的相互作用来完成的, 而这个相互作用的过程可以用量子系统的演化方程——Schrödinger 方程来描述。

到此为止, 量子力学的基本框架的内容就有了。我们的基本任务是帮助读者理清思路, 建立最基本的框架, 掌握最核心的概念, 学会运用最基本的计算分析技术。到这里, 我们的基本任务就完成了。下一节, 我们介绍与 Schrödinger 方程等价的 Heisenberg 方程。

## 7.2 Schrödinger 绘景与 Heisenberg 绘景

坐标变换实际上相当于对量子状态也做了一个相应的变换。例如围绕  $z$  轴的  $\frac{\pi}{2}$  旋转, 记为  $R_z\left(\frac{\pi}{2}\right)$ , 把原来的  $y$  轴变成了新的  $x'$  轴, 把新的  $y'$  建立在了原来的  $x$  轴的负方向。那么原来的例如  $x$  轴的向上方向的矢量就成了在新的坐标下的  $y'$  轴的正方向的矢量, 也就是  $|\downarrow_x\rangle \rightarrow |\uparrow_{y'}\rangle$ , 这相当于, 在  $\sigma_z$  表象下,

$$\frac{\sqrt{2}}{2} \begin{bmatrix} 1 \\ -1 \end{bmatrix} \rightarrow \frac{\sqrt{2}}{2} \begin{bmatrix} 1 \\ i \end{bmatrix} = S\left(R_z\left(\frac{\pi}{2}\right)\right) \frac{\sqrt{2}}{2} \begin{bmatrix} 1 \\ -1 \end{bmatrix}. \quad (7.22)$$

我们把这个由于坐标变换  $R_z\left(\frac{\pi}{2}\right)$  导致的自旋的状态的变换记为  $S\left(R_z\left(\frac{\pi}{2}\right)\right)$ 。

我们暂时不去关心  $R_z\left(\frac{\pi}{2}\right)$  和  $S\left(R_z\left(\frac{\pi}{2}\right)\right)$  的具体形式。对于有兴趣的读者这些具体形式的问题称为群的表示理论, 类似于  $R_z\left(\frac{\pi}{2}\right)$  这样的所有的坐标变换构成一个群。了解坐标变换会导致一个自旋状态的形式变换这件事情在这个阶段比我们找出具体的这些变换的算符的形式重要。

在做坐标变换的时候, 我们希望有一种东西是不变的, 例如, 对于这里的旋转, 我们希望我们的这个自旋状态, 初始是  $|\downarrow_x\rangle$ , 后来为  $|\uparrow_{y'}\rangle$  仅仅是记号上的改变, 实际上, 这个矢量的意义没有变换, 就是那个如果在原来的坐标下面看来, 是  $|\downarrow_x\rangle$ , 在后来的坐标下看起来是  $|\uparrow_{y'}\rangle$  的那个自旋矢量。那

么这个不变的东西用什么样的数学形式来表达呢？答案是，这个矢量在任何一个可观测量下的观测值（包含本征值和本征值出现的几率）是不变的，也就是说，

$$\text{tr}(A|\downarrow_x\rangle\langle\downarrow_x|) = \text{tr}(A'|\uparrow_y\rangle\langle\uparrow_y|). \quad (7.23)$$

实际上，不仅仅是这个矢量，我们要求对于任意的自旋矢量，上式都成立，

$$\text{tr}(A|\mu\rangle\langle\mu|) = \text{tr}(A'|\mu'\rangle\langle\mu'|), \quad (7.24)$$

其中， $|\mu\rangle$  是老坐标下的矢量， $|\mu'\rangle$  是新坐标下的矢量。用我们的记号，

$$|\mu'\rangle = S|\mu\rangle, \quad (7.25)$$

那么只要

$$A' = SAS^\dagger, \quad (7.26)$$

并且

$$S^\dagger S = I = SS^\dagger, \quad (7.27)$$

上式就成立。满足这个性质的变换  $S$ ，分别按照相应的形式作用在矢量上和算符上，称为么正变换。么正变换在量子力学里面具有特殊的地位：由于这样的变换不改变矢量和算符的含义，仅仅改变两者的形式，它们被称为不改变物理的变换，仅仅是换一个观测的角度。物理学的规律对于仅仅改变观测的角度的变换是不变的，包含所有的公式不变，所有的观测值不变，被认为是物理学的基本假设。

现在，我们用这个么正变换以及其不变性的角度来提出一种与 Schrödinger 方程完全等价的量子力学体系——Heisenberg 力学。之前我们已经学习的描述量子系统演化的方式——分布函数（密度矩阵）发生演化可观测量算符不变描述，称为 Schrödinger 绘景。现在，我们介绍另一种让可观测量算符的发生演化，分布函数保持不变的描述方法，称为 Heisenberg 绘景。这样的一个视角的转换——从关心态的演化到关心算符的演化——有的时候可以方便求解某些问题。以后我们会了解到，谐振子就是这样的一个例子。

我们已经知道，对于  $H$  不显含时间  $t$  的量子系统，其的演化可以表达为

$$\rho(t) = e^{-iHt}\rho(0)e^{iHt}, \quad (7.28)$$

物理量  $A^S$  (为了表示 Schrödinger 绘景的算符与将要定义的 Heisenberg 绘景的算法的区别, 我们把之前的算符的记号稍作修改, 加上一个上标  $S$ ) 的观测值  $\alpha$  和相应的几率  $p_\alpha$ , 由如下方程决定

$$p_\alpha = \text{tr}(|\alpha^S\rangle\langle\alpha^S|\rho(t)) = \langle\alpha^S|\rho(t)|\alpha^S\rangle = \langle\alpha^S|e^{-iHt}\rho(0)e^{iHt}|\alpha^S\rangle. \quad (7.29)$$

现在, 我们定义

$$A^H = e^{iHt}A^S e^{-iHt}, \quad (7.30)$$

$$\rho^H = e^{iHt}\rho^S(t)e^{-iHt} = \rho^S(0). \quad (7.31)$$

然后记相应的  $A^H$  的本征向量为  $|\alpha^H(t)\rangle$ , 则

$$|\alpha^H(t)\rangle = e^{iHt}|\alpha^S(t)\rangle \quad (7.32)$$

因此,

$$\text{tr}(A^H\rho^H) = \text{tr}(|\alpha^H(t)\rangle\langle\alpha^H(t)|\rho(0)) = \langle\alpha^S|e^{-iHt}\rho(0)e^{iHt}|\alpha^S\rangle = p_\alpha. \quad (7.33)$$

也就是说, 计算各种观测量的方式和得到的结果都不变。这种保持变换前后基本公式的形式和计算结果都不变的变换, 在物理学里, 有非常重要的地位。于是, 我们得到量子力学的另一种形式,

$$A^H = e^{iHt}A^S e^{-iHt}, \quad (7.34)$$

$$\rho^H = \rho^S(0), \quad (7.35)$$

$$\langle A \rangle = \text{tr}(A^H\rho^H). \quad (7.36)$$

这里, 最后一个公式中的算符  $A$  可以是任何一个可观测量的算符。因此, 如果我们用这个绘景来讨论物理问题, 则我们需要求解所有的物理量对应的算符的演化方程。这个, 有可能比求解密度矩阵的演化 (只有一个方程) 来的复杂, 除非我们能够找到一个最小的固定的算符的集合, 所有的其它算符都可以用这个集合里面的算符来表达。对于任意算符, 我们还可以得到一般的算符的演化方程。对  $A^H$  求时间  $t$  的导数, 我们有

$$i\frac{\partial}{\partial t}A^H = [A^H, H]. \quad (7.37)$$

这个方程被称为 Heisenberg 方程。实际上, 在量子力学的进一步发展, 我们会看到, 很多时候 Heisenberg 绘景反而使问题变得更容易处理, 因为

这个最小而固定的算符（其实，一个例子就是我们在谐振子问题中用到的产生湮灭算符）集合经常能够被找到。这个，将来有机会学习量子场论的过程中，我们会看见。

例 7.3 假设我们有一个系统，它的 Hamiltonian 是  $H = \omega a^\dagger a$ ，其中  $[a, a^\dagger] = 1$ ，求解  $a^H(t)$ 。

首先， $a^{\dagger,H} = e^{-iHt} a^\dagger e^{iHt}$ ， $a^H = e^{-iHt} a e^{iHt}$ ，于是，

$$[a^H, a^{\dagger,H}] = e^{-iHt} [a, a^\dagger] e^{iHt} = 1. \quad (7.38)$$

其次， $H = \omega a^{\dagger,H} a^H$ 。接着，把算符  $a^{\dagger,H} a^H$  代入 Heisenberg 方程，我们得到

$$i \frac{\partial}{\partial t} a^H = [a^H, \omega a^{\dagger,H} a^H] = \omega a^H \quad (7.39)$$

求解这个方程，我们得到

$$a^H(t) = e^{-i\omega t} a^S. \quad (7.40)$$

类似的我们可以得到，

$$a^{\dagger,H}(t) = e^{i\omega t} a^{\dagger,S}. \quad (7.41)$$

于是，如果我们已知初始状态的时候，任意一个能够由  $a^S$  和  $a^{\dagger,S}$  表达的算符的平均值  $\langle A(a^{\dagger,S}, a^S) \rangle$  那么，我们自然就知道了平均值  $\langle A^H(a^{\dagger,H}, a^H) \rangle$ 。而后者，根据我们绘景变换的说明就是在新的状态下测量算符  $A$  得到的平均值。把上面这句话里面的平均值换成所有的可能结果以及这些结果的相应几率也是正确的。

这个问题的物理背景和以上计算的物理意义在下一章中会解释。目前阶段，请把这个举例仅仅当作 Heisenberg 方程的一个练习。至少，通过这个练习，我们学会了计算 Heisenberg 方程，而且我们了解到能够在 Schrödinger 绘景下计算的物理量也能够在 Heisenberg 绘景下来完成。

## 第八章 单个谐振子的量子力学

整个这一本量子力学教材中，仅仅这一章，和通常的量子力学教材是类似的。在这一章中，我们从二维 Hilbert 空间的量子系统的讨论，跳到位置表象下的量子力学系统的讨论。然后，我们又会回到抽象的 Hilbert 空间的形式。其实，位置表象下的波函数也是抽象的 Hilbert 矢量空间的矢量。为了和经典力学相联系，我们需要介绍一下正则量子化。正则量子化是把一个经典系统看作一个量子系统的经常采用的办法。

### 8.1 位置表象

正则量子化的基本思想是，找到一个经典系统的正则坐标  $q$  和正则动量  $p$ ，然后把  $q$  和  $p$  都升级成算符  $\hat{q}$  和  $\hat{p}$ ，并假设其对易关系为

$$[\hat{q}, \hat{p}] = i. \quad (8.1)$$

这两个物理量之间的对易关系有时候被称为正则对易关系。然后其它物理量，它们是  $q, p$  的函数，就成了  $\hat{q}, \hat{p}$  的算符。其中，对应关系的细节（例如  $q^2 p$  应该成为  $\hat{q}^2 \hat{p}$  还是  $\hat{q} \hat{p} \hat{q}$ ）还需要进一步讨论，但是有了正则对易关系之后，其他的物理量都成了一般情况下不相互对易的算符。于是，共同本征矢量不存在了，密度矩阵的表述需要非对角元了，量子干涉现象出现了。我们的下一个例子就是一维谐振子的量子化。在符号上，这一节我们把位置算符  $\hat{q}$  重新还原成  $\hat{x}$ ，特指位置表象，而不是更一般的广义坐标表象。

在讨论这个具体例子之前，我们来看一下，位置表象是什么，位置表象下的算符，包含动量、能量等，又如何的位置表象下通过一定的基矢表达出来。首先，我们来看位置算符  $\hat{x}$  的本征值  $x$  和本征向量  $|x\rangle$ ，

$$\hat{x}|x\rangle = x|x\rangle. \quad (8.2)$$

这个时候我们需要知道  $x$  的取值范围。

从物理问题上，我们就可以知道，这个问题的答案是所有的实数，因为在实验上我们可以观察粒子到达任何一个点的这样一个事件。假设将来有一个状态  $|\Psi\rangle = \sum_x \Psi(x) |x\rangle$ ，或者说  $|\Psi\rangle = \int dx \Psi(x) |x\rangle$ （为了记号简单，连续变量的积分符号和离散变量的求和符号不再区分），其中  $|x\rangle$  表示基矢， $\Psi(x)$  这个基矢下的分量，然后我们做一个位置  $\hat{x}$  的测量，按照量子力学的一般框架就应该有

$$P_x = \langle x | (|\Psi\rangle \langle \Psi|) |x\rangle = |\Psi(x)|^2. \quad (8.3)$$

于是，既然各个点原则上都有测得粒子的概率，那么，至少  $\Psi(x)$  原则上应该有可能不为零的值。我们再从数学上来看  $x$  的取值范围。

先假设我们有某一个本征值  $x_0$  和本征向量  $|x_0\rangle$ ，然后我们来构造一个本征向量  $|x + x_0\rangle$ ：定义一个矢量  $e^{-ix\hat{p}} |x_0\rangle$ 。我们考虑  $\hat{x} e^{-ix\hat{p}} |x_0\rangle$ 。运用公式 (8.1)，我们可以写出如下表达式，

$$\begin{aligned} \hat{x} e^{-ix\hat{p}} |x_0\rangle &= \hat{x} \sum_n \frac{(-ix)^n}{n!} \hat{p}^n |x_0\rangle \\ &= \sum_n \frac{(-ix)^n}{n!} \hat{x} \hat{p}^n |x_0\rangle \\ &= \sum_n \frac{(-ix)^n}{n!} \hat{x} \hat{p} \hat{p}^{n-1} |x_0\rangle \\ &= \sum_n \frac{(-ix)^n}{n!} (i + \hat{p}\hat{x}) \hat{p}^{n-1} |x_0\rangle \\ &= (x + x_0) e^{-ix\hat{p}} |x_0\rangle \end{aligned} \quad (8.4)$$

于是  $e^{-ix\hat{p}} |x_0\rangle$  也是算符  $\hat{x}$  的本征向量，而且其本征值为  $(x + x_0)$ 。从这里，我们看到，由于任意  $x$  的值， $e^{-ix\hat{p}} |x_0\rangle$  都是  $\hat{x}$  的本征向量，于是算符  $\hat{x}$  的取值空间是所有的实数（联系到测量的实验，位置空间的点是实数）。换过来说，把位置和动量算符的对易关系取为公式 (8.1)，与我们可以测量位置空间中的任意一个点粒子到达的几率这件事情没有矛盾。这个计算的倒数第二步用到了对易关系公式 (8.1)，然后接着的最后一步把这个对易关系重复了足够多次来把算符  $\hat{x}$  移到表达式的最右边。

有了位置空间的所有的本征矢量  $\{|x\rangle\}$  构成的矢量空间之后，我们来研究算符  $\hat{x}, \hat{p}$  在这个空间中的表达式。对于算符  $\hat{x}$ ，我们有

$$\hat{x} |x\rangle = x |x\rangle. \quad (8.5)$$



于是

$$\hat{x} = \sum_x \hat{x}|x\rangle\langle x| = \sum_x x|x\rangle\langle x|. \quad (8.6)$$

我们来看看满足以上对易关系的  $\hat{p}$  会是什么？我们先给出答案，再给出一个直观的说明。答案是在  $|x\rangle$  的表象下，任意一个函数  $\psi(x)$  成了一个如下的矢量，

$$|\psi\rangle = \sum_x \psi(x)|x\rangle, \quad (8.7)$$

算符  $\hat{x}$  作用在  $|\psi\rangle$  可以表达成其如何做用在分量  $\psi(x)$  上：

$$\hat{x}|\psi\rangle = \sum_x \hat{x}\psi(x)|x\rangle = \sum_x x\psi(x)|x\rangle, \quad (8.8)$$

于是，从分量形式来看，

$$\hat{x}\psi(x) = x\psi(x). \quad (8.9)$$

那么，在这个意义上，从分量形式来看，

$$\hat{p}\psi(x) = -i\frac{\partial}{\partial x}\psi(x). \quad (8.10)$$

可以验证如下：

$$(\hat{x}\hat{p} - \hat{p}\hat{x})\psi(x) = -ix\frac{\partial}{\partial x}\psi(x) + i\frac{\partial}{\partial x}x\psi(x) = i\psi(x). \quad (8.11)$$

于是，

$$\left[ x, -i\frac{\partial}{\partial x} \right] = i. \quad (8.12)$$

现在我们来给一个更数学的说明（更严格的证明见喀兴林的《高等量子力学》[?]）。从正则对易关系出发，

$$\langle x' | i | x \rangle = \langle x' | (\hat{x}\hat{p} - \hat{p}\hat{x}) | x \rangle = \langle x' | \hat{p}(x' - x) | x \rangle = (x' - x) \langle x' | \hat{p} | x \rangle \quad (8.13)$$

因此

$$\langle x' | \hat{p} | x \rangle = i \frac{\langle x' | x \rangle}{(x' - x)} = i \frac{\delta(x' - x)}{(x' - x)} = -i \frac{\partial}{\partial x'} \delta(x' - x). \quad (8.14)$$

最后一步，我们利用了 Dirac  $\delta$  函数的性质， $x\delta'(x) = -\delta(x)$  或者说  $-\delta'(x) = \frac{\delta(x)}{x}$ （这两个表达式可以用分步积分证明。更严格的数学证明可以避开这两

个等式 [?])。这个就是算符  $\hat{p}$  在  $\hat{x}$  的本征矢量的表象下的分量形式。这个表象称为位置表象。如果我们愿意，我们可以验证

$$\langle x | \hat{p} | \psi \rangle = \sum_{x'} \langle x | \hat{p} (|x'\rangle \langle x'|) | \psi \rangle = \sum_{x'} -i \frac{\partial}{\partial x} \delta(x - x') \psi(x') = -i \frac{\partial}{\partial x} \psi(x). \quad (8.15)$$

以后，在位置表象下，当我们把一个状态矢量  $|\Psi\rangle$  的投影函数  $\Psi(x)$  看作我们所关注的状态的时候（默认基矢是  $|x\rangle$ ），我们就简单把动量算符  $\hat{p}$  记作

$$\hat{p} = -i \frac{\partial}{\partial x}. \quad (8.16)$$

现在，我们准备好了来求解位置空间的，也就是通常量子力学书上的，Schrödinger 方程了。

**例 8.1 一维谐振子的量子化与求解：**经典一维谐振子的 Langrangian 是  $L = \frac{1}{2}m\dot{x}^2 - \frac{1}{2}m\omega_0^2 x^2$ ，求解对应的量子系统的 Hamiltonian，以及最小能量值的本征态对应的本征函数，以及其时间演化。

首先，我们需要求出正则坐标和动量，其次要把它们看成算符，在位置表象下把这两个算符的具体分量形式写下来，然后我们把这些分量形式代入 Schrödinger 方程，求解本征函数以及时间演化。

取  $q = x$ ，则  $p = \frac{\partial}{\partial \dot{q}} = m\dot{x} \implies \dot{q} = \frac{p}{m}$ ，于是  $H = p\dot{q} - L = \frac{p^2}{2m} + \frac{1}{2}m\omega_0^2 x^2$  成了  $q, p$  的函数。然后，我们需要把  $q, p$  看作算符  $\hat{q}, \hat{p}$ ，并且让其对易关系  $[\hat{q}, \hat{p}] = i$ 。按照这个对易关系，我们已经知道在位置表象下，位置算符和动量算符的形式。于是，对于一维谐振子系统，其在位置表象下的形式是，

$$i \frac{\partial}{\partial t} \psi(x, t) = \left( -\frac{1}{2m} \frac{\partial^2}{\partial x^2} + \frac{1}{2} m \omega_0^2 x^2 \right) \psi(x, t). \quad (8.17)$$

在位置表象下，我们求解的程序还是和一般的抽象的算符，或者任何其他表象，一样的。首先，求得  $H$  的本征值  $E_n$  和本征向量  $\phi_n(x)$ ，这里称为本征函数；然后，利用这些个本征函数加上时间项组合起来 ( $|\psi(t)\rangle = \sum_n c_n |\phi_n\rangle e^{-iE_n t}$ ，其中  $c_n = \langle \phi_n | \psi(0) \rangle$ )，或者合起来  $|\psi(t)\rangle = \sum_n |\phi_n\rangle e^{-iE_n t} \langle \phi_n | \psi(0) \rangle$ )，得到，

$$\psi(x, t) = \sum_n c_n \phi_n(x) e^{-iE_n t}, \quad (8.18)$$

其中

$$c_n = \int_{-\infty}^{\infty} dx \phi_n^*(x) \psi(x, 0), \quad (8.19)$$

$\psi(x, 0)$  为初始状态对应着的波函数。

现在，我们来看看谐振子的本征波函数，其满足

$$\left(-\frac{1}{2m} \frac{d^2}{dx^2} + \frac{1}{2} m \omega_0^2 x^2\right) \phi_n(x) = E_n \phi_n(x). \quad (8.20)$$

这个方程当然可以想办法直接求解。我们这里，作为一个例子，我们仅仅考虑这个方程最简单的解（除了  $\phi_n(x) = 0$  以外）。我们看到，如果  $\phi_n(x)$  的二阶导数刚好给出  $x^2$  项，那么方程左边的系数就会不依赖于  $x$ ，这样整个方程就简单了。也就是说大概  $\phi(x) = e^{\alpha x^2}$  就行： $\frac{d^2}{dx^2} \phi(x) = 2\alpha e^{\alpha x^2} + 4\alpha^2 x^2 e^{\alpha x^2}$ 。于是  $\alpha^2 = \frac{1}{4} m^2 \omega_0^2 \implies \alpha = -\frac{1}{2} m \omega_0$ （实际上正的  $\alpha$  是没有物理意义的，在  $x$  很大的时候发散。物理系统一般要求  $\phi(x)$  有限），而这个时候的本征能量  $E_0 = \frac{1}{2} \omega_0$ （能量下标 0 是有含义的。这里，我们不讨论这个问题）。因此，

$$\phi_0(x) = e^{-\frac{1}{2} m \omega_0 x^2}, E_0 = \frac{1}{2} \omega_0. \quad (8.21)$$

系统如果处于这个状态，那么其时间演化为

$$\psi(x, t) = e^{-\frac{1}{2} m \omega_0 x^2} e^{-i \frac{1}{2} \omega_0 t}. \quad (8.22)$$

在这个例子中，我们讨论了位置表象下的  $\hat{x}$  和  $\hat{p}$ ，然后利用他们的形式，求解了一维谐振子的基态波函数（我们没有证明这个是基态，在下一个例子中，我们会顺便补充这个证明）。我们还以谐振子为例讨论了正则量子化的一般手续。

下面，我们再举一个例子，还是求解一维谐振子的 Hamiltonian 的本征值和本征态，但是不在任何表象中求解，而是直接利用对易关系。这个解法也因此被称为代数解法。这个解法是科学发展历史上的一件艺术品，是很多量子力学的进一步理论的发展的基础。

## 8.2 代数解法与能量表象

**例 8.2** 一维谐振子的代数解法：经典一维谐振子的 Hamiltonian 是  $H = \frac{\hat{p}^2}{2m} + \frac{1}{2} m \omega_0^2 \hat{x}^2$ ，求解其本征能量。

上一节我们已经利用 Schrödinger 绘景的运动方程——Schrödinger 把谐振子的本征值的问题转化为一个微分方程的本征函数的问题公式 (8.20)。这一节，我们用 Heisenberg 绘景的运动方程——Heisenberg 方程来求解同一

个问题。在上一节中，我们已经能够注意到所有的计算都从最基本的对易关系，公式 (8.1) 开始。现在，我们还是从这里开始。

首先，让我们来写下算符  $\hat{x}^H$  和  $\hat{p}^H$  的演化方程。为了记号简单，对于算符  $\hat{x}^H, \hat{p}^H$ ，我们就直接用  $x, p$  了。

$$\dot{x} = -i[x, H] = -i\frac{1}{2m}[x, p^2] = -i\frac{1}{2m}(p[x, p] + [x, p]p) = \frac{1}{m}p, \quad (8.23)$$

$$\dot{p} = -i[p, H] = -i\frac{1}{2}m\omega_0^2[p, x^2] = -m\omega_0^2x. \quad (8.24)$$

联合这两个方程，我们得到

$$\ddot{x} = -\omega_0^2x. \quad (8.25)$$

考虑到初始条件

$$x(0) = x^S, \quad (8.26)$$

$$p(0) = p^S, \quad (8.27)$$

我们有

$$x(t) = x^S \cos(\omega_0 t) + \frac{p^S}{m\omega_0} \sin(\omega_0 t), \quad (8.28)$$

$$p(t) = p^S \cos(\omega_0 t) - x^S m\omega_0 \sin(\omega_0 t). \quad (8.29)$$

于是，任何其他物理量都可以通过这两个算符得到。例如，

$$\begin{aligned} x^2(t) &= x^S x^S \cos^2(\omega_0 t) + \frac{p^S p^S}{m^2 \omega_0^2} \sin^2(\omega_0 t) \\ &\quad + \cos(\omega_0 t) \sin(\omega_0 t) \frac{p^S}{m\omega_0} (x^S p^S + p^S x^S). \end{aligned} \quad (8.30)$$

如果我们需要把理论的结果于实验的对比，那么，我们就可以从  $\langle x^S \rangle = \langle \psi(0) | x^S | \psi(0) \rangle$ 、 $\langle p^S \rangle$ 、 $\langle x^S x^S \rangle$ 、 $\langle p^S p^S \rangle$  等等得到所有的可观测量的理论值了。

到这里，量子力学的问题似乎也完全解决了。但是，我们却没有解开这个例题所问的问题：本征能量是多少？解决这个问题需要一些额外的技巧。

定义湮灭算符（这个名字之后会解释）

$$a = \frac{1}{\sqrt{2m\omega_0}} (m\omega_0 x + ip), \quad (8.31)$$

则产生算符（这个名字之后会解释）

$$a^\dagger = \frac{1}{\sqrt{2m\omega_0}} (m\omega_0 x - ip). \quad (8.32)$$

可以验证,

$$H = \omega_0 \left( a^\dagger a + \frac{1}{2} \right), \quad (8.33)$$

而且

$$[a, a^\dagger] = 1. \quad (8.34)$$

按照我们上一节的经验, 公式 (8.33) 和公式 (8.34) 就完整地定义了一个量子力学系统——对于量子系统, 我们只需要一个 Hamiltonian 和一个对易关系。现在, 我们开始讨论公式 (8.33), 这个新的形式下的谐振子。

第一步, 我们来看一看产生湮灭算符的方程,

$$\dot{a} = -i\omega_0 a, \quad (8.35)$$

$$\dot{a}^\dagger = i\omega_0 a^\dagger. \quad (8.36)$$

于是, 其解就是

$$a = e^{-i\omega_0 t} a^S, \quad (8.37)$$

$$a^\dagger = e^{i\omega_0 t} a^{\dagger S}. \quad (8.38)$$

这一步, 如果你仔细看的话, 实际上就是把  $x, p$  满足的方程做了对角化。结果就是, 得到的算符的方程非常简单, 方程中仅仅包含自己这个算符, 不包含其它算符。这个特征——不相互耦合的方程——对于求解方程非常重要。到这里, 我们也就是再一次求解了一次 Heisenberg 方程。关键在于下面的步骤。

第二步, 我们来证明: 如果  $a^\dagger a$  (与  $H$  仅仅相差一个常数) 的本征值是  $n$  的话 (相应的本征向量为  $|n\rangle$ ),  $a|n\rangle$  以及  $a^\dagger|n\rangle$  也是  $a^\dagger a$  的本征向量, 仅仅本征值不一样。

$$a^\dagger a \cdot a|n\rangle = (a^\dagger a - a a^\dagger + a a^\dagger) \cdot a|n\rangle = (-1 + n) a|n\rangle, \quad (8.39)$$

$$a^\dagger a \cdot a^\dagger|n\rangle = a^\dagger (a a^\dagger - a^\dagger a + a^\dagger a) \cdot a|n\rangle = (1 + n) a^\dagger|n\rangle. \quad (8.40)$$

于是, 看起来

$$a|n\rangle \propto |n-1\rangle, \quad (8.41)$$

$$a^\dagger|n\rangle \propto |n+1\rangle. \quad (8.42)$$

我们可以求得系数,

$$(\langle n|a^\dagger)(a|n\rangle) = n \Rightarrow a|n\rangle = \sqrt{n}|n-1\rangle. \quad (8.43)$$

以及类似的

$$a^\dagger|n\rangle = \sqrt{n+1}|n+1\rangle. \quad (8.44)$$

现在, 我们知道,  $H$  的本征值就是这些  $n$ , 考虑到常数和系数, 我们有

$$E_n = \omega_0 \left( n + \frac{1}{2} \right). \quad (8.45)$$

第三步, 我们来证明这些  $n$  只能是非负整数。从某一个  $n$  开始, 我们用算符  $a$ , 可以得到所有的本征值小于  $n$  的所有的本征向量, 这个本征向量可以是无穷多个,

$$|n-1\rangle = \frac{1}{\sqrt{n}} a|n\rangle. \quad (8.46)$$

总有一天, 这个本征向量的本征值会小于零, 例如  $|n-[n+1]\rangle \propto a^{[n+1]}|n\rangle$ 。只要这个本征值小于零, 那么

$$(\langle n-[n+1]|a^\dagger)(a|n-[n+1]\rangle) = n-[n+1] < 0. \quad (8.47)$$

但是,  $(\langle n-[n+1]|a^\dagger)(a|n-[n+1]\rangle) \geq 0$  是一个向量自身的内积。于是, 这个把本征值不停地减少的过程就不能一直做下去, 必须在大于等于零的地方自然截断。唯一满足着个要求的可能就是  $n$  是非负整数, 于是,  $\sqrt{n-[n]} = 0$ 。于是, 如果继续减少本征值, 就会出现

$$|-1\rangle \propto a|0\rangle = \sqrt{0}|-1\rangle = 0. \quad (8.48)$$

结论,  $H$  的本征值是  $\omega_0 \left( n + \frac{1}{2} \right)$ , 其中  $n$  为非负整数。

这个问题回答完了, 但是这个求解方法具有一般的意义。算符  $a$  的含义是把本征值不停地减少, 算符  $a^\dagger$  的含义是把本征值不停地增加。如果我们把本征向量  $|n\rangle$  看做是一个有  $n$  个能量粒子的状态, 那么算符  $a$  的含义就是消灭粒子, 算符  $a^\dagger$  的含义是产生粒子。更进一步, 我们可以通过真空状态  $|0\rangle$  和产生算符来定义所有的本征态,

$$|n\rangle = \frac{(a^\dagger)^n}{\sqrt{n!}} |0\rangle. \quad (8.49)$$

在能量本征态  $\{|n\rangle\}$  构成的表象下，我们来计算几个算符。例如

$$H = \sum_n E_n |n\rangle \langle n| = \sum_n \left(n + \frac{1}{2}\right) \omega_0 |n\rangle \langle n|, \quad (8.50)$$

$$a = \sum_n a |n\rangle \langle n| = \sum_n \sqrt{n} |n-1\rangle \langle n|, \quad (8.51)$$

而

$$a^\dagger = \sum_n a^\dagger |n\rangle \langle n| = \sum_n \sqrt{n+1} |n+1\rangle \langle n|. \quad (8.52)$$

利用  $\hat{x}, \hat{p}$  和  $a, a^\dagger$  算符的关系，我们就可以得到能量表象下算符  $\hat{x}, \hat{p}$  的形式。

### 8.3 代数解法的更多细节：一切都是对易关系 \*

回到我们一开始的  $\hat{x}, \hat{p}$  算符的形式，我们发现在谐振子的问题中的任意一个算符都能够用  $\hat{x}, \hat{p}$  来表达，而  $\hat{x}, \hat{p}$  可以用  $a, a^\dagger$  来表达，例如

$$\hat{A} = A(a, a^\dagger) = \sum_{m=0, n=0}^{\infty} A_{m,n} (a^\dagger)^m a^n. \quad (8.53)$$

后者的时间演化又是完全已知的。给定任何一个初始状态——波函数或者密度矩阵，这里以波函数  $|\psi(0)\rangle$  为例，肯定可以写成本征向量的叠加，也就是

$$|\psi(0)\rangle = \sum_n C_n |n\rangle = \sum_n C_n \frac{(a^\dagger)^n}{\sqrt{n!}} |0\rangle. \quad (8.54)$$

于是，算符  $\hat{A}$  在任意时刻的平均值可以写成，

$$\begin{aligned} & \langle \psi(0) | \hat{A}^H(t) | \psi(0) \rangle \\ &= \sum_i C_i^* \frac{a^i}{\sqrt{i!}} \langle 0 | \sum_{m=0, n=0}^{\infty} e^{-i(n-m)\omega_0 t} A_{m,n} (a^\dagger)^m a^n \sum_j C_j \frac{(a^\dagger)^j}{\sqrt{j!}} |0\rangle \\ &= \sum_{ijmn} e^{-i(n-m)\omega_0 t} C_i^* C_j A_{m,n} \frac{1}{\sqrt{i!j!}} \langle 0 | a^i (a^\dagger)^m a^n (a^\dagger)^j |0\rangle. \end{aligned} \quad (8.55)$$

这样所有的物理量的计算的问题就成了计算

$$\langle 0 | a^i (a^\dagger)^m a^n (a^\dagger)^j |0\rangle \quad (8.56)$$

的问题，而这个问题可以完全通过对易来求解——交换  $a^n$  和  $(a^\dagger)^j$  的顺序，我们得到形如  $a|0\rangle$  的表达式，它就是零；交换  $a^i$  和  $(a^\dagger)^m$  的顺序，我们得到形如  $\langle 0|a^\dagger$  的表达式，它就是零。于是， $\langle 0|a^i (a^\dagger)^m a^n (a^\dagger)^j |0\rangle$  的非零部分就是通过一系列的对易关系计算以后得到的项。

通过这个讨论，我们得到一个认识：关于一维谐振子的任意物理量在任何时刻的平均值都可以通过一系列算符  $a, a^\dagger$  的对易关系得到。这个结论是一个非常强的结论，以后的进一步的量子理论例如量子场论的学习都从这里开始。这一节的内容有一定的难度，计算也跳过了很多步骤，是选学内容。

**作业 8.1** 一维谐振子的算符  $\hat{x}$  和  $\hat{p}$ ，还有  $H$  对应的  $A_{m,n}$  的形式。

## 8.4 本章小结

这一章，我们学习了位置表象中的量子力学算符、态矢量和演化方程的形式，以及它们与一般的抽象的不在某个表象下的量子力学的形式的联系。

在这里，我们还发现，一个量子力学系统的最核心的内容是基本算符的对易关系——位置算符和动量算符的对易子不为零。基于这个对易关系的从经典力学到量子力学的过度叫做正则量子化。通过量子实验与经典概率论的对比，我们已经知道密度矩阵的非对角元对于解释量子现象的重要性。如果所有的算符都对易，那么它们存在共同本征向量，在这个本征向量构成的基矢下面，所有的算符只有对角元。因此，非对角元就没有存在的必要了。于是，量子力学的实验就不可能得到解释。在这个意义上，有的人说，量子力学的核心就是算符的非对易关系。当然，我们更加强调，在一般的表象下，密度矩阵的非对角元的存在。两者是一致的。

除了正则量子化，一个经典系统的对应的量子理论还可以通过路径积分量子化等其它方法来构建。这里就不再讨论关于路径积分量子化的方法，尽管正像 Feynman 说的，任何一个严肃的物理学家都应该在脑子里对一种理论存在多种等价的表述方式。我们这里提到的表象理论，是指一个抽象定义的算符，通常仅仅通过对易关系定义的算符，可以在某一个算符的本征矢量做基矢的情况下表示出来（把各个分量求出来）。这个时候，有可能一个算符在一套基矢下的形式和另外一套基矢下的形式完全不一样，但是它们表示同一个算符。更一般地来说，一个理论的不同形式，也可以看成是这个理论的不同表象。



## 第四部分

### 耦合量子系统：相互作用与纠缠



# 第九章 耦合量子系统的状态与测量

我们已经学习了量子力学的基本内容：状态是 Hilbert 空间内的矢量或者跟一般地密度矩阵，物理量是这个空间上的算符，测量就是建立一个从这个密度算符到一个以被测量算符的本征值和本征态构成的事件空间的概率分布的映射，演化就是给定一个外界对系统的作用形式  $H$  以后得到状态的一个以时间为参数的么正变换。一直到现在，我们考虑的系统都是一个二维的可以看作是一个叫自旋的东西。现在，在这个部分，我们来考虑两个自旋构成的耦合系统。

按照经典概率论，从一个硬币的状态到两个硬币状态，概率论还是原来的概率论，唯一需要额外考虑的东西就是两个自旋的关联，也就是  $P(S_1, S_2)$  是否等于  $P(S_1)P(S_2)$ 。对于量子系统，我们来看一下，这个时候需要额外考虑的是什么。

## 9.1 直积空间

正如两个硬币的状态是  $2^2 = 4$  个（正正、正反、反正、反反），两个自旋的状态的空间维数也是两个各自的自旋的状态的维数的乘积  $4 = 2^2$ ，基本的状态——也就是空间的一组自然的基矢也可以写成如下四个，

$$|\uparrow_z \uparrow_z\rangle, |\uparrow_z \downarrow_z\rangle, |\downarrow_z \uparrow_z\rangle, |\downarrow_z \downarrow_z\rangle, \quad (9.1)$$

分别表示第一个和第二个自旋的状态。这一组基矢的每一个都是原来的二维空间的基矢的直积形式，因此有的时候被称作直积基矢。由于量子系统状态矢量的可叠加性（硬币没有），这个 4 维空间的基矢还可以换成另外的一

组, 例如,

$$|\uparrow_z \uparrow_z\rangle, \frac{|\uparrow_z \downarrow_z\rangle + |\downarrow_z \uparrow_z\rangle}{\sqrt{2}}, |\downarrow_z \downarrow_z\rangle, \frac{|\uparrow_z \downarrow_z\rangle - |\downarrow_z \uparrow_z\rangle}{\sqrt{2}}. \quad (9.2)$$

这一组基矢的特点是, 当我们交换两个自旋的编号的时候, 前面的 3 个不变, 最后的那个改变一个符号。这样的特殊的对称性在很多问题中有特别的意义。前面三个被称为对称基矢, 后面的一个被称为反称基矢。有的时候, 我们也会采用一组叫做 Bell 态的基矢,

$$\frac{|\uparrow_z \uparrow_z\rangle + |\downarrow_z \downarrow_z\rangle}{\sqrt{2}}, \frac{|\uparrow_z \uparrow_z\rangle - |\downarrow_z \downarrow_z\rangle}{\sqrt{2}}, \frac{|\uparrow_z \downarrow_z\rangle + |\downarrow_z \uparrow_z\rangle}{\sqrt{2}}, \frac{|\uparrow_z \downarrow_z\rangle - |\downarrow_z \uparrow_z\rangle}{\sqrt{2}}. \quad (9.3)$$

这组基矢的对称性与上一组一样。在下面的讨论中, 我们会用到。有的时候, 我们用一组特定的符号来表示这四个 Bell 态, 分别记为  $|\Phi^+\rangle$ 、 $|\Phi^-\rangle$ 、 $|\Psi^+\rangle$ 、 $|\Psi^-\rangle$ 。

这四个基矢构成的 4 维的 Hilbert 空间实际上是两个 2 维的 Hilbert 空间的直积,  $H = H^1 \otimes H^2$ 。一个一般的状态矢量可以是,

$$|\psi\rangle = \alpha |\Phi^+\rangle + \beta |\Phi^-\rangle + \gamma |\Psi^+\rangle + \eta |\Psi^-\rangle, \quad (9.4)$$

其中  $|\alpha|^2 + |\beta|^2 + |\gamma|^2 + |\eta|^2 = 1$ 。这个空间的状态也可以用第一组直积形式的基矢来表达, 例如

$$|\psi\rangle = \alpha' |\uparrow_z \uparrow_z\rangle + \beta' |\uparrow_z \downarrow_z\rangle + \gamma' |\downarrow_z \uparrow_z\rangle + \eta' |\downarrow_z \downarrow_z\rangle. \quad (9.5)$$

这样的状态一般不能写成两个二维空间矢量的直积, 也就是

$$|\psi\rangle \neq |\psi^1\rangle |\psi^2\rangle. \quad (9.6)$$

当  $\alpha' = 1$ , 其它分量等于零的时候,

$$|\psi\rangle = |\uparrow_z \uparrow_z\rangle, \quad (9.7)$$

是一个直积状态。当  $\alpha'$  和  $\eta'$  不等于零, 其它等于零的时候, 就不是直积状态。在 Bell 态作为基矢的展开形式下, 就算其中的一个分量唯一, 其它都为零——也就是状态就是 Bell 态本身——也不是直积状态。这个直积态和非直积态的区别与经典概率论的独立分布函数和关联分布函数非常像, 但是我们很快会看见它们的区别。更一般地来说, 用密度矩阵的语言, 满足下面等式的状态就叫做直积态, 否则称为非直积态,

$$\rho = \rho^1 \otimes \rho^2, \quad (9.8)$$

其中  $\rho^i = \text{tr}^{(-i)}(\rho)$ , 而  $\text{tr}^{(-i)}$  表示对除了  $i$  系统的自由度之外的其它自由度都求迹。

在经典概率论中, 非直积态被称为关联态。在量子力学中, 非直积态有的时候也被称为关联态, 或者纠缠态。在有的物理学家的语言中, 纠缠态是一个更严格的概念, 代表了更小的状态集合。这个更狭义的纠缠态我们在后面介绍。

**作业 9.1** 验证  $|\psi\rangle = \alpha' |\uparrow_z \uparrow_z\rangle + \eta' |\downarrow_z \downarrow_z\rangle$  不可能是直积状态。

有了耦合系统的状态的一般概念之后, 我们按照我们之前讨论量子系统的惯例, 来讨论耦合量子系统的测量和状态演化。在此之前, 我们先来回顾一下经典耦合系统的测量。

## 9.2 经典关联态的测量

我们从最简单的开始, 测量两个独立的完全对称的硬币, 其状态为

$$\rho^{12,C} = \frac{1}{4} |\uparrow\uparrow\rangle\langle\uparrow\uparrow| + \frac{1}{4} |\uparrow\downarrow\rangle\langle\uparrow\downarrow| + \frac{1}{4} |\downarrow\uparrow\rangle\langle\downarrow\uparrow| + \frac{1}{4} |\downarrow\downarrow\rangle\langle\downarrow\downarrow|. \quad (9.9)$$

测量得到的可能的状态是

$$|\uparrow\uparrow\rangle\langle\uparrow\uparrow|, |\uparrow\downarrow\rangle\langle\uparrow\downarrow|, |\downarrow\uparrow\rangle\langle\downarrow\uparrow|, |\downarrow\downarrow\rangle\langle\downarrow\downarrow| \quad (9.10)$$

这四个, 得到这些状态的几率分别是

$$P_{\uparrow\uparrow}, P_{\uparrow\downarrow}, P_{\downarrow\uparrow}, P_{\downarrow\downarrow}. \quad (9.11)$$

它们的取值都是  $\frac{1}{4}$ 。

于是, 当我们发现第一个硬币是正面的时候, 我们得到第二个硬币的状态为  $S^2$  概率为,

$$P(S^2 | S^1 = \uparrow) = \frac{P(S^2, S^1 = \uparrow)}{P(S^1 = \uparrow)} = \frac{1}{2}. \quad (9.12)$$

也就是说, 知道了关于第一个硬币的知识不增加我们任何关于第二个硬币的知识。这也就是独立硬币的含义。

现在, 我们来考虑两个用一根神奇的红线连接在一起的硬币, 它们俩总是显示相同的一面 (我们暂时忽略在经典硬币上是如何实现这个“总是显示相同”这个问题), 也就是

$$\rho^{12,C} = \frac{1}{2} |\uparrow\uparrow\rangle\langle\uparrow\uparrow| + \frac{1}{2} |\downarrow\downarrow\rangle\langle\downarrow\downarrow|. \quad (9.13)$$

测量得到的可能的状态是

$$|\uparrow\uparrow\rangle\langle\uparrow\uparrow|, |\downarrow\downarrow\rangle\langle\downarrow\downarrow| \quad (9.14)$$

这两个，得到这些状态的几率分别是

$$P_{\uparrow\uparrow}, P_{\downarrow\downarrow}. \quad (9.15)$$

它们的取值都是  $\frac{1}{2}$ 。

于是，当我们发现第一个硬币是正面的时候，我们得到第二个硬币的状态为  $S^2$  概率为，

$$P(S^2 = \uparrow | S^1 = \uparrow) = \frac{P(S^2 = \uparrow, S^1 = \uparrow)}{P(S^1 = \uparrow)} = \frac{P(S^2 = \uparrow, S^1 = \uparrow)}{P(S^2 = \uparrow, S^1 = \uparrow)} = 1. \quad (9.16)$$

在这里我们发现，当知道第一个硬币的状态是向上的时候，第二个硬币的状态必然向上，不可能向下。这个也就是完全相同（两个状态百分之一百关联在一起）的硬币的含义。考虑两个完全相反的硬币，我们将得到类似的结果。

这样的完全关联在一起的随机变量是一个可以想象的东西，但是，想象这样一个东西的难度不会比想象一个随机的硬币的难度高，尽管想象一个随机的硬币已经不是一件简单的事情。如果有一个随机的硬币，我们找出来其中的随机的核心——例如一个随机数生成器，然后利用这个生成器产生的数据同时来控制这两个硬币的状态就可以了。因此，如果我们假设一份经典随机数可以用来控制两个系统的状态，那么，想象两个关联在一起的硬币的难度，完全就是想象一个随机硬币的难度。对于存在一个真随机的硬币，我们没有觉得多么不可思议。于是，对于存在两个完全关联的硬币，我们也没有觉得多么不可思议。顺便说一下，这个“一份随机数可以用来控制两个系统”的假设，实际上依赖于经典信号的可复制性——给定一个经典信号 0 或者 1，我们可以在不用观察得到这个信号的真值的条件下，复制一个相同的信号。以后，我们还会回到这个问题。

下面，我们来看耦合起来的两个量子自旋的测量。

### 9.3 量子纠缠态的测量

我们来考虑两个处于下面这个状态的自旋的测量，

$$\rho^{12,0} = \frac{1}{2} (|\uparrow_z\uparrow_z\rangle + |\downarrow_z\downarrow_z\rangle) (\langle\uparrow_z\uparrow_z| + \langle\downarrow_z\downarrow_z|). \quad (9.17)$$

例如，我们考虑测量第一个自旋的  $z$  方向，第二个自旋的  $z$  方向。对于这个测量，我们的相当于测量一组相互对易的两个算符的本征值和相应的几率，

$$O_1 = \sigma_z^1 \otimes I^2, O_2 = I^1 \otimes \sigma_z^2. \quad (9.18)$$

其本征向量分别为如下四个（下面是一种取两个算符的共同本征值的方式，留作练习），

$$|\uparrow_z \uparrow_z\rangle, |\uparrow_z \downarrow_z\rangle, |\downarrow_z \uparrow_z\rangle, |\downarrow_z \downarrow_z\rangle. \quad (9.19)$$

于是这四个状态出现的相应的几率分别是，

$$P_{\uparrow_z \uparrow_z} = \langle \uparrow_z \uparrow_z | \rho^{12, Q} | \uparrow_z \uparrow_z \rangle = \frac{1}{2}, \quad (9.20a)$$

$$P_{\uparrow_z \downarrow_z} = \langle \uparrow_z \downarrow_z | \rho^{12, Q} | \uparrow_z \downarrow_z \rangle = 0, \quad (9.20b)$$

$$P_{\downarrow_z \uparrow_z} = \langle \downarrow_z \uparrow_z | \rho^{12, Q} | \downarrow_z \uparrow_z \rangle = 0, \quad (9.20c)$$

$$P_{\downarrow_z \downarrow_z} = \langle \downarrow_z \downarrow_z | \rho^{12, Q} | \downarrow_z \downarrow_z \rangle = \frac{1}{2}. \quad (9.20d)$$

也就是得到的结果是两个自旋都向上的可能性是  $\frac{1}{2}$ ，都向下的可能性也是  $\frac{1}{2}$ ，但是不会有不相同的时候。这个结论和上面那个测量两个完全关联的硬币是一样的。我们还可以得到更有意思的结果。

### 9.3.1 计算视角一：一组对易算符的测量

假设我们测量一个自旋的  $x$  方向，第二个自旋的  $x$  方向。对于这个测量，我们的相当于测量一组相互对易的两个算符的本征值和相应的几率，

$$O_1 = \sigma_x^1 \otimes I^2, O_2 = I^1 \otimes \sigma_x^2. \quad (9.21)$$

其本征向量分别为如下四个，

$$|\uparrow_x \uparrow_x\rangle, |\uparrow_x \downarrow_x\rangle, |\downarrow_x \uparrow_x\rangle, |\downarrow_x \downarrow_x\rangle. \quad (9.22)$$

于是这四个状态出现的相应的几率分别是，

$$P_{\uparrow_x \uparrow_x} = \langle \uparrow_x \uparrow_x | \rho^{12, Q} | \uparrow_x \uparrow_x \rangle = \frac{1}{2}, \quad (9.23a)$$

$$P_{\uparrow_x \downarrow_x} = \langle \uparrow_x \downarrow_x | \rho^{12, Q} | \uparrow_x \downarrow_x \rangle = 0, \quad (9.23b)$$

$$P_{\downarrow_x \uparrow_x} = \langle \downarrow_x \uparrow_x | \rho^{12, Q} | \downarrow_x \uparrow_x \rangle = 0, \quad (9.23c)$$

$$P_{\downarrow_x \downarrow_x} = \langle \downarrow_x \downarrow_x | \rho^{12, Q} | \downarrow_x \downarrow_x \rangle = \frac{1}{2}. \quad (9.23d)$$

也就是得到的结果是两个自旋都向上的可能性是  $\frac{1}{2}$ ，都向下的可能性也是  $\frac{1}{2}$ ，但是不会有不相同的时候。这个结果和同时测量两个自旋的  $z$  方向完全一致。

我们举例计算其中的第二个等式，公式 (9.23b)，

$$P_{\uparrow_x \downarrow_x} = \langle \uparrow_x \downarrow_x | \rho^{12,0} | \uparrow_x \downarrow_x \rangle = \frac{1}{2} \langle \uparrow_x \downarrow_x | (|\uparrow_z \uparrow_z\rangle \langle \uparrow_z \uparrow_z| + |\downarrow_z \downarrow_z\rangle \langle \downarrow_z \downarrow_z|) | \uparrow_x \downarrow_x \rangle \quad (9.24a)$$

$$+ \frac{1}{2} \langle \uparrow_x \downarrow_x | (|\uparrow_z \uparrow_z\rangle \langle \downarrow_z \downarrow_z| + |\downarrow_z \downarrow_z\rangle \langle \uparrow_z \uparrow_z|) | \uparrow_x \downarrow_x \rangle \quad (9.24b)$$

$$= \frac{1}{4} - \frac{1}{4} = 0 \quad (9.24c)$$

其中第一部分和第二部分相互抵消。

假设，我们只有第一部分，也就是

$$\rho^{12} = \frac{1}{2} (|\uparrow_z \uparrow_z\rangle \langle \uparrow_z \uparrow_z| + |\downarrow_z \downarrow_z\rangle \langle \downarrow_z \downarrow_z|). \quad (9.25)$$

那么，我们就会得到

$$P_{\uparrow_x \downarrow_x} = \langle \uparrow_x \downarrow_x | \rho^{12} | \uparrow_x \downarrow_x \rangle = \frac{1}{4}. \quad (9.26)$$

也就是说，如果让我们的两个自旋的量子态长的跟两个经典硬币的关联状态一样，那么，我们的测量结果就会完全不一样。在量子态  $\rho^{12,0}$  的情形，对于任何一个方向的对两个自旋的同时同方向测量（这里我们只计算了同时测量  $z$  和同时测量  $x$ ）我们都得到两个自旋的方向完全相同的结果。在量子态  $\rho^{12}$ （看起来很像很像  $\rho^{12,C}$ ）的情形，对于两个自旋的同时同方向测量我们有的时候得到两个自旋的方向完全相同的结果（例如测量  $z$  方向），有的时候得到两个自旋的方向不同的结果（例如测量  $x$  方向）。

在得到这个结果的计算过程中，我们注意到最关键的地方在于矢量之间的内积不等于非 0 即 1，而是由某个线性叠加关系给出，例如  $|\uparrow_x\rangle = \frac{1}{\sqrt{2}} |\uparrow_z\rangle + \frac{1}{\sqrt{2}} |\downarrow_z\rangle$ 。这个叠加关系正是我们一直以来强调的量子力学和经典力学的不同：量子系统的状态之间允许做线性叠加。

也就是说，状态  $\rho^{12,0}$  具有各个方向的配对测量都得到相同状态的性质——两个自旋的状态在各个同时测量的方向上都完全相关，但是  $\rho^{12}$  没有这个性质——两个自旋可以有相反的状态，而两者之间的差别仅仅是非对角元  $\frac{1}{2} (|\uparrow_z \uparrow_z\rangle \langle \downarrow_z \downarrow_z| + |\downarrow_z \downarrow_z\rangle \langle \uparrow_z \uparrow_z|)$  存在与否。 $\rho^{12,0}$  这种在各个方向上都完全相关的量子态被称为纠缠态。 $\rho^{12}$  这种在某个方向上完全相关的量子态被称为关联态。能够表达成两个系统的状态的密度矩阵的直积的状态称为直积态，



或者独立状态。实际上，纠缠态可以比这个各个方向完全相关广泛。甚至可以定义纠缠度——给定一个状态，就算出来纠缠的程度是多少。更一般地说，非直积态都可以被认为是相关态，所有的相关态中除去经典关联态（可以表达成为  $\rho^{12}$  这样的在各个自旋的某种基矢的乘积作为整个系统的基矢的表象下完全对角的态），都是纠缠态。本书中，我们只关心  $\rho^{12,0}$  这样的完全纠缠态。

历史上，当大家发现完全纠缠态的这个性质——在任意同一个方向上做量子自旋的测量得到状态相同的结果——的时候，很多科学家都认为这是一件非常神奇的事情。现在，我们看见，这件事情的本质，仍然是非对角元，仍然是量子态的叠加原理。如果仅仅从关联的建立的角度，两个粘在一起的硬币也能够得到观测值完全相同（或者相反，取决于如何粘）的结果。最关键的地方不是存在着关联的测量结果，而是“在任何一个方向”都可以得到关联。因此，量子纠缠的特性，还是来源于量子相干性，或者说态叠加原理，或者说非对角元的存在，或者说算符的非对易性，或者说 Hilbert 空间允许的矢量加法。这些表述都是等价的。纠缠仅仅是这些个等价的结果和表现。

### 9.3.2 计算视角二：“先后”测量

在上面测量结果的计算中，对于观测者一——称为 Alice——测量第一个自旋的  $\sigma_x$  方向，观测者二——称为 Bob——测量第二个自旋的  $\sigma_x$  方向这件事情，我们采用了一组对易的关于两个自旋系统的算符  $O_1, O_2$  来整体描述。现在，我们用另一个视角——先让 Alice 测量第一个自旋，然后再让 Bob 测量第二个自旋——来看待这件事情，看看算出来这个测量会得到什么结果。也就是说，我们先看  $O_1 = \sigma_x^1 \otimes I^2$  的测量结果，然后再来看在这个测量结果的基础上，做  $\sigma_x^2$  的测量的结果。对于这个计算，显然我们的依据是量子力学的公理3和公理4，而按照这两个公理，只要我们把密度矩阵  $\rho$  写成所测量的算符——这里主要是  $\sigma_x^1$ ——的本征向量的展开，我们就可以直接把测量结果和测量后状态读出来。现在，我们来做一下这个。为了简化记号，由于我们的密度矩阵  $\rho^{12}$  实际上是一个纯态，也就是说存在  $|\Psi\rangle$  使得  $\rho^{12} = |\Psi\rangle\langle\Psi|$ ，我们直接在  $|\Psi\rangle$  上做计算。另外，为了简化符号， $x(z)$  方

向的本征态，我们用  $|\pm\rangle$  ( $\uparrow\downarrow$ ) 来表示。

$$\begin{aligned}
 |\Psi^{12}\rangle &= \frac{\sqrt{2}}{2} (|\uparrow\uparrow\rangle + |\downarrow\downarrow\rangle) \\
 &= \frac{\sqrt{2}}{2} \left( \frac{\sqrt{2}}{2} (|+\rangle + |-\rangle) |\uparrow\rangle + \frac{\sqrt{2}}{2} (|+\rangle - |-\rangle) |\uparrow\rangle \right) \\
 &= \frac{\sqrt{2}}{2} \left( |+\rangle \frac{\sqrt{2}}{2} (|\uparrow\rangle + |\downarrow\rangle) + |-\rangle \frac{\sqrt{2}}{2} (|\uparrow\rangle - |\downarrow\rangle) \right) \\
 &= \frac{\sqrt{2}}{2} (|+\rangle|+\rangle + |-\rangle|-\rangle). \quad (9.27)
 \end{aligned}$$

于是，由于测量的算符是  $\sigma_x^1$ ，我们发现得到的结果有两个： $|+\rangle$  或者  $|-\rangle$ ，各自的几率是  $\frac{1}{2}$  和  $\frac{1}{2}$ 。如果观测得到  $|+\rangle$  ( $|-\rangle$ )，则系统在测量之后的状态是

$$|+\rangle|+\rangle (|-\rangle|-\rangle). \quad (9.28)$$

接着在这个状态上测量第二个自旋的  $x$  方向，我们得到测量结果 100% $|+\rangle$  (100% $|-\rangle$ )。

在这个计算里面，我们不去寻找  $O_1, O_2$  算符的共同本征态，而是先看 Alice 测量的结果，再来看 Bob 在 Alice 测量之后的状态上测量的结果。我们可以反过来，先看 Bob，再看 Alice。结果是一样的。这个给我们一个启示，在上面的计算中所谓的先后，仅仅是逻辑上的先后，不是实际物理过程的先后。实际上，Bob 测量的方向不一定和 Alice 的一致，这个时候上面的计算（或者看作两个对易算符  $O_1, O_2$  的计算），也能够给出与实验相符的结果。

如果看作是物理过程的先后，我们上面的计算“可以这样来理解”：第二个自旋“了解到” Alice 测量的方向，然后按照 Alice 的结果向上还是向下来“决定”呈现给 Bob 状态  $|+\rangle$  还是状态  $|-\rangle$ 。于是，看起来好像第二个自旋跟 Alice 之间可能存在某种信息的交流。或者反过来，第一个自旋和 Bob 之间存在着某种信息交流。在真实的实验中 [?], 两个自旋可以相距非常远，两个观测者做出观测的时间间隔可以非常小，以至于，如果存在这样的交流，这个交流必须是以超光速的方式来传递的。当然，我们看到，这个看起来像问题的问题，并不是量子力学的理论结构导致的，如果把 Alice 和 Bob 的测量看作是整体系统的测量（一组对易算符  $O_1, O_2$ ），量子理论完全解释了实验观察。这个问题是我们企图用先分析一个观测者然后再分析另外一个观测者，而且企图去“理解”这个计算结果导致的。

也就是说，不管从整体测量的角度来运用公理3和公理4，还是从先考虑某一个观测者然后另外一个的角度，给出来的结果都符合实验观察。存在问题的地方在于我们去“理解”这个量子现象的企图。顺便，我们指出来，在经典关联态的测量中，如果我们从真随机的经典客体的角度来“理解”，那么，看起来第二个硬币也需要先了解第一个观测者的结果，因此，也存在这个信息交流的问题。当然，在经典的情形下，第二个硬币只需要知道测量的结果——向上还是向下，而在量子的情形下，第二个自旋需要知道 Alice 测量的方向——所测量的自旋的空间方向  $\hat{r}$ ，以及测量的结果——向上还是向下。

这个多出来的需要知道 Alice 所测量的自旋的空间方向  $\hat{r}$  的根本原因，还是量子态可以做表象变换，也就是线性叠加运算，于是对于一个给定方向的本征态的测量可以是在任意方向上的。于是，纠缠态区别与经典关联态的地方还是态叠加原理。

我们已经看到，除了上经典关联态已经具有的神奇之处——长程关联，纠缠态的独特特性的根本原因还是量子态的叠加原理，或者说表象变换，或者说不是所有算符都对易。当然，以后我们会看到，这样的纠缠，在具体应用上确实有独特的地方，可以成为很多量子信息问题和量子计算问题的基础。这一章的主要任务是说明在理论上纠缠是什么。纠缠态的上面这个属性和测量的时候两个自旋的距离没有关系，可以相距很远很远。这个时候，有的人就会问那么如何来理解一个自旋知道另外一个自旋已经被测量而且得到某个状态的结果呢，“因为这个自旋必须知道这个情况才能决定在自己被测量的时候显示什么状态呀”？例如，“第二个自旋怎么知道第一个的自旋被测量的是  $z$  方向并且得到结果向上，于是把自己的状态调整为向上态”。这其实是一个不好的问题。没有什么理由这个自旋必须知道另一个自旋被测量的情况才能决定自身的被侧量结果。在经典关联硬币的例子中，两个硬币，只要关联没有被破坏，也可以相距很远很远。如果这个时候，你不觉得理解上有问题，那么在量子自旋的情况，你也不应该觉得有问题。真正量子与经典的不同不在于出现与否长程关联，而在于量子的纠缠态能够保证任何一组相同的方向的测量都有关联的结果，而经典的情形仅仅能够保证在特定的方向上有关联的结果。而给定一个状态，对任何一个方向上的测量都能够给出正确的结果，这件事情，量子力学是通过引入态叠加（等价的表象变换、算符非对易、用密度矩阵代替密度分布函数）来实现的。

**作业 9.2** 对易算符的本征向量：计算  $O_1 = \sigma_z^1 \otimes I^2, O_2 = I^1 \otimes \sigma_z^2$  的共同本

征向量。

**作业 9.3 纠缠态的非对角元:** 计算  $\langle \uparrow_x \downarrow_x | \rho^{12,0} | \uparrow_x \downarrow_x \rangle$  和  $\langle \uparrow_x \downarrow_x | \rho^{12} | \uparrow_x \downarrow_x \rangle$ 。其中  $\rho^{12,0} = \frac{1}{2} (|\uparrow_z \uparrow_z\rangle + |\downarrow_z \downarrow_z\rangle) (\langle \uparrow_z \uparrow_z| + \langle \downarrow_z \downarrow_z|)$ ,  $\rho^{12} = \frac{1}{2} (|\uparrow_z \uparrow_z\rangle \langle \uparrow_z \uparrow_z| + |\downarrow_z \downarrow_z\rangle \langle \downarrow_z \downarrow_z|)$ 。

### 9.3.3 计算视角三：可分辨性

在本小结的最后，我们用另一个方式来运用公理3和公理4对纠缠态的测量给出一个计算结果。对于同一个问题，不同的呈现方式有的时候可以给我们不同的启发。

对于  $O_1 = \sigma_x^1 \otimes I^2$  的测量，我们来计算这个算符的本征向量。由于简併的本征值（一个本征值对应着多个本征向量）我们需要认为引入额外的记号来区分这些简併态： $|+\rangle |r_+\rangle, |+\rangle |r_-\rangle, |-\rangle |r_+\rangle, |-\rangle |r_-\rangle$ 。其中  $|r_\pm\rangle$  是第二个自旋的状态空间中的任意一组相互正交的态。可以验证，这四个矢量确实是算符  $O_1$  的本征矢量。按照公理3，我们先来计算概率，

$$P_{+r_+} = \langle r_+ | \langle + | \rho^{12} | + \rangle | r_+ \rangle = \frac{1}{2} \langle r_+ | (|+\rangle \langle +|) | r_+ \rangle \quad (9.29)$$

$$P_{+r_-} = \langle r_- | \langle + | \rho^{12} | + \rangle | r_- \rangle = \frac{1}{2} \langle r_- | (|+\rangle \langle +|) | r_- \rangle \quad (9.30)$$

$$P_{-r_+} = \langle r_+ | \langle - | \rho^{12} | - \rangle | r_+ \rangle = \frac{1}{2} \langle r_+ | (|-\rangle \langle -|) | r_+ \rangle \quad (9.31)$$

$$P_{-r_-} = \langle r_- | \langle - | \rho^{12} | - \rangle | r_- \rangle = \frac{1}{2} \langle r_- | (|-\rangle \langle -|) | r_- \rangle. \quad (9.32)$$

毫无疑问，这四个数都是非负实数，但是，具体的值，依赖于我们选择的  $|r_\pm\rangle$ 。看起来，我们的测量结果依赖于一个任意的选择！

实际上，当我们关注 Alice 的测量的时候，我们关心的是

$$P_+ = P_{+r_+} + P_{+r_-}. \quad (9.33)$$

于是，

$$P_+ = \frac{1}{2} \langle r_+ | (|+\rangle \langle +|) | r_+ \rangle + \frac{1}{2} \langle r_- | (|+\rangle \langle +|) | r_- \rangle \quad (9.34)$$

$$\begin{aligned} &= \frac{1}{2} \text{tr} (|+\rangle \langle +|) \\ &= \frac{1}{2}. \end{aligned} \quad (9.35)$$

这个是与实验相符的结果。也就是说，对于 Alice 测量的结果来说，我们不关心第二个自旋处于什么状态。

下面来计算 Alice 观测结果得到向上的时候的测量后状态：当我们观测结果是  $+r_+$  的时候，我们得到相应状态， $|+\rangle|r_+\rangle$ ；当我们观测结果是  $+r_-$  的时候，我们得到相应状态， $|+\rangle|r_-\rangle$ 。现在的问题是如何把这两个结果合起来，下面的两个密度矩阵的哪一个？

$$\begin{aligned}\rho^f &= P_{+r_+} |+\rangle|r_+\rangle\langle+r_+| + P_{+r_-} |+\rangle|r_-\rangle\langle+r_-| \\ &= (|+\rangle\langle+|) (P_{+r_+} |r_+\rangle\langle r_+| + P_{+r_-} |r_-\rangle\langle r_-|)\end{aligned}\quad (9.36)$$

$$\begin{aligned}|\Psi^f\rangle &= \langle r_+|+\rangle|+\rangle|r_+\rangle + \langle r_-|+\rangle|+\rangle|r_-\rangle \\ &= (|+\rangle) (|r_+\rangle\langle r_+| + |r_-\rangle\langle r_-|) \\ &= (|+\rangle) (|+\rangle)\end{aligned}\quad (9.37)$$

按照实验的结果，我们知道当然公式 (9.37) 与实验相符——当 Alice 测量得到向上的时候，整体系统的状态是  $(|+\rangle) (|+\rangle)$ 。公式 (9.36) 和公式 (9.37) 理论上的区别在于：前者是概率叠加——把两个密度矩阵相加，不存在交叉项，后者是相干性叠加——把两个态矢量相加，于是转化乘密度矩阵的语言的时候存在交叉项。那为什么这里相干性叠加给出正确的结果，概率性叠加不能呢？因为在讨论 Alice 的测量结果的时候，第二个自旋的状态是不可区分的。这个就好像是在讨论 which-way 实验的时候一样，对于不能区分的状态，我们用相干性叠加。

我们看到这三个计算的视角不一样，但是结果是完全一样的。给我们的启发也不一样：对于完全确定的没有简并的本征态的耦合系统上的测量算符集合（就算看起来是单个系统的测量也需要写成耦合系统上的测量算符），直接运用公理3和公理4给出结果就行；如果我们把耦合系统的测量看作是逻辑上先后的测量，那么这个先后不可能是物理过程；对于存在简并本征态的耦合系统上的测量算符，在运用公理4写下测量后状态的时候，需要考虑测量结果的可分辨性。总而言之，公理3和公理4给出与实验相符的结果，量子纠缠态的特性是态叠加原理的结果，有的时候“理解”量子力学是个问题。

## 9.4 本章小结

本章中我们主要介绍了两个自旋的状态空间是什么——4 维 Hilbert 空间，这个空间和两个自旋的本身的空间的关系是什么——直积空间。然后我们介绍了经典关联态的测量和量子纠缠态的测量。其中，Bell 态的定义需

要了解，在以后的章节中我们会用到。对于纠缠态的测量，我们用不同的计算方式，根据公理3和公理4，得到了与实验相符的结果。同时，通过这些计算，我们发现，纠缠态的特殊性质，除了与经典关联一样的长程关联，就是态叠加原理（等价的表象变换、算符非对易、用密度矩阵代替密度分布函数）的结果。

# 第十章 耦合量子系统的演化与纠缠

这一章，我们来回答耦合系统的状态如何在这个 4 维 Hilbert 空间里面演化，这样的演化如何计算，一个系统能够从非纠缠的状态到达纠缠的状态吗？量子力学的基本理论不会随着 Hilbert 空间维数的变化而变化，所有之前学习过的量子力学的一般理论都成立。

## 10.1 演化以及演化导致的纠缠

量子力学的一般理论告诉我们从系统的 Hamiltonian 开始，演化算符是  $U = e^{-iHt}$ ，而系统的 Hamiltonian 对应着外界对系统或者系统的各个部分之间的相互作用。我们还是利用具体的例子来展示一个独立状态如何可以演化成为一个纠缠态。

例 10.1 在基矢集合  $|\uparrow_z\uparrow_z\rangle, |\downarrow_z\downarrow_z\rangle, |\uparrow_z\downarrow_z\rangle, |\downarrow_z\uparrow_z\rangle$  的表象（按照顺序）下，给定如下 Hamiltonian,

$$H = \begin{pmatrix} H_0 & 0 \\ 0 & H_0 \end{pmatrix}, \quad (10.1)$$

其中

$$H_0 = \frac{1}{4 + 2\sqrt{2}} \begin{pmatrix} 1 & -1 - \sqrt{2} \\ -1 - \sqrt{2} & 3 + 2\sqrt{2} \end{pmatrix}. \quad (10.2)$$

计算  $t = \pi$  时刻的演化算符，并讨论这个演化算符把独立状态  $|\uparrow_z\uparrow_z\rangle, |\downarrow_z\downarrow_z\rangle, |\uparrow_z\downarrow_z\rangle, |\downarrow_z\uparrow_z\rangle$  分别映射成为什么状态。

演化算符  $U = e^{-iHt}$  可以通过求解  $H$  的本征值和本征向量得到。我们先来计算  $H_0$  的本征向量，得到，

$$|E_1 = 0\rangle = \frac{1}{\sqrt{4 + 2\sqrt{2}}} \begin{bmatrix} 1 + \sqrt{2} \\ 1 \end{bmatrix}, \quad (10.3a)$$

$$|E_2 = 1\rangle = \frac{1}{\sqrt{4 + 2\sqrt{2}}} \begin{bmatrix} 1 \\ -1 - \sqrt{2} \end{bmatrix}. \quad (10.3b)$$

于是， $H_0$  所对应的演化算符  $U_0$  可以表达成为，

$$\begin{aligned} U_0 &= e^{-iE_1 t} |E_1\rangle\langle E_1| + e^{-iE_2 t} |E_2\rangle\langle E_2| \\ &= \frac{1}{\sqrt{2}} \begin{bmatrix} 1 & 1 \\ 1 & -1 \end{bmatrix}. \end{aligned} \quad (10.4)$$

于是，整体的演化算符是

$$U = \frac{1}{\sqrt{2}} \begin{bmatrix} 1 & 1 & 0 & 0 \\ 1 & -1 & 0 & 0 \\ 0 & 0 & 1 & 1 \\ 0 & 0 & 1 & -1 \end{bmatrix}. \quad (10.5)$$

这个算符作用在  $[1, 0, 0, 0]^T$  得到  $\frac{1}{\sqrt{2}} [1, 1, 0, 0]^T$ ，也就是。

$$U |\uparrow_z \uparrow_z\rangle = \frac{1}{\sqrt{2}} (|\uparrow_z \uparrow_z\rangle + |\downarrow_z \downarrow_z\rangle) \quad (10.6)$$

我们看到这个演化算符把独立状态映射成为纠缠态。如果我们知道如何实现  $H_0$  那么，我们就能够实现  $H$  也就能够实现  $U$  了。注意到这里的  $U_0$  其实是 Hadamard 量子逻辑门。

在这个计算中，我们特意采用了交换了顺序的一组基矢。更加常用的基矢其实是  $|\uparrow_z \uparrow_z\rangle$ ,  $|\uparrow_z \downarrow_z\rangle$ ,  $|\downarrow_z \uparrow_z\rangle$ ,  $|\downarrow_z \downarrow_z\rangle$ 。如果采用这一组基矢，我们的 Hamiltonian 需要定义为，

$$H = \frac{1}{4 + 2\sqrt{2}} \begin{pmatrix} 1 & 0 & 0 & -1 - \sqrt{2} \\ 0 & 1 & -1 - \sqrt{2} & 0 \\ 0 & -1 - \sqrt{2} & 3 + 2\sqrt{2} & 0 \\ -1 - \sqrt{2} & 0 & 0 & 3 + 2\sqrt{2} \end{pmatrix}. \quad (10.7)$$



读者不妨验证一下，是否如公式 (10.6) 一样，这个 Hamiltonian 对应的演化算符确实把独立状态映射到相应的纠缠态。

这个  $H$  实际上反映了两个自旋的相互作用。学有余力的同学可以尝试下面这个问题。

作业 10.1 给定如下 Hamiltonian,

$$H_0 = \frac{1}{4 + 2\sqrt{2}} \begin{pmatrix} 1 & -1 - \sqrt{2} \\ -1 - \sqrt{2} & 3 + 2\sqrt{2} \end{pmatrix}. \quad (10.8)$$

请用自旋算符，例如  $I, \sigma_x, \sigma_y, \sigma_z$  之类的形式写出这个  $H_0$ 。有了上面这个题的经验之后，来思考下面的问题。给定如下 Hamiltonian,

$$H = \frac{1}{4 + 2\sqrt{2}} \begin{pmatrix} 1 & 0 & 0 & -1 - \sqrt{2} \\ 0 & 1 & -1 - \sqrt{2} & 0 \\ 0 & -1 - \sqrt{2} & 3 + 2\sqrt{2} & 0 \\ -1 - \sqrt{2} & 0 & 0 & 3 + 2\sqrt{2} \end{pmatrix}. \quad (10.9)$$

请用自旋算符，例如  $\sigma_x^1 \sigma_x^2, \sigma_x^1 \sigma_y^2$  之类的形式写出这个  $H$ 。

作业 10.2 CNOT 量子逻辑门的 Hamiltonian: 给定如下 Hamiltonian,

$$H = \begin{pmatrix} 0 & 0 & 0 & 0 \\ 0 & 0 & 0 & 0 \\ 0 & 0 & 0.5 & -0.5 \\ 0 & 0 & -0.5 & 0.5 \end{pmatrix}, \quad (10.10)$$

计算  $t = \pi$  时刻的演化算符，并讨论这个演化算符把独立状态  $|\uparrow_z \uparrow_z\rangle, |\uparrow_z \downarrow_z\rangle, |\downarrow_z \uparrow_z\rangle, |\downarrow_z \downarrow_z\rangle$  分别映射成为什么状态。这个演化算符有一个自己的名字——CNOT 逻辑门，实现控制非 (Controlled-NOT) 计算。

## 10.2 测量导致的纠缠

上一节我们已经看到通过演化，某些形式的 Hamiltonian 可以把独立状态转化成为纠缠态。现在，我们试试用另一个角度来构造纠缠态。这个角度就是测量，因为我们已经知道测量和演化都可以使得量子系统的状态发生变化。我们也通过一个例子来展示通过测量建立纠缠。假设我们已经得到了两个光子的纠缠态，现在我们想得到四个光子的纠缠态。当然，我们可

以构造四个光子的相互作用来通过演化得到四个光子的纠缠态。这里，我们用另一种方式，来自于文献 [Experimental Demonstration of Four-Photon Entanglement and High-Fidelity Teleportation]。

考虑两对已经分别实现纠缠的光子，其中 12 和 34 都处于如下纠缠态（在实际实验中，经常用另一个 Bell 态  $|\Psi_-^{12}\rangle = \frac{1}{\sqrt{2}}(|HV\rangle - |VH\rangle)$ ，为了描述简单，这里我们采用下面这个 Bell 态），

$$|\Psi^{12}\rangle = \frac{1}{\sqrt{2}}(|HH\rangle + |VV\rangle) \triangleq |\Phi^+\rangle = |\Psi^{34}\rangle, \quad (10.11)$$

那么整个系统的状态就是

$$\begin{aligned} |\Psi^{1234}\rangle &= |\Phi^+\rangle |\Phi^+\rangle \\ &= \frac{1}{2}(|HHHH\rangle + |HHVV\rangle + |VVHH\rangle + |VVVV\rangle). \end{aligned} \quad (10.12)$$

这里我们用了 Bell 态的记号。测量导致纠缠的基本思想就是从上面的四个状态里面，我们想办法把不需要的状态去掉，通过测量只留下需要的状态。例如，在这里，我们希望去掉这个部分，

$$|HHVV\rangle + |VVHH\rangle. \quad (10.13)$$

我们如何去掉这个部分呢，选择留下测量结果的一部分来做下一步的实验。

**实验 10.1 4 光子纠缠实验：**从两对已经实现纠缠的光子中选择其中一个经过反射之后到达偏振分束器。按照偏振分束器的出射光子的情况来决定是否让光子进入下一步的实验：如果有两个方向的输出的情况，继续后续的实验，否则终止。问：对于能够进入后续实验的例子来说，它们处于什么状态？在实验中，实际上，我们还需要，制备纠缠态的技术，以及探测光子从偏振分束器的哪一边出来又不破坏光子的偏振态的技术。在此，不讨论这些技术如何实现。

两对光子的状态组合有四种  $(HH, HH)$ 、 $(HH, VV)$ 、 $(VV, HH)$ 、 $(VV, VV)$ 。下面我们会看到通过选择出射光子的情况（丢弃两个光子都从偏振分束器左侧或者右侧出射的情况），实际上进入后续实验的光子的状态肯定是  $\frac{|HHHH\rangle + |VVVV\rangle}{\sqrt{2}}$ 。

这里，我们让这样的两对光子的各自的其中一个光子，我们称为光子 2、4，经过一个偏振分束器（PBS），如图10.1。我们发现，这个时候有三个可能的结果，两个光子都从左侧出来，两个光子都从右侧出来，两个光子分

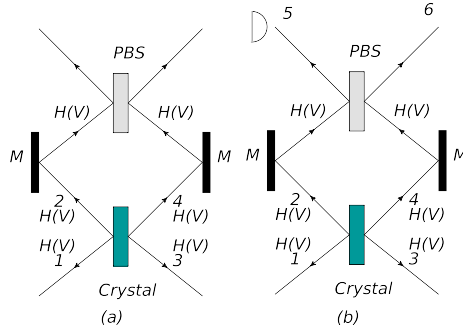


图 10.1: (a) 4 光子纠缠实验装置示意图: 仅保留从偏振分束器两侧都出现光子的情况进入后续的实验。(b) 3 光子纠缠实验装置示意图: 仅保留在 5 出口的探测器上接收到光子, 并且 6 出口有光子输出的情况进入后续的实验。

别从左侧和右侧出来。这三个结果对应着的光子的状态分别是  $|HV\rangle$ ,  $|VH\rangle$  和  $\frac{1}{\sqrt{2}}(|HH\rangle + |VV\rangle)$ 。由于后者两个方向都有出射光子的情况不可区分, 因此, 我们采用了  $|HH\rangle$  和  $|VV\rangle$  的叠加态。下一步, 我们需要做一个不改变光子自旋状态却能够确定光子从偏振分束器的哪一侧出射的测量, 然后把都从右侧出来或者都从左侧出来的结果排除在后续的实验。这样, 进入后续实验的 4 个光子的状态就是我们期望的纠缠态,

$$|\Psi^{1234}\rangle = \frac{1}{\sqrt{2}}(|HHHH\rangle + |VVVV\rangle). \quad (10.14)$$

一个简单的后续实验可以这样: 例如, 在四个方向上分别安装探测器的话, 同时四个方向都有探测到光子的结果就可以验证我们得到了目标纠缠态。

实际上, 这个方案是从另外一个更早一点的工作 [Three-Particle Entanglements from Two Entangled Pairs] 发展过来的。在那个工作中, 两对纠缠的光子被用来制备三个纠缠的光子, 其中的一个光子在测量的时候用掉了。其方案非常简单, 这里再作进一步的简化。我们用同样的仪器, 但是在 PBS 后面的左侧增加一个探测器。然后, 我们按照这个探测器上的结果来作进一步的实验。这个探测器有三种可能的结果, 得到两个光子, 得到一个光子, 没有得到任何一个光子。对于得到两个光子和没有得到光子的情形, 我们忽略所有可能的下一步的实验得到的结果。于是, 我们的下一步实验仅仅记录这个探测器得到一个光子的情形。现在, 我们来思考得到一个光

子的情形对应的光子的状态。

这个光子可能是反射过来的光子 2，于是其状态为  $V$ ，于是光子 1 的状态也是  $V$ 。同时，由于光子 4 没有投射过来，也就是被反射了，于是 4 的状态就是  $V$ ，因此 3 的状态也是  $V$ 。也就是说，134 的光子会进入下一步的实验，其状态是  $VVV$ 。这个光子可能是透射过来的光子 4，于是其状态为  $H$ ，于是光子 3 的状态也是  $H$ 。同时，由于光子 2 没有反射过来，也就是被透射了，于是 2 的状态就是  $H$ ，因此 1 的状态也是  $H$ 。也就是说，123 的光子会进入下一步的实验，其状态是  $HHH$ 。如果这两种可能的状态哪一种发生了完全不能从实验过程上区分（注意不管哪一种状态其出口都是 136），那么系统的状态就是，

$$|\Psi^{136}\rangle = \frac{1}{\sqrt{2}} (|HHH\rangle + |VVV\rangle). \quad (10.15)$$

于是，通过测量和选择，我们把两对双光子纠缠态转化成了三光子纠缠态。

在实际实验中，双光子的纠缠比较容易实现，多光子的纠缠如果通过相互作用来实现有一定的难度。因此，这种通过测量来实现多光子纠缠的方法经常被使用。

### 10.3 本章小结

本章主要展示了在耦合系统中，利用相互作用和测量——这两种改变系统状态的方法——可以得到纠缠态。纠缠态的独特的性质在上一章已经讨论过。在下一章，以及量子信息部分，我们还会再一次见到具有这样的性质的纠缠态能够用来做什么。

在耦合系统的最后我们提一下从单个粒子到耦合粒子系统理论上需要考虑的真正多出来的一个因素：全同粒子的状态的问题。我们一直没有讨论这个问题。在我们之前的讨论中，我们总是能够区分粒子 1 和粒子 2 的。如果在某些问题中，粒子是不可以区分的，量子系统的实验告诉我们，这样的粒子的状态只能够在直积空间的某些子空间内取值。例如费米子（Fermion）只能够在交换粒子编号反对称的子空间取值，而波色子（Boson）只能够在交换粒子编号对称的子空间取值。这个问题相当于对量子系统提出了一个额外的约束，或者说在粒子之间建立了额外的关联。这个问题具有非常深刻的根源和非常深刻的影响 [文小刚的书或者论文 [?]]。在本书中，我们不再讨论。

下一章，以及后续的章节是纠缠态——我们也会看到其本质还是量子态叠加原理——的应用。



# 第十一章 量子力学的确定性经典理论的再一次讨论

在引论部分，我们已经讨论了量子系统的测量行为，以及用建立在确定性经典理论，和随机性经典理论——在随机完全由于信息不完备的假设下，随机性经典理论等价于确定性经典理论，来描述量子系统的测量行为的可能性。我们已经基本否定了这样的可能性，转而讨论允许使用非对角元，突破经典概率论框架的数学模型来描述量子系统的测量行为。在这一章，我们继续讨论这个问题，只是稍微改变一下我们的测量行为，使得这个行为看起来更加具有特殊性，来思考什么样的经典理论可能可以描述这样的行为。这个行为就是一个纠缠态的测量。

## 11.1 纠缠态上的量子测量的结果

考虑一个纠缠态，

$$|\Psi^-\rangle = \frac{1}{\sqrt{2}} (|\uparrow_z \downarrow_z\rangle - |\downarrow_z \uparrow_z\rangle), \quad (11.1)$$

计算测量  $\sigma_z^1 \sigma_r^2$  的平均值。

$$\begin{aligned} \langle \sigma_z^1 \sigma_r^2 \rangle &= \frac{1}{2} (\langle \uparrow_z \downarrow_z | - \langle \downarrow_z \uparrow_z |) \sigma_z^1 \sigma_r^2 (|\uparrow_z \downarrow_z\rangle - |\downarrow_z \uparrow_z\rangle) \\ &= \frac{1}{2} (\langle \downarrow_z | \sigma_r^2 | \downarrow_z \rangle - \langle \uparrow_z | \sigma_r^2 | \uparrow_z \rangle) \\ &= -\cos \theta, \end{aligned} \quad (11.2)$$

其中  $\theta$  就是  $\hat{r}$  和  $z$  方向的夹角。

现在量子系统的经典理论的可能性的问题就成了是否存在一种经典概率分布，和一组对应的测量，其结果与上面的两个不同方向的自旋测量的

结果一致。这里我们只关心测量的平均值。在引言部分的讨论中，除了平均值，我们还关心再测量。这里就不再关心再测量的问题了。需要注意的是，如果我们只关心测量的平均值，对于单个的自旋，满足测量平均值与量子理论和量子实验得到的结果一样的经典概率论是能够构造出来的。在仅仅考虑平均值的情况下，Bell 就提供了一个与二维量子系统一致的隐变量理论 [?]. 在引言部分，我们的结论是在非常宽泛的条件下，考虑了再测量之后，与量子实验的结果相一致的经典理论基本上是不存在的。所以，我们在引言部分的讨论和这里的讨论不是重复的，尽管企图解决的问题是同一个。

## 11.2 经典关联态上的测量的 Bell 不等式

现在，我们来展示符合经典概率论的状态是不可能遵循上面的这个测量结果之间的关联关系的。考虑这样一个系统，这个系统的状态由某一个隐藏起来的不能直接测量和确定的随机变量  $\lambda$  决定。在这个系统上，我们可以测量两个量  $A(\vec{a}, \lambda)$  和  $B(\vec{b}, \lambda)$ ，例如  $\vec{a} = \hat{z}$ ， $\vec{b} = \hat{x}$ 。然后，我们来计算这个每一次测量之后的得到的  $AB$  乘积的平均值。注意，在这里，我们假设  $\lambda$  取什么值和选择的测量的方向  $\vec{a}$ 、 $\vec{b}$  是没有关系的。这个假设实际上是要求我们的测量和被测量物理对象的状态之间存在着某种客观性：被测量物理对象的状态是独立于测量者希望来测量的物理量之外的。违反者一条的理论相当于允许被测量物理对象了解测量者的企图。这样的理论，尽管没有什么原理说不能成立，不是物理学理论追求的目标——试想一下让一个自旋了解实验者到底要测量“它自己”的什么方向这件事情有多么的不可接受。

在这个假设下，当然这个  $\lambda$  就更加不能是同时依赖于  $\vec{a}$ 、 $\vec{b}$  的函数了。不管实验者选择的测量方向是什么，被测量的物理对象的状态是由一个预先已经给定概率分布给出的某个样本决定的，而不是由某一个实验者，或者是所有的实验者所选择的方向决定的。

在这个条件下，我们来求  $AB$  乘积的平均值，

$$\langle A(\vec{a}, \lambda) B(\vec{b}, \lambda) \rangle = \int d\lambda \rho(\lambda) A(\vec{a}, \lambda) B(\vec{b}, \lambda). \quad (11.3)$$

这个表达式“表示”：系统的状态是由参数  $\lambda$  决定的， $\lambda$  自己符合某个概率分布，然后，给定某一个  $\lambda$  的值以后，任何测量——例如 A 测量  $\vec{a}$  方向的自旋以及 B 测量  $\vec{b}$  方向的自旋——结果是确定的；在这个随机客体的测量的解释下，我们需要保证测量结果之间的关联与实验观察相符。



当然，在实验中，我们可以不仅仅要求测量结果的关联性与实验相符，还可以要求  $A(\vec{a}, \lambda)$  必须是  $\pm 1$  等其它的条件得到满足。在下面的讨论中，我们仅关心这个测量结果之间的统计关联性，因为这个是我们将要讨论的 Bell 不等式关注的量。

### 11.3 Bell 定理的实验检验以及 Diehard 的吹毛求疵

#### 11.4 本章小结



## 第十二章 测量的量子力学？

在我们已经学习过的目前的量子理论中，测量是通过形式化的公理——关于测量得到的结果的公理3、关于测量后状态的公理4——来表达的，而不涉及实际的测量如何实现。实际上，在量子力学的实验中，测量是通过具体的装置来实现的。也就是说，原则上，测量的过程，是通过我们所关心的量子系统和装置的相互作用来实现的。于是，自然地，我们可以问这样的问题：是否，测量过程，也应该是量子力学相互作用导致的演化过程的一部分？到底是否存在一个关于测量的动力学的描述？在这一章里面，我们来讨论一下这个问题。这个问题目前为止，还没有很好的答案。

### 12.1 经典硬币的测量：克隆

### 12.2 波函数塌缩：非对角项的消失

### 12.3 本章小结



# 第五部分

## 量子信息



## 第十三章 量子计算

量子计算的优秀的算法都是巧妙地利用了纠缠态——再一次强调其本质是量子态的叠加原理。本章仅举两个例子来介绍一下，量子计算解决的主要问题，大致上是如何运用纠缠态的。Entanglement as resources, Shor' s algorithm





## 第十四章 量子远程传态

实际上，量子远程传态也是对纠缠态的一种巧妙运用，相比较于量子计算，只不过，这里解决的问题不是某个问题的计算而已，其它方面都是类似的。

Entanglement and basis transformation



## 第十五章 量子博弈

在本书中，我们一再强调，量子系统和经典系统的区别是：经典系统的状态由一个概率分布函数描述，量子系统由一个密度矩阵描述，后者具有非对角元，也就是相干项。现在来看看这个区别导致的人类决策行为上的区别。顺便，我们也提一下所谓的量子决策理论——在那里人们形式上用波函数，也就是密度矩阵，来描述人的决策。这个形式上的描述和我们下面要讨论的量子博弈是不一样的。在我们这里，用密度矩阵来描述决策状态具有坚实的理论基础。当然，这不是说，形式上采用波函数的量子决策理论就没有意义，仅仅是说其没有坚实的理论和实践基础。

这个问题，还牵涉到，到底什么时候，我们用经典的模型或者量子的模型来解释实际系统的行为的问题。一般来说，尽管我自己相信原则上一切都是量子的，这取决于理论和行为的比较：如果经典模型已经大部分能够解释观察到的行为，那么，对于这个现象，我们就不需要量子模型来解释了。那么，下一个问题就是，如果这样的话，量子的现象和模型从哪里来呢？一方面，当然是来自于已经出现的超过经典模型的现象，例如当年的光电效益、黑体辐射、电光子干涉、Stern——Gerlach 实验等等。另一方面，理论上，我们也可以通过量子化经典模型、经典现象的方式来启发从经典对象中构造类似的相对应的量子对象，然后通过实验来研究这样的量子系统——它们是通过量子化经典系统得来的。

当然，以上都是“一般来说”。既然如此，就还有“特殊情形”。我们说过，科学就是一个（成体系的）能够用于解释和理解现实的还没有被证伪的理论模型。因此，理论模型本身是否具有坚实的可以理解的基础，是无所谓的，尽管一般情况下，我们希望它有基础、可理解。于是，一个理论，只要它能够用来计算分析，又能够得到跟实际观察相符的结果，总是有价值的。如果这个结果还没有其它的理论来解释，那就更有价值了。到底量子决策，还有量子博弈，属于那一类，一般说的还是特殊情况的，还是说其实不是

科学的，就要看后续的研究了。

## 15.1 经典客体上的操作和博弈

我们先来看经典博弈。翻硬币游戏是一个典型的经典博弈。我们就从这里开始。

翻硬币游戏是这样的。有一个硬币，初始正面向上。有两个参与者，我们称为 Alice 和 Bob。他们可以选择去“翻”（记为  $X$ ）或者“不翻”（记为  $I$ ）这个硬币。选择完成以后，先把 Alice 的操作作用到硬币上去，然后再把 Bob 的操作作用到硬币上，然后，得到硬币的末状态。最后，按照这个末状态，来给 Alice 和 Bob 收益。例如，如果硬币还是向上则 Alice 得到 1 个单位的收益，Bob 失去一个单位，否则倒过来。

当我们把这个博弈的结构搞得更加清楚的时候，我们就会发现，实际上，我们可以把硬币这个具体的东西忘了，仅仅考虑双方的策略。例如我们得到：当 Alice 选择  $I$ ，Bob 选择  $I$  的时候，Alice 得到收益 1，Bob 得到收益  $-1$ ，简记为  $E^1(I, I) = 1 = -E^2(I, I)$ 。用这个记号，我们可以得到， $E^1(I, X) = -1 = -E^2(I, X)$ ， $E^1(X, I) = -1 = -E^2(X, I)$ ， $E^1(X, X) = 1 = -E^2(X, X)$ 。写成一个“矩阵”的形式，有

$$G^{1,2} = \begin{bmatrix} 1, -1 & -1, 1 \\ -1, 1 & 1, -1 \end{bmatrix}, \quad (15.1)$$

或者用更加复杂一点的记号来表示上面的翻硬币博弈，

1	I	X
2	I	X
I	1, -1	-1, 1
X	-1, 1	1, -1

其核心还是上面的矩阵  $G^{1,2}$ 。因此，我们以后就用这个  $G^{1,2}$  这样的矩阵来表示一个经典博弈。在这个矩阵的层次，策略  $I, X$  实际上是代表了什么样的做用于经典客体的操作这件事情，我们已经完全看不见了，也不再关心了。这样的矩阵，称为收益矩阵，就是经典博弈论的基本数学形式。

然后，用列矢量来代表博弈者 Alice 和 Bob 的策略，分别用  $P^1 = [p^1, 1 - p^1]^T$ （表示以概率  $p^1$  取策略  $I$ ）和  $P^2 = [p^2, 1 - p^2]^T$ （表示以概率

$p^2$  取策略  $I$ ) 来表示, 那么在给定的任何一组策略组合的情况下, Alice 和 Bob 的收益由以下公式决定,

$$E^{1,2} = (P^1)^T G^{1,2} P^2. \quad (15.2)$$

有了这个定义的一般形式以后, 任何的经典博弈的定义, 最关键的就是找到这个矩阵  $G^{1,2}$ 。而有了这个  $G^{1,2}$  之后, 博弈论理论的任务就是对于给定的任何一种  $G^{1,2}$  找到博弈者的预期行为, 而这样的预期  $P^i$  我们留作它用。

从理论上说, 给定一个博弈, 只要能够求出来这样一个博弈者不会独自偏离的解, 就解决了博弈的所有的问题, 也就能够做理论和实际博弈者行为之间的比较了。也就能够对现实社会的情况来构造合适的博弈模型来解释现实和指导规则的制定了。当然, 实际上, 这个解的计算比较困难, 有的时候存在多个这样的解, 还有的时候所有的这样的理论解和实际博弈者的行为存在比较大的差别。因此, 实际上, 经典博弈本身也是一个有很多研究工作可以做的学科。在这里, 我们不关心这些经典博弈论的问题, 而是来看一下, 如果我们的操作不是针对硬币的而是针对量子自旋的, 会怎么样? 理论的基本形式和基本结构还会一样吗?

为了解决这个问题, 我们先把上面讨论过的经典博弈的抽象形式和操作性定义, 明确地写下来。

首先, 我们有一个经典客体的初始状态  $\rho_0^c$ 。接着, 对于这个初始状态, 我们可以进行操作  $L(U^{(1)}, U^{(2)}, \dots, U^{(N)})$ ——这个操作本身由所有的博弈者的选择确定, 操作完了得到末状态  $\rho_f^c$ 。这个从所有博弈者的选择到整体操作算符的映射可以是简单地以某种顺序把各个博弈者选择的操作相乘, 例如  $L(U^{(1)}, U^{(2)}, \dots, U^{(N)}) = U^{(1)}U^{(2)} \dots$ 。最后, 按照这个末状态, 我们来决定每一个博弈者的收益, 其中  $E^i = \text{tr}(P^i \rho_f^c)$ 。在这里, 我们用记号  $P^i$  表示博弈者  $i$  的支付方式。下面给出一般的定义和举例。

**定义 15.1** 经典博弈的纯策略操作性定义  $\Gamma^{op}(\rho_0^c, O, \{P^i\})$ : 经典客体  $C$  的初始状态为  $\rho_0^c$ , 其上相应的算符集合记为  $O$ 。博弈者  $i$  选择操作  $U^i \in O$ , 从而构成所有博弈者整体的操作  $L(U^{(1)}, U^{(2)}, \dots, U^{(N)}) = U^{(j_1)}U^{(j_2)} \dots U^{(j_N)}$ , 其中  $(j_1, \dots, j_N)$  是一个  $(1, 2, \dots, N)$  的全排列。利用这个整体操作, 得到客体  $C$  的末状态,

$$\rho_f^c = L \rho_0^c L^\dagger. \quad (15.3)$$

于是, 博弈者  $i$  的收益, 由这个末状态还有收益支付规则  $P^i$  决定,

$$E^i = \text{tr}(P^i \rho_f^c). \quad (15.4)$$

当这个经典客体是一个由每一个博弈者控制一个自己的“硬币”构成的时候, 如果我们把博弈者的策略集合看作是自己控制的个体的算符集合的时候,  $L$  是一个直积运算  $L(U^{(1)}, U^{(2)}, \dots, U^{(N)}) = U^{(1)} \otimes U^{(2)} \otimes \dots$ 。但是, 如果这个时候, 我们把博弈者的策略看作是所有的硬币构成的符合经典客体所在的操作集合里面的元素, 那么, 自然,  $U^{(1)} \rightarrow U^{(1)} \otimes I^{(2)} \otimes \dots$  (注意到直积算符之间的乘积就是把相应空间的算符乘在一起, 然后直积), 于是, 上面的直积运算, 自然回到了定义里面的乘积运算。因此, 从现在开始, 我们不再区分这个经典客体是一个单纯的经典客体, 还是一个由所有博弈者自己所控制的经典客体综合起来的复合经典客体。同时, 我们把各个博弈者选择的操作看作是这个整体的经典客体——不管是单纯的还是复合的——上的操作集合里面的元素。

**例 15.1** 翻硬币游戏的操作性定义: 硬币的初始状态  $\rho_0^c = \begin{bmatrix} 1 & 0 \\ 0 & 0 \end{bmatrix}$ , 其上的操作集合  $\{I, X\}$ 。Alice 和 Bob 选择其中的一个操作, 记为  $U^{(1)}$  和  $U^{(2)}$ 。作用到初始状态上得到末状态,  $\rho_f^c = U^{(2)} U^{(1)} \rho_0^c (U^{(1)})^\dagger (U^{(2)})^\dagger$ , 相当于  $L(U^{(1)}, U^{(2)}) = U^{(2)} U^{(1)}$ 。得到末状态之后, 按照以下收益支付方式来决定收益,  $P^1 = \begin{bmatrix} 1 & 0 \\ 0 & -1 \end{bmatrix} = -P^2$ 。

下面, 我们来看这个操作性定义是如何转化成为一般的经典博弈的抽象定义的。

**定义 15.2** 经典博弈的纯策略抽象定义: 经典博弈者  $i$  从  $M$  个元素的可选操作集合  $O$  选择一个操作  $U^{(i)}$ , 从而构成所有博弈者的整体策略状态  $U^{(1)}, U^{(2)}, \dots, U^{(N)} \in O^N$ 。每一个博弈者  $i$  的收益由映射  $G^i$  给出,

$$G^i(U^{(1)}, U^{(2)}, \dots, U^{(N)}) | O^N \rightarrow R. \quad (15.5)$$

由于两个定义要给出相同的收益, 我们有,

$$G^i(U^{(1)}, \dots, U^{(N)}) = \text{tr}(P^i L(U^{(1)}, \dots, U^{(N)}) \rho_0^c L^\dagger(U^{(1)}, \dots, U^{(N)})). \quad (15.6)$$

**例 15.2** 翻硬币游戏的纯策略抽象定义：Alice 和 Bob 的操作集合  $\{I, X\}$ 。Alice 和 Bob 选择其中的一个操作，记为  $U^{(1)}$  和  $U^{(2)}$  得到的收益由公式 (15.1) 中的收益矩阵决定，

$$G^{1,2} = \begin{bmatrix} 1, -1 & -1, 1 \\ -1, 1 & 1, -1 \end{bmatrix}. \quad (15.7)$$

例如，当两者都选择  $I$  的时候，Alice 的收益是 1，Bob 是 -1。

接着，我们给出从纯策略抽象定义到混合策略的抽象定义。所谓混合策略就是一个经典策略集合里面的策略按照某种概率叠加起来。

**定义 15.3** 经典博弈的混合策略抽象定义：经典博弈者  $i$  从  $M$  个元素的可选操作集合  $O$  中以一定的概率  $p_j^{(i)}$  选择一个操作  $U_j$ 。每一个博弈者  $i$  的收益由映射  $G^i$  按照概率平均给出，

$$E^i = \sum_{j_1=1 \dots M; \dots} p_{j_1}^{(1)} \cdot p_{j_2}^{(2)} \cdots p_{j_N}^{(N)} G^i(U_{j_1}, \dots, U_{j_N}). \quad (15.8)$$

其中取和操作要让所有的  $j_k$  都跑遍  $1, 2, \dots, M$ 。

**例 15.3** 翻硬币游戏的混合策略抽象定义：Alice 和 Bob 的操作集合  $\{I, X\}$ 。假设 Alice (Bob) 的混合策略是以  $p^1$  ( $p^2$ ) 的几率选择  $I$ ，那么，其收益由按照概率叠加计算得到

$$\begin{aligned} E^1 &= p^1 p^2 G^1(I, I) + (1 - p^1) p^2 G^1(X, I) \\ &\quad + p^1 (1 - p^2) G^1(I, X) + (1 - p^1) (1 - p^2) G^1(X, X) \\ &= p^1 p^2 - (1 - p^1) p^2 - p^1 (1 - p^2) + (1 - p^1) (1 - p^2) = -E^2. \end{aligned} \quad (15.9)$$

现在我们概率论的运用 Dirac 抽象矢量记号语言来把混合策略的经典博弈改写为密度矩阵形式。原则上，这里，就像把概率论改成密度矩阵形式，没有任何新的东西。这样做，仅仅是为了将来介绍量子客体上的博弈的方便——就好像从经典概率论的密度矩阵过渡到量子态的密度矩阵一样。

**定义 15.4** 密度矩阵形式的经典博弈的抽象定义  $\Gamma^{ab}(\{\rho^i\}, \{G^i\})$ ：经典博弈者  $i$  从  $M$  个元素的可选操作集合  $O$  中选择策略的密度矩阵是对角的矩阵  $\rho^i$ ，其中对角元素  $\rho_{jj}^i = p_j^i$  代表博弈者  $i$  选择策略  $j \in O$  的概率。所有博弈者的策略密度矩阵可以用  $\rho$  表示，

$$\rho = \prod_{i=1}^N \rho^i. \quad (15.10)$$

博弈者  $i$  的收益由以下公式给出,

$$E^i = \text{tr}(\rho H^i). \quad (15.11)$$

其中对角矩阵  $H^i$  叫做支付矩阵, 其非零元素

$$H^i(U_{j_1}^{(1)}, U_{j_2}^{(2)}, \dots, U_{j_N}^{(N)}; U_{j_1}^{(1)}, U_{j_2}^{(2)}, \dots, U_{j_N}^{(N)}) = G^i(U_{j_1}^{(1)}, U_{j_2}^{(2)}, \dots, U_{j_N}^{(N)}). \quad (15.12)$$

其中  $j_k = 1, 2, \dots, M$ 。

可以称明, 公式 (15.11) 给出的结果和公式 (15.8) 的结果完全一样。例如, 见下面的例子。

**例 15.4** 翻硬币游戏的密度矩阵形式的抽象定义: Alice 和 Bob 的操作集合  $\{I, X\}$ 。假设 Alice (Bob) 的混合策略是以  $p^1$  ( $p^2$ ) 的几率选择  $I$ , 那么, Alice 和 Bob 的策略状态的密度矩阵是,

$$\rho^{1,2} = \begin{bmatrix} p^1, p^2 & 0, 0 \\ 0, 0 & 1 - p^1, 1 - p^2 \end{bmatrix}. \quad (15.13)$$

于是整体系统的策略状态是

$$\rho = \rho^1 \otimes \rho^2 = \begin{bmatrix} p^1 p^2 & 0 & 0 & 0 \\ 0 & p^1(1 - p^2) & 0 & 0 \\ 0 & 0 & (1 - p^1)p^2 & 0 \\ 0 & 0 & 0 & (1 - p^1)(1 - p^2) \end{bmatrix}. \quad (15.14)$$

整体系统的抽象支付矩阵可以写成,

$$H^{1,2} = \begin{bmatrix} 1, -1 & 0 & 0 & 0 \\ 0 & -1, 1 & 0 & 0 \\ 0 & 0 & -1, 1 & 0 \\ 0 & 0 & 0 & 1, -1 \end{bmatrix}. \quad (15.15)$$

其收益由按照  $E^i = \text{tr}(H^{1,2}\rho)$  计算得到

$$E^1 = p^1 p^2 - (1 - p^1)p^2 - p^1(1 - p^2) + (1 - p^1)(1 - p^2) = -E^2. \quad (15.16)$$

运用密度矩阵形式的语言 Nash 均衡可以重新写成下面的形式: 给定收益矩阵  $\{H^{(1)}, \dots, H^{(N)}\}$ , Nash 均衡就是这样的一组密度矩阵  $\rho^{i,*}$ , 满足

$$\text{tr}(\rho^{1,*} \otimes \dots \otimes \rho^i \otimes \dots \otimes \rho^{N,*} H^i) \leq \text{tr}(\rho^{1,*} \otimes \dots \otimes \rho^{i,*} \otimes \dots \otimes \rho^{N,*} H^i), \forall \rho^i. \quad (15.17)$$



注意到更一般地关联密度矩阵，而不一定是直积密度矩阵——代表独立概率分布，我们还可以定义，这样的“均衡”态  $\rho^*$ ，

$$\text{tr}(\rho^i \otimes \text{tr}^i(\rho^*) H^i) \leq \text{tr}(\rho^* H^i), \forall \rho^i. \quad (15.18)$$

$\rho^*$  包含独立均衡态也包含关联均衡态。在这里我们不展开讨论。这里的部分求迹运算  $\text{tr}^i(\rho^*)$  是从整体分布函数中去掉关于博弈者  $i$  的策略的信息，然后在  $\rho^i \otimes \text{tr}^i(\rho^*)$  中，我们利用直积算符又把这部分信息加回来，只不过这个时候加进来的分布是任意的，而且是独立于其他博弈者的。这个就是独自的偏离的含义。

小结一下，在经典博弈上，通过引入经典客体和博弈的操作性定义，我们把支付函数变成了对角的收益算符，把概率“矢量”变成了对角的密度矩阵，同时收益的计算方式也从公式 (15.2) 变成了公式 (15.11)。这些，运用我们之前介绍过的，概率论的密度矩阵的语言，都是非常自然的事情。

现在，我们有了经典博弈上，从操作性定义到密度矩阵形式的抽象定义的道路，我们现在来看量子博弈的操作性定义和密度矩阵形式的抽象定义。

## 15.2 量子客体上的操作和博弈

让我们从具体例子开始——一个自旋上的博弈问题。

**例 15.5** 自旋翻转游戏的操作性定义：有一个自旋，其初始状态是  $\rho_0^q$ 。Alice 和 Bob 都可以通过量子仪器来操作这个自旋。为了简单起见，我们规定他们所有的可能的操作的集合是所有的  $2 \times 2$  的么正演化算符，也就是所有的自旋算符，它们构成  $SU(2)$  群。当 Alice 和 Bob 选择完了他们的操作  $U^{(1)}$  和  $U^{(2)}$  以后，我们先构成一个整体算符  $L = U^{(2)}U^{(1)}$ ，然后这个算符作用到自旋的初态上去得到末态， $\rho_f^q = L\rho_0^q L^\dagger$ 。最后，根据这个末态，我们计算 Alice 和 Bob 的收益， $E^{1,2} = \text{tr}(P^{1,2}\rho_f^q)$ 。

对照例15.1，我们发现，除了用  $SU(2)$  代替了集合  $\{I, X\}$ ，也就是群  $Z_2$  之外，这个经典和量子的操作性定义，完全一样。于是，一个自然的猜测就是在将来的抽象定义中，两者也没有任何不同，仅仅是集合扩大了，而且是从离散群变成了连续群。如果确实这个策略集合扩大，从离散策略变成连续策略，那么，这个世界上就不存在理论上的“量子博弈”，因为，经典博弈也可以定义在连续策略上，例如考虑买卖产品的价格的博弈。我们以后还会回到这个问题。我们会发现，问题不是这么简单。我们很快会看见其原因：

$SU(2)$  是一个李群，其存在元素之间的加法，而不仅仅是群乘；在离散群  $Z_2$  中，我们仅仅有群乘操作，没有元素之间的加法。从量子力学的学习，我们以讲看见，有加法的集合（量子态的集合）和没有加法的集合（经典态的集合）有什么不一样。我们即将看见同样的不同在博弈问题上的表现。

按照上面这个例子，我们写下来一般的量子客体上的博弈的操作性定义。

**定义 15.5** 量子博弈的操作性定义  $\Gamma^{op}(\rho_0^q, \mathcal{U}, \{P^i\})$ : 有一个量子客体，其初始状态是  $\rho_0^q$ ，其上的么正算符空间记为  $\mathcal{U}$ 。博弈者  $i$  可以选择任意的  $U^{(i)} \in \mathcal{U}$ ，从而构成一个整体算符  $L = U^{(j_1)} \cdots U^{(j_N)}$ 。其中  $(j_1, \dots, j_N)$  是  $(1, \dots, N)$  的一个全排列。然后这个算符  $L$  作用到自旋的初态上去得到末态， $\rho_f^q = L\rho_0^q L^\dagger$ 。最后，根据这个末态，我们决定博弈者  $i$  的收益， $E^i = \text{tr}(P^i \rho_f^q)$ 。

现在，我们来考虑抽象定义。

**定义 15.6** 密度矩阵形式的量子博弈的抽象定义  $\Gamma^{ab}(\{\rho^i\}, \{H^i\})$ : 博弈者  $i$  可以选择  $\mathcal{U}$  上的一个密度矩阵  $\rho^i$  来表示其策略，从而构成一个所有博弈者状态的密度矩阵  $\rho = \prod_{i=1}^N \rho^i$ 。然后，根据这个密度矩阵，博弈者  $i$  的收益由下面的公式确定，

$$E^i = \text{tr}(\rho H^i). \quad (15.19)$$

为了保证这个抽象定义得到的收益和上面的操作性定义一致，我们要求  $H^i$  的元素满足，对于某一组给定的  $\mathcal{U}$  的基矢  $\{|U_j\rangle\}$

$$\langle U_{j_1}^{(1)}, \dots, U_{j_N}^{(N)} | H^i | V_{j_1}^{(1)}, \dots, V_{j_N}^{(N)} \rangle = \text{tr}(P^i L_U \rho_0^q L_V^\dagger). \quad (15.20)$$

其中  $L_U$  是  $L(U_{j_1}^{(1)} \cdots U_{j_N}^{(N)})$  的简化记号。

这里，算符空间  $\mathcal{U}$  的基矢  $\{|U_j\rangle\}$  是指把  $\mathcal{U}$  看作一个矢量空间（加法数乘很容易验证满足矢量空间的定义），并定义算符矢量——有的时候也被称作超矢量——的内积为  $\langle A | B \rangle = \text{tr}(A^\dagger B)$ 。我们很快会看到，这个时候，一般情况下，无论是  $\rho$  还是  $H^i$  都会存在非零的非对角元，而且，当两者都在一组自然基矢下变成对角的时候，量子博弈自然过渡到经典博弈。

下面，我们来证明两者给出的收益，无论在纯策略还是混合策略的情形都是一致的。

首先，我们看到  $H^i$  在定义所用的基矢下面的对角元是对的——与操作性定义给出的收益一致，也就是对于给定的一组  $U_{j_1}^{(1)}, \dots, U_{j_N}^{(N)}$ ，这个时候

$$\rho = \left| U_{j_1}^{(1)}, \dots, U_{j_N}^{(N)} \right\rangle \left\langle U_{j_1}^{(1)}, \dots, U_{j_N}^{(N)} \right|, \quad (15.21)$$

于是，

$$E^i = \text{tr}(\rho H^i) = \left\langle U_{j_1}^{(1)}, \dots, U_{j_N}^{(N)} \right| H \left| U_{j_1}^{(1)}, \dots, U_{j_N}^{(N)} \right\rangle = \text{tr}(P^i L_U \rho_0^q L_U^\dagger) \quad (15.22)$$

接着，我们来证明对于所有的纯策略  $H^i$  给出的收益与操作性定义一致。为简单起见，我们假设仅仅第一个博弈者的策略是给定纯策略基矢的叠加，其它博弈者还是采用给定的纯策略基矢，也就是，

$$|S\rangle = \left( \sum_{j_1} s_{j_1}^1 \left| U_{j_1}^{(1)} \right\rangle \right) \otimes \dots \otimes \left| U_{j_N}^{(N)} \right\rangle. \quad (15.23)$$

更一般的纯策略情况仅仅是这个特殊情况的简单扩展。于是，相应的密度矩阵是，

$$\rho = |S\rangle \langle S| = \left( \sum_{j_1, k_1} s_{j_1}^1 s_{k_1}^{1*} \left| U_{j_1}^{(1)} \right\rangle \left\langle U_{k_1}^{(1)} \right| \right) \otimes \dots \otimes \left| U_{j_N}^{(N)} \right\rangle \left\langle U_{j_N}^{(N)} \right|. \quad (15.24)$$

代入到  $E^i = \text{tr}(\rho H^i)$  我们有，

$$\begin{aligned} E^i &= \langle S| H |S\rangle = \sum_{j_1, k_1} s_{j_1}^1 s_{k_1}^{1*} \left\langle U_{j_1}^{(1)} \dots U_{j_N}^{(N)} \right| H^i \left| U_{k_1}^{(1)} \dots U_{j_N}^{(N)} \right\rangle \\ &= \sum_{j_1, k_1} s_{j_1}^1 s_{k_1}^{1*} \text{tr}(P^i L(U_{j_1}^{(1)} \dots U_{j_N}^{(N)}) \rho_0^q L(U_{k_1}^{(1)} \dots U_{j_N}^{(N)})) \\ &= \text{tr}(P^i L(S) \rho_0^q L(S)). \end{aligned} \quad (15.25)$$

其中，最后一步，我们用到了  $L$  是一个线性映射这个性质，得到了操作性定义收益计算形式。

最后一步，我们来证明，对于混合策略， $E^i = \text{tr}(\rho H^i)$  给出的结果与操作性定义还是一致的。为简单起见，我们假设这个混合策略仅仅是第一个博弈者在采用，而且所用的混合策略就是已经选定的纯策略基矢下的混合策略，也就是

$$\rho = \sum_{j_1} p_{j_1}^1 \left| U_{j_1}^{(1)} \right\rangle \otimes \dots \otimes \left| U_{j_N}^{(N)} \right\rangle \left\langle U_{j_1}^{(1)} \right| \otimes \dots \otimes \left\langle U_{j_N}^{(N)} \right|. \quad (15.26)$$

按照操作性定义，对于混合策略，我们有

$$E^i = \sum_{j_1} p_{j_1}^1 (P^i L(U_{j_1}^{(1)} \cdots U_{j_N}^{(N)}) \rho_0^q L^\dagger(U_{j_1}^{(1)} \cdots U_{j_N}^{(N)})). \quad (15.27)$$

这个正好是  $E^i = \text{tr}(\rho H^i)$  给出的结果。

到此，我们证明了量子博弈的操作性定义和密度矩阵形式的抽象定义给出的收益是完全一致的。下一步的问题是讨论对于这样的博弈，均衡解是否存在，以及如何计算，是否能够用于解释实验的问题。在此，我们就不再讨论了。

我们看到，从抽象定义的数学框架上，经典博弈是对角的密度矩阵和对角的收益矩阵，而量子博弈是有非对角元的密度矩阵和有非对角元的收益矩阵。这个差别，正好就是经典概率论到量子力学的区别。因此，量子博弈和经典博弈的关系，正好就是，量子力学之于经典力学的关系。我们还应该看到，经典博弈里面所谓的操作，基本上可以用抽象的策略来代替，如何实现这些操作基本上不是问题。然而，在量子博弈中，这些操作是通过对量子客体的实验操作来实现的。例如，在自旋上，我们是通过控制自旋通过的磁场的方向和通过的时间来实现的。这样的操作，属于么正演化。我们还可以考虑更一般的操作，例如对给定的自旋做一个测量，甚至广义测量，这个时候，我们的算符的集合可以是非么正的，因此超过了  $\mathcal{U}$ 。这个的更大的算符集合对理论上提出的挑战是什么是一个有意思的问题，例如是否这样的策略还是能够由策略的密度矩阵  $\rho$  所描述。在此，我们就不再讨论了。

### 15.3 经典和量子博弈的异同

一点点历史。

曾经有过的批评。

所谓的实验。

以后的发展方向。